

地滑り調査について

地滑り調査に用いた資料及び独立行政法人防災科学技術研究所（以下、「防災科研」）調査に用いた資料を表-1 に示す。地滑り調査では、詳細な旧地形図を含む多様な参照資料に加え、防災科研調査に用いた資料を参考に地形判読を行い、また現地調査等を合わせて実施している。

表-1 地滑り調査と防災科研調査の内容の比較

		地滑り調査（平成25～26年）	防災科研調査（平成17年）
実施項目		<ul style="list-style-type: none"> ・地滑り地形判読（机上） ・現地調査（ルートマップ作成，平成8年） 	<ul style="list-style-type: none"> ・地滑り地形判読（机上）
実施内容	参照資料	<ul style="list-style-type: none"> ・モノクロ空中写真（<u>1万分の1</u>，1962年撮影，4万分の1，1973年撮影） ・カラー空中写真（1万分の1，1976年撮影） ・<u>等高線図（2千5百分の1）</u>※ ・地形図（5万分の1） ・アナグリフ※ ・3次元地形モデル※ <p>※ 1mDEM（地形は1962年の空中写真に基づく）または2mDEM（地形の一部は1962年の空中写真に基づく）を用いて作成</p>	<ul style="list-style-type: none"> ・モノクロ空中写真（4万分の1，1973年撮影） ・地形図（5万分の1）
	判読方法	<ul style="list-style-type: none"> ・実体鏡による空中写真の判読 ・<u>その他資料を補足的に使用</u> 	<ul style="list-style-type: none"> ・実体鏡による空中写真の判読
	抽出対象	<ul style="list-style-type: none"> ・<u>全ての地滑り地形を抽出</u> 	<ul style="list-style-type: none"> ・幅150m以上の比較的大規模な地滑り地形のみを抽出

下線は相違箇所

以下に、地滑り調査と防災科研調査で用いた資料を示す。

(1) 空中写真

地滑り調査では、1962年に国土地理院により撮影された撮影縮尺1万分の1のモノクロ空中写真、1973年に国土地理院により撮影された撮影縮尺4万分の1のモノクロ空中写真及び1976年に国土地理院により撮影された撮影縮尺1万分の1のカラー空中写真を用いた。防災科研調査では、1973年に国土地理院により撮影された撮影縮尺4万分の1のモノクロ空中写真を用いている。それぞれが使用した空中写真の一部を図-1、図-2及び図-3に示す。

(2) 等高線図

地滑り調査では、2006年～2007年に実施された航空レーダー測量結果及び1962年に国土地理院により撮影された撮影縮尺1万分の1の空中写真を用いて作成した2mDEMに基づき作成した2千5百分の1の等高線図及び5万分の1地形図を使用した。また、地滑り地形①については、1962年に国土地理院により撮影された撮影縮尺1万分の1の空中写真を用いて作成した1mDEMに基づき作成した1mコンターの等高線図も使用した。防災科研調査では、5万分の1地形図に判読結果を示している。それぞれが使用した等高線図等の一部を図-4及び図-5に示す。

(3) 3次元地形モデル

地滑り調査では、主に2mDEMによる3次元地形モデルから、立体視を可能とする鳥瞰図及びアナグリフ画像を作成し、適宜、地形判読の参考として用いた。作成したアナグリフ画像を図-6に示す。

(4) 現地調査

地滑り地形判読によって地滑りを示唆する地形的特徴が確認された地滑り地形を対象として、地形、地質及び湧水等の水文的な観点に基づく現地調査を実施し、地滑りの特徴が認められる場合は、地滑りが発生する場合を想定し、地滑りの範囲、規模等を評価した。

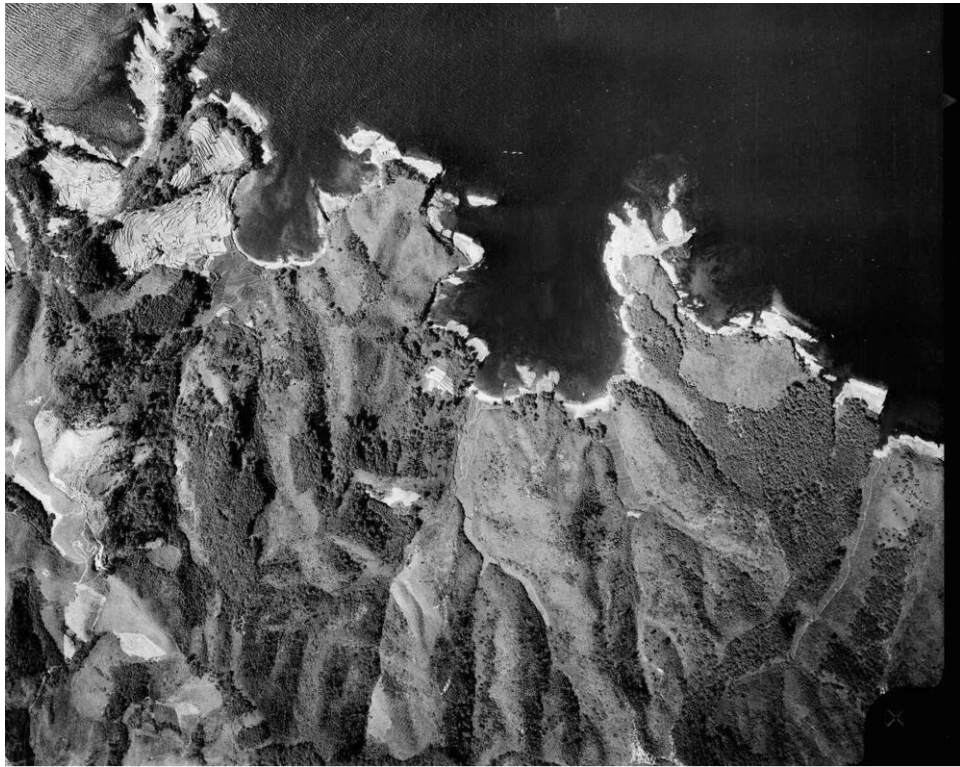


図-1 モノクロ空中写真（撮影縮尺：1万分の1，1962年撮影）
整理番号：MCG622，コース番号：C6，写真番号：4，国土地理院HPより引用

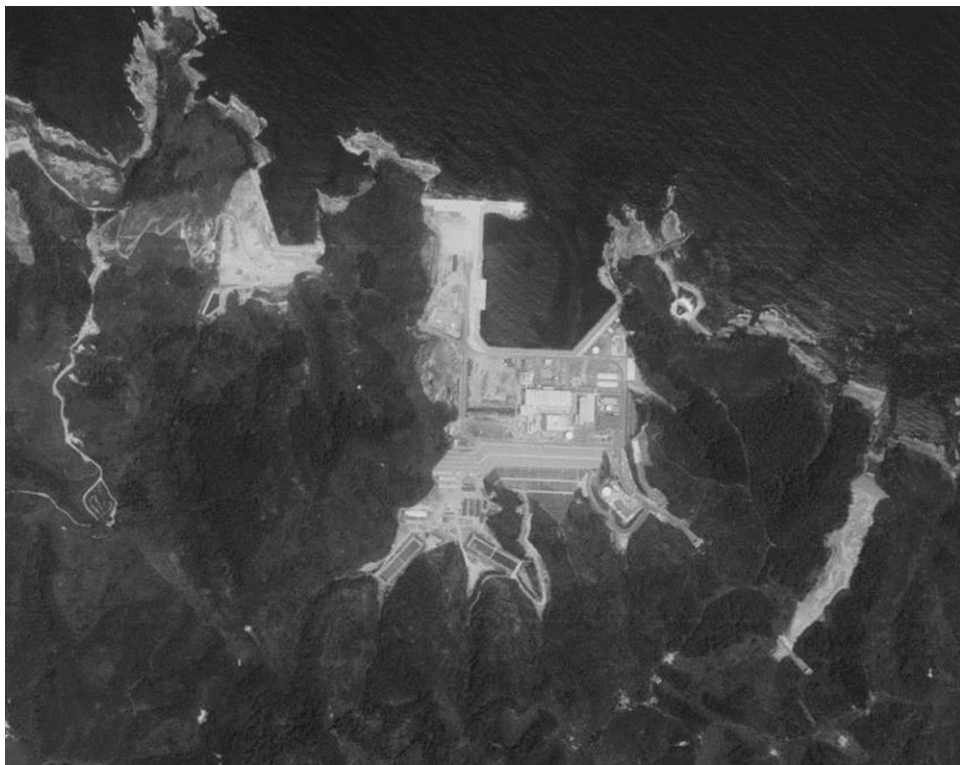


図-2 モノクロ空中写真（撮影縮尺：4万分の1，1973年撮影）
整理番号：CG735Y，コース番号：C2，写真番号：3，国土地理院HPより引用
図-1との比較のため，写真を拡大表示している



図-3 カラー空中写真（撮影縮尺：1万分の1，1976年撮影）
整理番号：CCG761，コース番号：C6，写真番号：5，国土地理院HPより引用

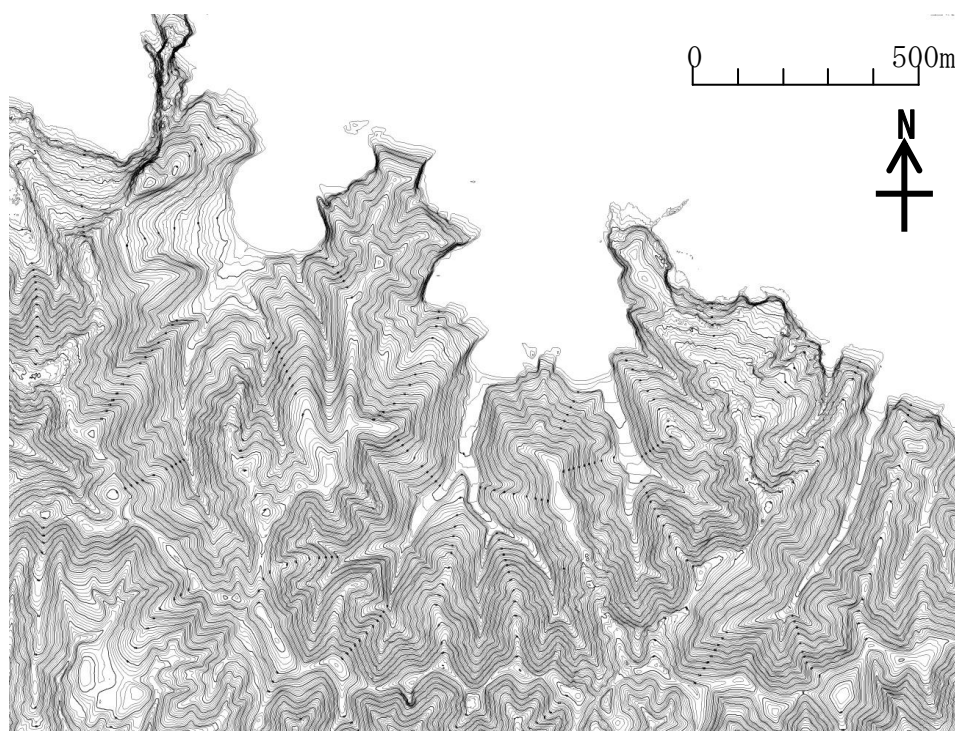


図-4 等高線図：2千5百分の1

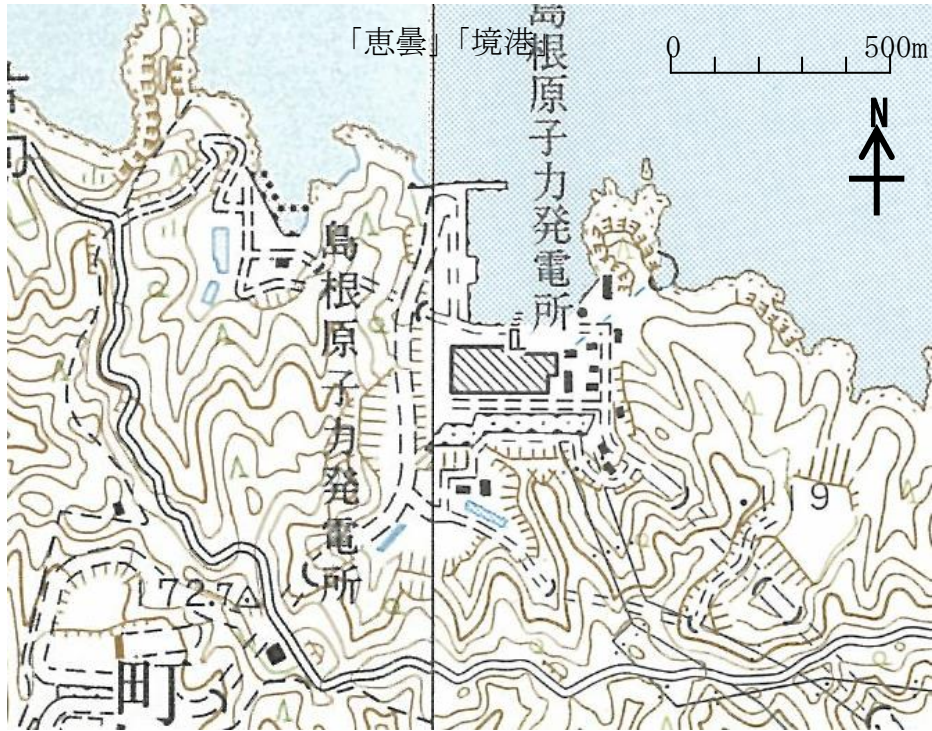


図-5 地形図：5万分の1地形図
5万分の1地形図「恵曇」（平成3年発行）、「境港」（平成5年発行）を引用

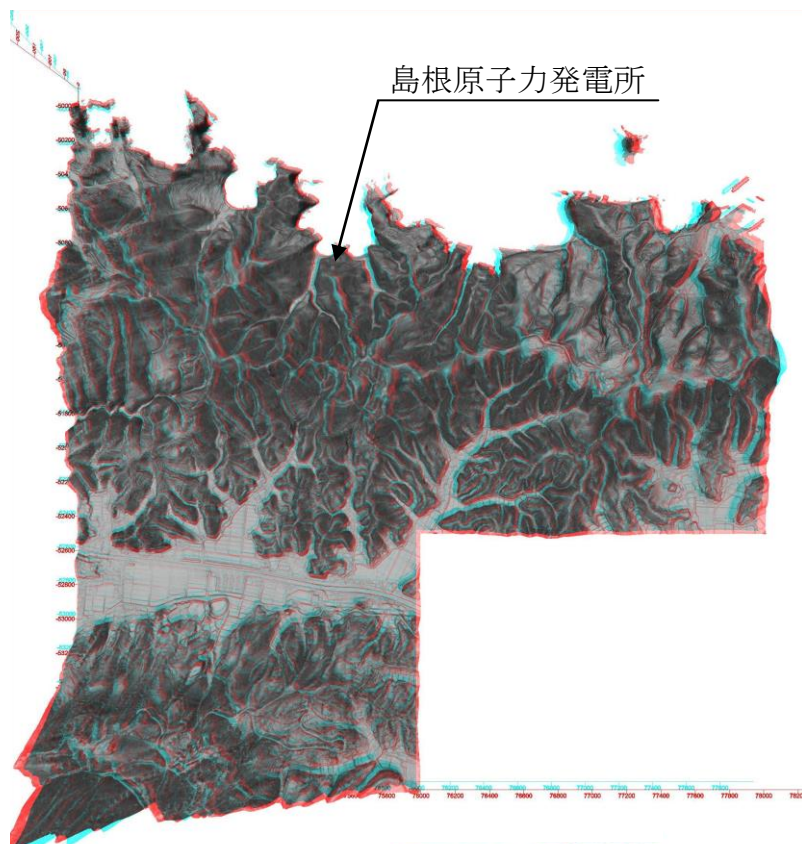


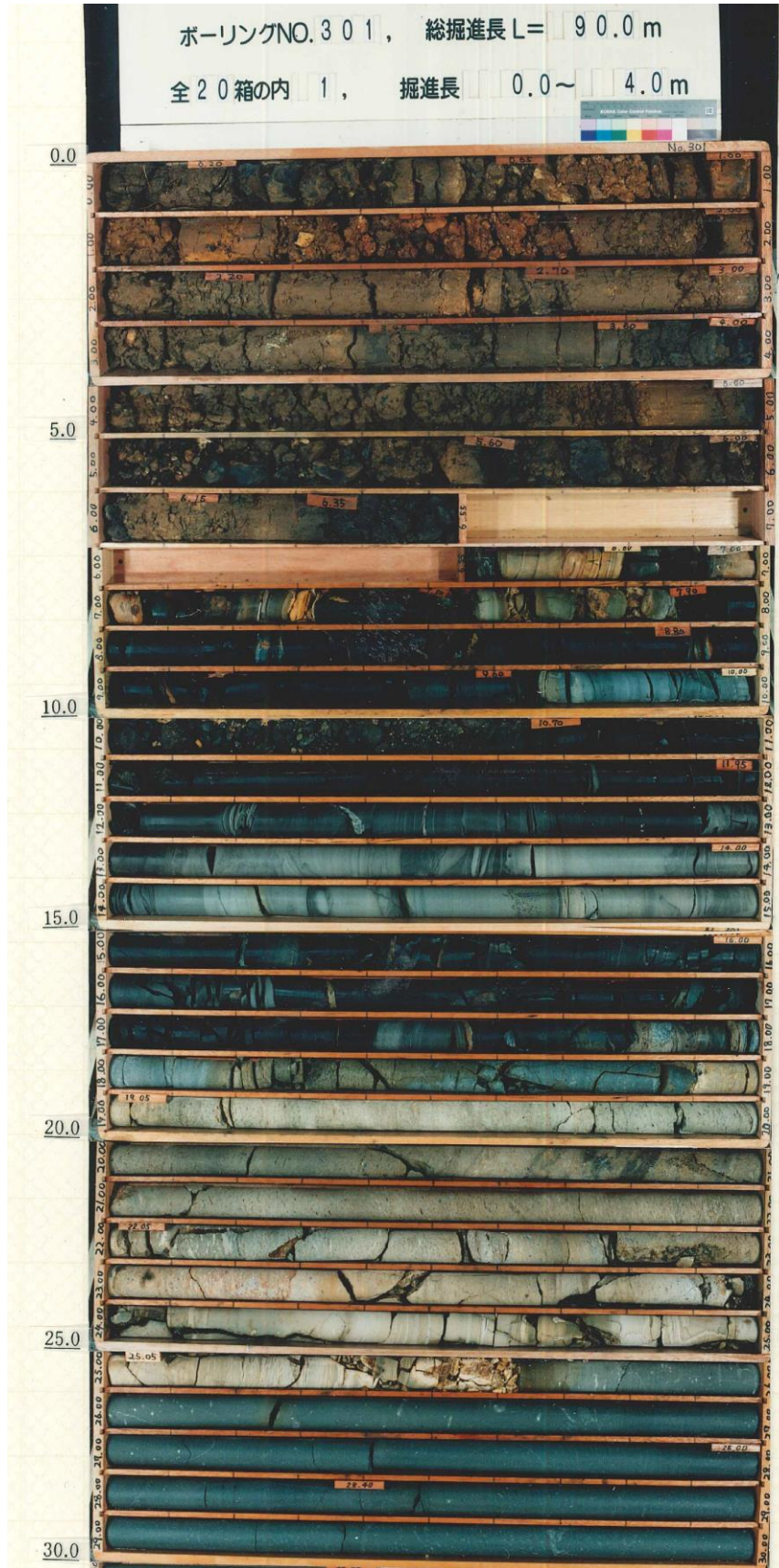
図-6 島根原子力発電所周辺のアナグリフ

ボーリング柱状図・コア写真

No. 301 孔 (深度 30m まで)

孔口標高		T.P. +39.34 m		掘進長		90.00 m		調査期間		1997年 8月 8日 ~ 1997年 8月 29日		試験機械		OP-1		
角度		—		方向		—		孔内水位		T.P. +2.27 m		孔内試験項目		孔内水平載荷試験		
標尺 (m)	深度 (m)	標高 (T.P. (m))	層厚 (m)	柱状図	地質種別	色調	岩級区分	コア形状 土組岩柱状 砂片柱状 状状状状状	割れ目 風化程度	コア採取率 (%)	最大コア長 (cm)	RQD (%)	孔径 ビット コアチップ	孔内試験 項目 深度 (m)	記 事	
0																盛土である。0.00~0.20m間、木根多く混入する。径5~30mm、最大径70mmの黒色頁岩の角~面角を30~40%含む。含水量は中位、粘性は中~小位である。
1										85	—	—				
2										90	—	—				
3										95	—	—				
4										95	—	—				
5										75	—	—				
6										75	—	—				
7	6.55	33.79	6.55		隙間り砂 凝灰褐色		CL	6.55	6.55	95	11	24				泥分を含む褐色部と細粒凝灰分を少量含む凝灰部が互層状をなす凝灰質頁岩。淡褐色部では繊維(10~20)が認められる。また平行葉理とは別に同じ同状の繊維組織が発達している。
8	7.56	32.29	0.80		凝灰質頁岩		D	7.45	7.45	80	7	0				凝灰分を含む黒色頁岩からなり、凝灰岩を挟む。7.21~7.33m間凝灰岩で下部40mは風化により分化。凝灰岩分を含む凝灰質頁岩。下部30mは風化により硬質化。全体に凝灰分を含む黒色頁岩。厚さ3~30mmの凝灰岩を挟む。下位との境界は明確で直線的(10°)。8.47~8.72m間短片状~土砂状コア。割れ目性に黒褐色コアを厚さ3~30mmで挟む。8.89~8.94m、9.63~9.68m間短片状コア。割れ目性に酸化汚染及び風化により脆弱化。
9	7.87	31.47	0.31		凝灰質頁岩 黒凝灰褐色		D	7.85	7.85	95	9	0				葉理(10~15°)が発達する凝灰質頁岩。下位との境界は明確(15°)。
10	5.45	29.89	1.78		黒色頁岩 滑青黒灰		CL	2	2	95	11	32				所々に凝灰岩の層理(傾斜10°)を有するが、全体的に均質である。0.05~10.65m間、凝灰質頁岩、凝灰岩を葉理状に挟むと考えられるが、コアが短片状をなし詳細は不明である。10.88m、11.75m、11.83m、11.94m凝灰岩を5~10°の傾斜で層状(1~10mm)に挟む。11.75mの凝灰岩は中砂状の粒度を示す。11.75m付近にU字形を示す生痕(葉理)が認められる。下位との境界は明確で直線的。平均約10°のやや不明瞭な面をなしている。10.69~10.88m、11.00~11.14m、11.40~11.58m、11.72~11.75m間、短片状コア。11.95~12.06m間、短片状を10~15°の凝灰岩の層理(1~30mm)を平行葉理状に挟んでいる。下位との境界は明確で、約5°の傾斜を示している。
11	10.00	29.34	0.35		凝灰質頁岩 滑青黒灰		D	10.00	10.00	70	10	10				全体に平行ないし屈折した凝灰岩が葉理をなしている(傾斜約10°)。12.59~13.16m、13.45~13.70m、14.00~14.03m間及び14.31~14.34m間は泥質である。13.10~13.33m、13.45~13.61m、13.85~14.07m、14.31~14.34m間及び14.80~15.00m間に互層構造が認められる。葉理は、平行葉理が認められる。下位との境界は不明である。13.38~14.05m間、短片状コア。12.91~15.00m間、凝灰岩は葉理に沿って剥離性がある。
12	14.08	27.28	3.08		黒色頁岩 黒灰		CL	12.08	12.08	100	15	25				所々に凝灰質頁岩、凝灰岩を平行葉理状に挟んでいる。下位との境界はやや不明瞭であるが、15°程度の傾斜をなしている。
13	11.91	28.43	0.85		凝灰質頁岩 暗灰		CM	13.16	13.16	100	13	33				5~25mm間隔の泥質部を葉理状(10~15°、1~10mm)に挟んでいる。下位との境界は、約10°で明確かつ平坦である。
14	15.00	24.24	2.09		凝灰岩 灰灰灰白		CH	15.19	15.19	100	24	81				一部凝灰質頁岩を前部状に挟む黒色頁岩。17.18m深から0.3~0.5mmの白色コアを含む。下位との境界は明確(15°)。16.35~16.55m間柱状コアであるが以外は割れ目発達し短片状コア主体。黒色頁岩を挟む凝灰質頁岩。下部泥質に似る。下位との境界は明確。
15	15.76	23.58	0.74		黒色頁岩 黒灰		CL	16.17	16.17	2	100	19	23			全体に10~15°の傾斜を有する偏平ないしU字状の組織が発達し、所々に1~4mm、最大20mmの流紋岩質線が存在する。最上部は乱地塊構造が発達する。18.50~18.90m間塊状を呈し組織未発達。20.65~20.83m間灰褐色の塊状組織が不明瞭に認められる(傾斜約10°)。23.90m以深は強い変質(珪化作用)を受けて白色化。下位との境界は明確、平坦(5°)。18.90~19.44m、18.95~18.66m、18.76~18.91m、19.70~19.78m、23.90~24.10m間短片状コア。19.05~19.18m、20.96~21.60m間短片状コア。19.75~19.99m間短片状コア。18.19~18.30m、22.77~22.78m、23.43~23.48m、25.52~25.63m間短片状コア。
16	16.26	23.08	0.50		凝灰質頁岩 黄緑灰		CL	16.27	16.27	100	20	20				有色鉱物は、細粒~中粒~粗粒と変化し区分され、上層下層各々20mm程度は急冷面縁相をなし、極細粒となっている。25.63~27.20m間は有色鉱物が1mm以下の細粒で、基質中に白形ないし長楕円形の白色コア(径2~5mm、最大径25mm)が認められる。27.20~31.30m間は有色鉱物が1~2mmを呈し、基質中に方解石粒(径1~2mm最大径3mm)が点在する。31.30~34.16m間は有色鉱物が1mm以下の細粒となり、基質中に方解石粒(径1~2mm最大径4mm)が点在する。最下部0mmは火山噴出凝灰岩を挟み、これと接する部分は厚さ20mmにわたる急冷面縁相を示し、極細粒となっている。下位との境界は、明確平坦で5°程度の傾斜を示している。25.63~25.71m、27.15~27.32m、28.16m、28.34m、29.24~29.37m間、柱状コア。27.32~27.41m、28.34~28.49m間、短片状コア。31.09~31.16m間、短片状コア。34.10~34.14m、34.14~34.17m間、短片状コア。
17	17.42	21.92	1.16		黒色頁岩 黒灰		CM	17.22	17.22	100	17	31				
18	17.80	21.54	0.38		凝灰質頁岩 暗灰		CH	17.42	17.42	100	21	42				
19					凝灰岩		CH	18.19	18.19	100	13	23				
20							CH	19.10	19.10	100	13	23				
21							CH	20.1	20.1	100	48	89				
22							CH	21.03	21.03	100	48	89				
23							CH	22.07	22.07	100	59	97				
24							CH	23.07	23.07	100	21	42				
25							CH	24.07	24.07	100	21	42				
26							CH	25.07	25.07	100	21	42				
27							CH	26.07	26.07	100	21	42				
28							CH	27.07	27.07	100	21	42				
29							CH	28.07	28.07	100	21	42				
30	35.63	13.71	7.83		凝灰岩 滑青灰白		CH	35.63	35.63	100	21	47				
					安山岩 凝灰岩		CH	36.27	36.27	100	73	100				
							CH			100	58	90				
							CH			100	51	84				
							CH			100	63	100				

No. 301 孔 (深度 30m まで)



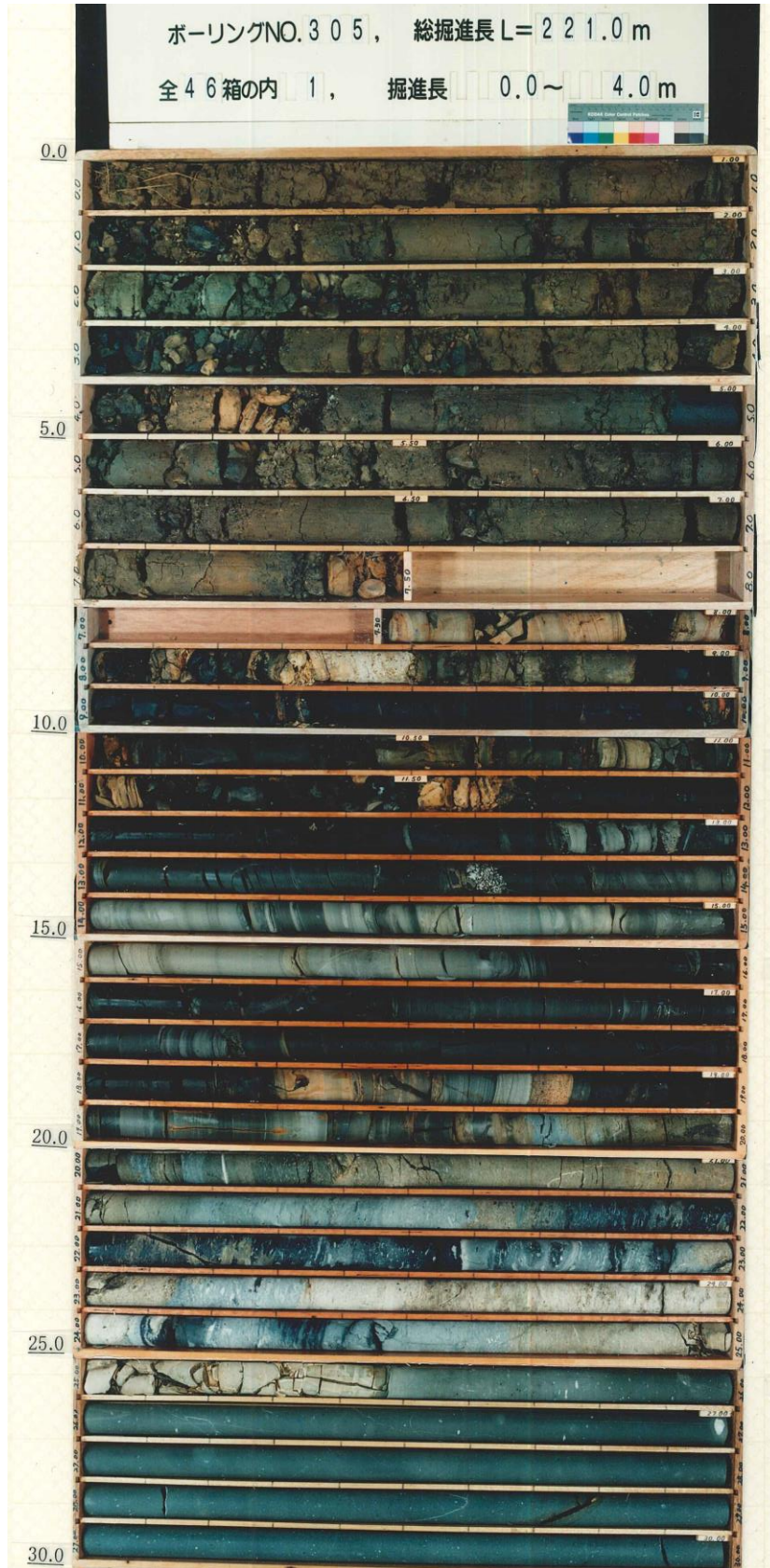
No. 305 孔 (深度 30m まで)

孔口標高		T.P. +20.36 m		掘進長		221.00 m		調査期間		1997年 7月 28日 ~ 1997年 9月 15日		試験機械		OE-8		
角度		—		方向		—		孔内水位		T.P. +3.67 m		孔内試験項目		孔内水平載荷試験・PS検層(ゲイガー)・孔曲試験		
標尺	深度	標高	層厚	柱状図	地質種別	色調	岩級区分	コア形状	割れ目状態	風化程度	コア採取率(%)	最大コア長(cm)	RQD (%)	孔径	孔内試験項目	記 事
(m)	(m)	T.P. (m)	(m)					土短岩短柱状 砂片片柱状 状状状状状				(cm)	(%)	ビット コアチューブ	項目 深度(m)	
0																
1											100	—	—			φ数~100mm程度の礫を混じる粘性土分の多い土砂。表面0.20mは表土。0.20~7.40m間埋土。0.93~1.27m, 2.70~2.50m, 3.00~3.30m, 3.90~4.35m, 4.89~5.00m間はφ10~100mm程度の亜角礫を多く含む。
2											90	—	—			
3											90	—	—			
4											85	—	—			
5											85	—	—			
6											100	—	—			
7											100	—	—			
8	7.40	12.96	7.40		凝灰り砂			7.40	7.40		8.00	3	100	10	10	細粒分を含む凝灰質頁岩。下位との境界は明瞭(10°)。
9	7.82	12.54	0.42		凝灰質頁岩		C L	8.00	8.00	β	8.84	3	100	10	10	上位と同様の凝灰質頁岩を採り、8.09~8.16m, 8.25mは軟質化。
10	8.28	12.08	0.46		黒色頁岩		D	8.84	8.84	γ	8.84	4	95	6	0	泥分をやや含む。8.67~8.69m間淡褐色平板状粘土(厚さ25mm, 10°)。8.80~8.84m間淡褐色平板状粘土(厚さ40mm, 10°)。
11	8.84	11.52	0.68		凝灰質頁岩	褐		8.84	8.84	α	10.46	2	90	8	0	凝灰質の灰色頁岩。下位との境界は漸移的。層理と平行な軟質化が散在。層理と平行な酸化産物が散在される。8.88m間中粒凝灰質粘土(厚さ5mm, 5°)。9.35~10.00m間淡褐色平板状粘土(厚さ10mm, 5°)。10.07~10.15m間。層理に平行な割れ目が発達し軟質化する。9.30m, 9.32m, 9.45m, 10.15m付近。厚さ5~8mmで層理に平行(5°)な酸化産物。
12	10.46	9.90	1.62		黒色頁岩	黒灰	C L	10.15	10.46	β	11.08	3	90	10	10	凝灰質頁岩主体で、凝灰質頁岩を採り、層理がよど発達する。下位との境界は明瞭(5°)。10.18~11.08m間。軟質化する。
13	11.08	9.38	0.62		凝灰質頁岩	褐		10.46	10.46	α	11.08	2	85	7	0	凝灰質黒色頁岩主体で、凝灰質頁岩を採り、層理と平行な明瞭。採みの凝灰質頁岩に、層理に平行な割れ目が発達する。11.50~11.63m, 12.49~12.50m, 12.83~12.85m, 12.73~12.90m間。凝灰質頁岩。11.50~11.63m間淡褐色平板状粘土(厚さ10mm, 5°)。12.63m間淡褐色平板状粘土(厚さ3mm, 10°)。12.74~12.77m, 12.79~12.83m, 12.84~12.87m間灰色点状粘土(厚さ1mm, 5°)。12.88~12.90m間灰色平板状粘土(厚さ3mm, 5°)。
14	12.90	7.66	1.82		黒色頁岩	黒灰	C L	12.90	12.90	β	13.00	3	100	9	0	凝灰質頁岩主体で、凝灰質頁岩を採り、層理がよど発達する。下位との境界は漸移的。層理と平行な明瞭。採みの凝灰質頁岩に、層理に平行な割れ目が発達する。11.50~11.63m, 12.49~12.50m, 12.83~12.85m, 12.73~12.90m間。凝灰質頁岩。11.50~11.63m間淡褐色平板状粘土(厚さ10mm, 5°)。12.63m間淡褐色平板状粘土(厚さ3mm, 10°)。12.74~12.77m, 12.79~12.83m, 12.84~12.87m間灰色点状粘土(厚さ1mm, 5°)。12.88~12.90m間灰色平板状粘土(厚さ3mm, 5°)。
15	13.94	6.42	1.04		凝灰質頁岩	暗灰	C M	13.94	13.94	α	15.13	2	100	24	34	凝灰質頁岩主体で、凝灰質頁岩を採り、層理がよど発達する。下位との境界は明瞭(5°)。所々に層理に平行な割れ目が発達し、やや軟質化。14.27~14.36m, 14.44~14.51m間。凝灰質頁岩。14.27~14.28m, 4.44~14.51m, 14.72~14.80m間。荷重。15.60~16.88m間。乱堆積構造。14.58~14.65m, 15.06~15.13m, 15.49~15.53m間。層理に平行な割れ目が発達し(5~10°)や軟質化。15.33m付近。厚さ5~10mm間でやや軟質化(10~20°)。
16	15.72	4.64	1.78		凝灰岩	灰	C M	15.13	15.13	β	16.91	3	100	20	35	凝灰質頁岩主体で、凝灰質頁岩を採り、層理がよど発達する。下位との境界は明瞭(5°)。所々に層理に平行な割れ目が発達し、やや軟質化。14.27~14.36m, 14.44~14.51m間。凝灰質頁岩。14.27~14.28m, 4.44~14.51m, 14.72~14.80m間。荷重。15.60~16.88m間。乱堆積構造。14.58~14.65m, 15.06~15.13m, 15.49~15.53m間。層理に平行な割れ目が発達し(5~10°)や軟質化。15.33m付近。厚さ5~10mm間でやや軟質化(10~20°)。
17	16.48	3.88	0.76		黒色頁岩	黒灰	C M	16.91	16.91	α	17.22	2	100	13	23	凝灰質黒色頁岩主体で、凝灰質頁岩を採り、層理と平行な明瞭。採みの凝灰質頁岩に、層理に平行な割れ目が発達し、やや軟質化。16.63~16.90m間。凝灰質頁岩が散在して含まれる。17.22~17.24m間。厚さ20mmの灰色粘土(5°)で軟質化。
18	17.24	3.12	0.76		凝灰質頁岩	暗灰		17.22	17.22	β	18.20	3	100	23	44	塊状の黒色頁岩。下位との境界は漸移的。17.63~18.14m間。高角度(70°)割れ目。18.15m付近。厚さ5mmの黒色粘土(5°)で軟質化。17.31m, 17.61m, 17.62m。酸化産物。
19	18.30	2.06	1.06		黒色頁岩	黒灰	C M	18.20	18.20	α	21.16	3	100	25	55	凝灰質頁岩主体で、凝灰質頁岩を採り、層理がよど発達する。下位との境界は明瞭。18.55~18.75m間。凝灰質頁岩で層理がよど発達(5°)。18.77~19.05m間。黒色頁岩。19.12~19.37m間。高角度割れ目に沿って軟質化。
20	19.37	0.99	1.07		凝灰質頁岩	暗灰		21.16	21.16	β	21.16	3	100	19	48	細~粗粒凝灰岩。φ1~20mmの扁平な流紋岩質凝灰岩粒子又は塊。上方細粒化が認められる。下位との境界は漸移的。19.37~19.79m間。細~中粒凝灰岩。19.77~21.80m間。粗粒凝灰岩で流紋岩質凝灰岩を含み、19.88~19.70m間。層理に平行な割れ目が密に発達し(5°)や軟質化。20.32~20.55m間。層理に平行な割れ目が発達し、やや軟質化。20.73~20.80m間。層理に平行な割れ目が発達する。
21	21.80	-1.44	2.43		凝灰岩	灰		21.16	21.16	α	23.94	2	100	65	93	凝灰質をコアで扁平状に多く採る。下位との境界は明瞭(5°)で、やや凹凸に富む。21.90~22.30m間採る凝灰岩は褐色を呈する。
22	22.57	-2.21	0.77		黒色頁岩	暗灰	C H	23.94	23.94	β	24.06	2	100	39	88	φ10~30mmの扁平状の流紋岩質凝灰岩を含む火山凝灰岩。下位との境界は明瞭。22.62m, 22.69m, 22.71m, 22.81m, 22.89m付近。厚さ10~20mmの含礫部。22.94~23.13m, 23.33~24.06m間。コ全体が白色を呈する。
23	24.09	-3.73	1.52		火山凝灰岩	褐		24.06	24.06	α	24.67	3	100	89	100	粗粒凝灰岩主体で、凝灰質頁岩を採り、下位との境界は明瞭(5~10°)。24.09~24.18m, 24.31~24.37m間。黒色頁岩。24.60~24.92m間。φ1~4mmの扁平状の流紋岩質凝灰岩を含む。24.67~24.92m間。褐色を呈する。
24	24.92	-4.56	0.83		凝灰質頁岩	暗灰	C L	24.67	24.67	β	25.48	3	100	46	90	塊状の凝灰質頁岩。層理がやや発達。全体が高角度(80~90°)割れ目と層理に平行な割れ目(5°)発達。φ30~50mmの22付状。
25	25.48	-5.12	0.56		凝灰質頁岩	褐		25.48	25.48	α	28.48	1	100	53	53	全体に平均2mmの白色産物とφ0.5mm~φ3mmの黒灰色産物が散在し、28.53m以降に酸化産物が散在(φ1~5mm)する。白色産物と黒灰色産物の頻度は28.15~31.75m間で高く、φ1~φ5mmの小粒は32.73m以降も多く出現する。前々(25.75m付近。26.15m, 26.59m, 26.75m, 26.99m, 30.89m, 30.98m, 32.08m, 32.32m)に円~扁平の石灰質H'を含む(φ4~25mm)。28.69~28.80m(60°)。30.30~30.65m(70°~80°)。31.50~31.72m(70°)に高角度割れ目が発達し、28.69~28.80mのものに沿って厚さ10~15mmで酸化産物が分布する。30.30~30.65m間厚さ1mm。傾斜70°の灰色粘土。31.50~31.72m間方解石層は採る。下位との境界は明瞭で大きく湾曲する(80mmの起伏)。
26																
27																
28																
29																
30					安山岩	緑灰	C H			α		1	100	100	100	

No. 305 孔 (深度 30m まで)

ボーリングNO.305, 総掘進長 L=221.0 m

全 46 箱の内 1, 掘進長 0.0 ~ 4.0 m



溪床を対象とした現地調査結果

土石流危険溪流における溪床の状況について平成 27～28 年に現地調査を実施（令和元年に補足調査を実施）した。

溪床堆積物の分布や、周辺の微地形、露岩、植生等を確認し溪床の安定性も含めて谷の状況を確認するとともに、谷次数毎に溪床の横断スケッチ、状況写真の撮影及び簡易貫入試験を実施した。

横断スケッチ等を実施する横断測線位置は、堆積土砂の分布等を踏まえ谷を代表すると考えられる位置とした。横断測線は、谷次数毎に 1 測線を基本とするが、溪床勾配や溪床の断面が大きく変化し 1 測線では代表できないと判断する場合は、横断測線を増やした。横断測線を増やした谷については、横断測線が代表する溪流の延長を見直した。また、図上調査結果及び現地調査の結果、周辺の溪流と同様な地形形状（溪床勾配、谷幅、斜面状況）の溪流については、周辺の溪流の調査結果に代表させた。図-1 に横断測線の設定例を示す。

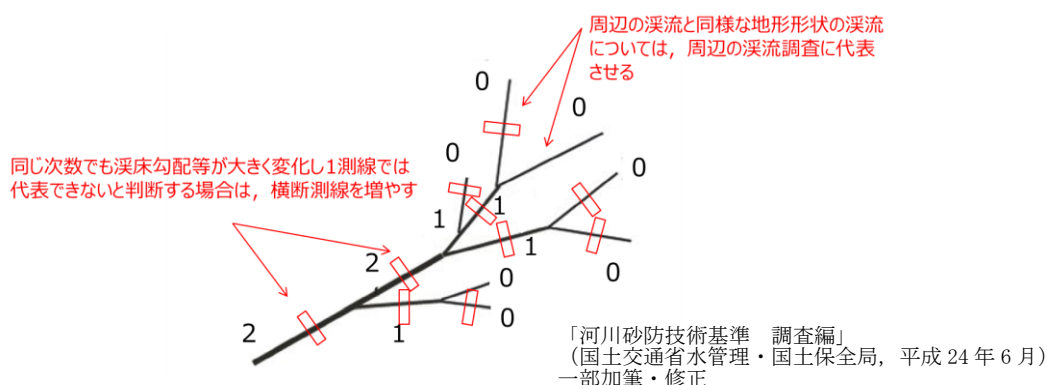


図-1 横断測線の設定例

横断測線位置において、「砂防指針」に基づき、侵食幅（土石流発生時に侵食が予想される平均溪床幅）（m）及び侵食深（土石流発生時に侵食が予想される溪床堆積土砂の平均深さ）（m）を推定した。図-2 に侵食幅、侵食深の調査方法を示す。

侵食幅は、溪流断面における溪岸斜面の傾斜変換点、ガリー地形の発達状況、後背地域の状況（谷筋の消滅、小規模な尾根の存在）等に着目し、土石流流下範囲として考えられる幅を推定した。侵食深は、斜面状況、露頭状況及び簡易貫入試験結果を踏まえ推定した。簡易貫入試験は、0 次谷以外の谷を対象に図-3 に示すとおり、横断測線位置及び横断測線位置から谷筋の縦断方向へ上下流に約 5m 離れた位置の延べ 3 箇所を実施した。侵食深は、小山内ほか（2005）⁽¹⁾ に基づき、地質によらず崩れずに斜面上に残るとされている「Nd \geq 20」を深度とし、3 箇所の平均値より算出した。

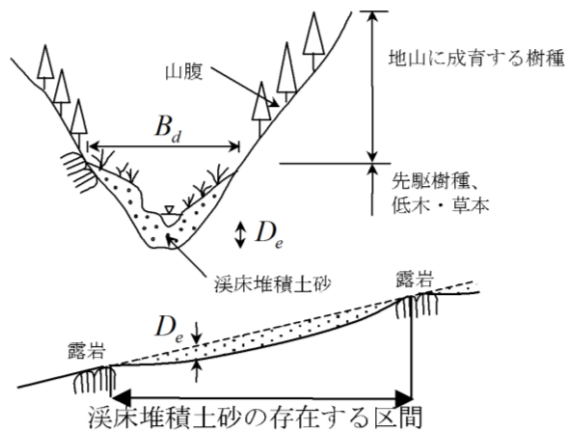


図-2 侵食幅，侵食深の調査方法

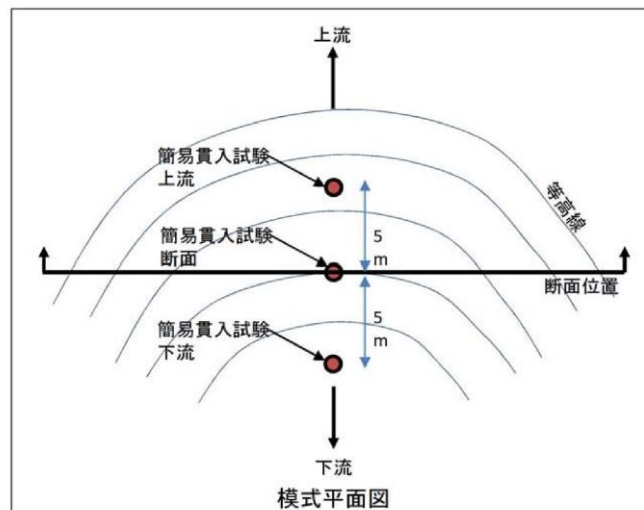


図-3 侵食深の調査方法（簡易貫入試験）

移動可能土砂量は，以下の式を用いて求めた。

$$V = \sum (A_n \times L_n)$$

$$A_n = B_d \times D_e$$

ここで，

V : 移動可能土砂量 (m^3)

A_n : 侵食可能断面積（移動可能溪床堆積土砂の平均断面積）(m^2)

L_n : 溪流の延長または0次谷の延長 (m)

B_d : 侵食幅 (m)

D_e : 侵食深 (m)

溪流横断測線位置及び現地調査結果を図-4～図-18に示す。また，現地調査結果に基づき算出した移動可能土砂量を表-1～表-7に示す。

[土石流危険溪流①]

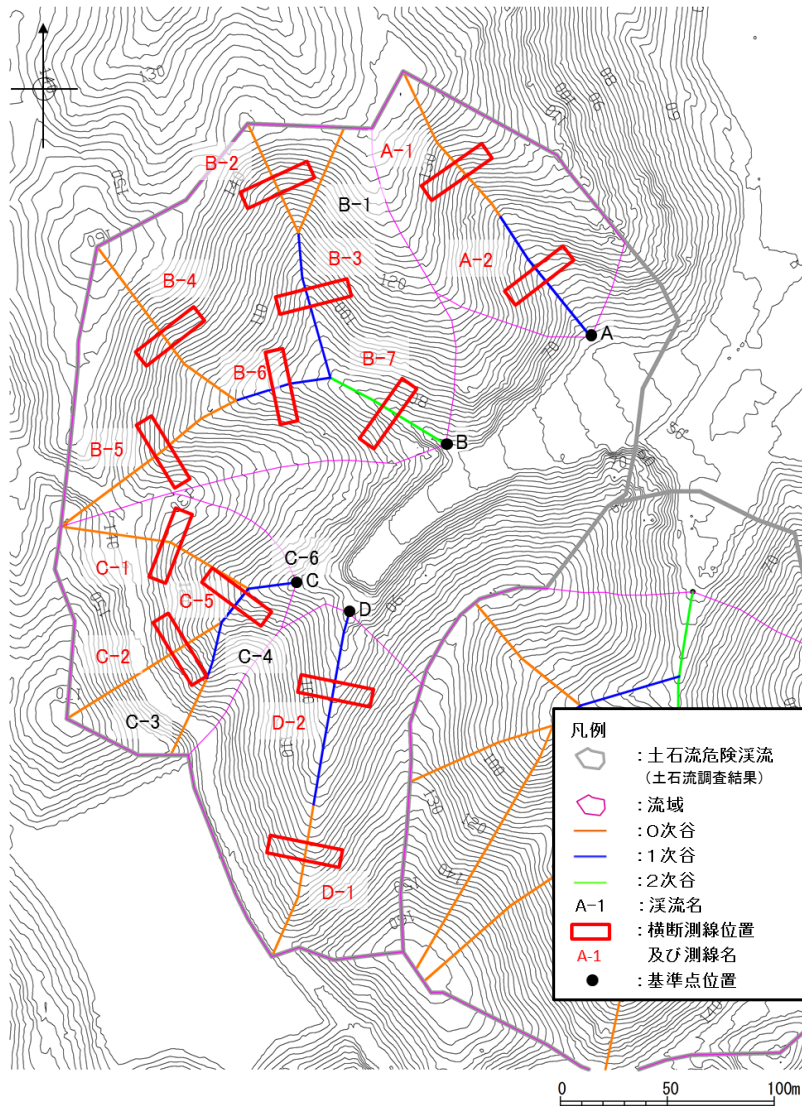


図-4 土石流危険溪流①の溪流横断測線位置図

横断測線	現地調査結果	
A-1	<p>現地写真</p> 	<p>現地スケッチ</p> 
	<p>調査結果</p> <p>A 支流は1条の直線的な溪流のみからなる。A-1 溪流は開いた谷状をなす急斜面である。両岸も急傾斜をなし、断面位置では右岸に露岩が認められ、全体に堆積物(表土)は薄いと判断される。</p> <p>0次谷については、谷の最上流部に位置し集水域が狭いこと、斜面勾配が急であること、現地踏査における斜面状況、露頭状況から、土石流発生予想深さ(平均侵食深)を0.5mとした。</p>	

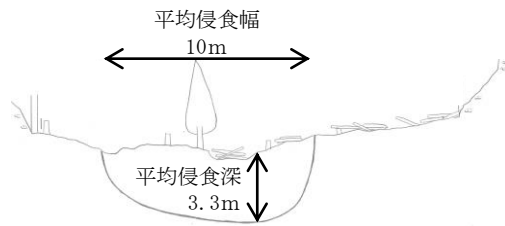
横断測線

現地調査結果

現地写真



現地スケッチ



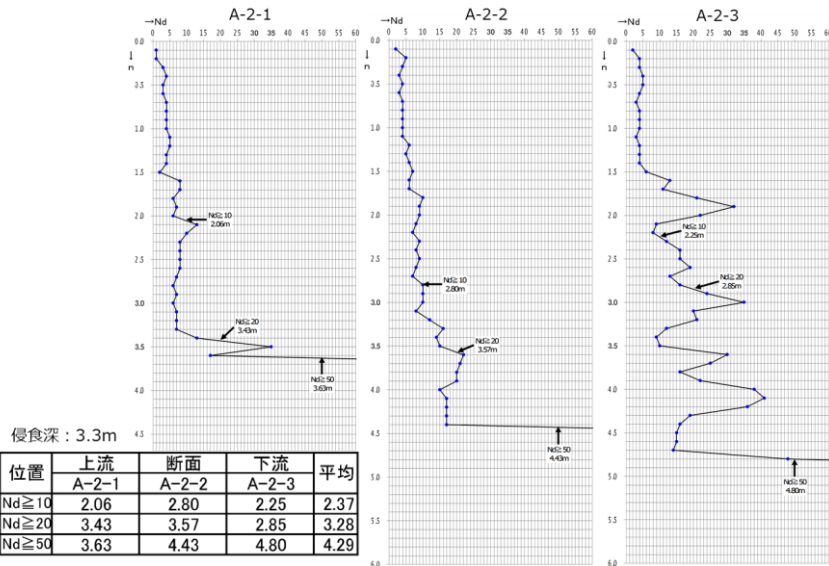
調査結果

溪床幅は広く 18m と見積もられる。溪床勾配も比較的緩く、厚い堆積物が分布すると推定される。兩岸は急傾斜をなし、断面位置付近では兩岸に露岩が認められる。A-2 渓流は箱状谷に近い形状をなす。

1 次谷及び 2 次谷については、現地踏査における斜面状況、露頭状況から、土石流発生予想深さ（平均侵食深）を求めた。

A-2

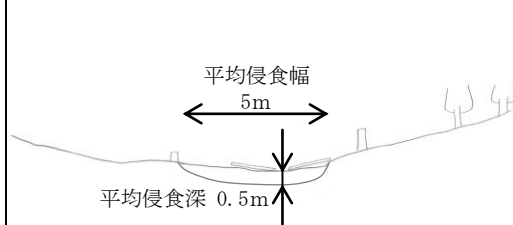
簡易貫入試験結果



現地写真



現地スケッチ


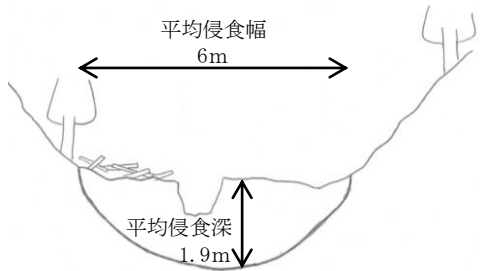
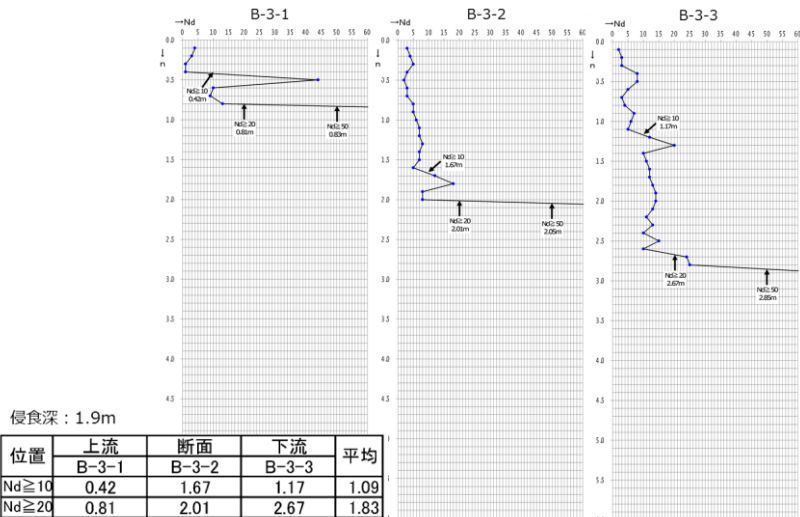
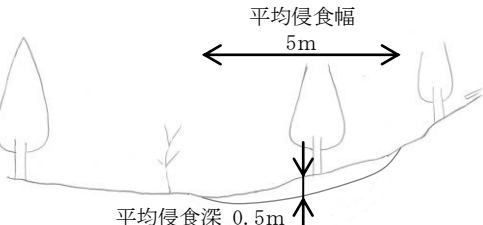



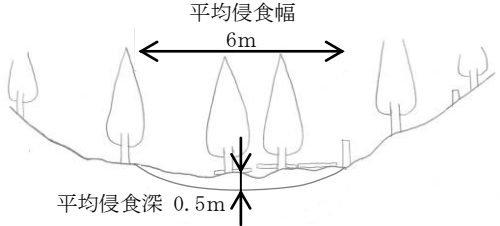

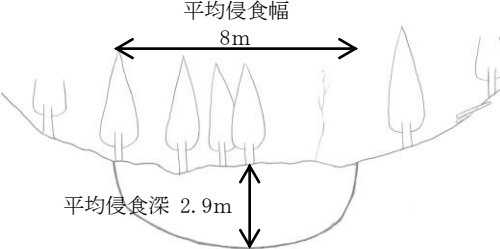
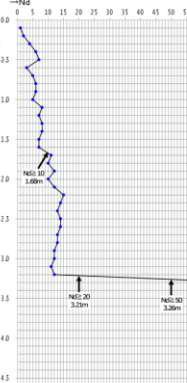
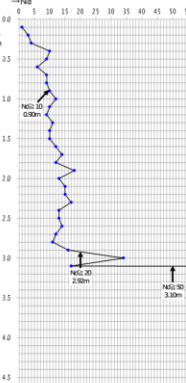
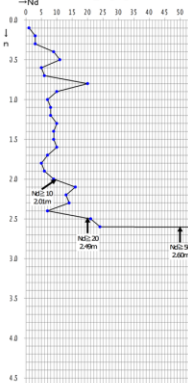
B-2


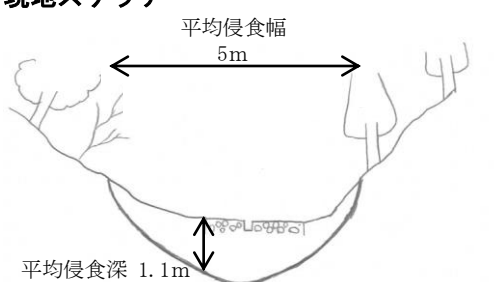

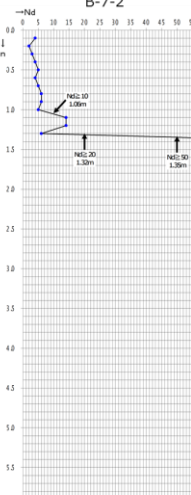


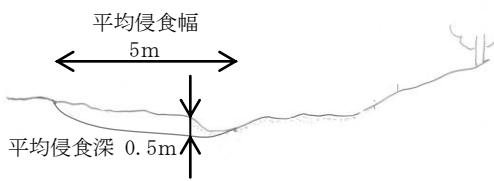
調査結果


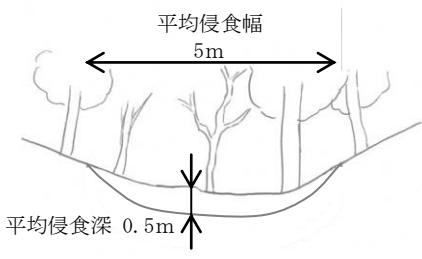

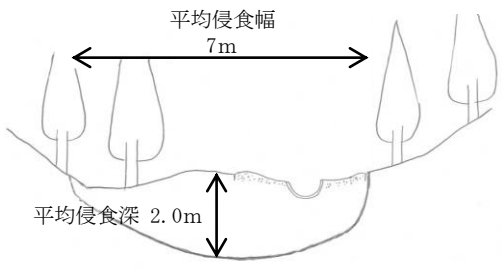
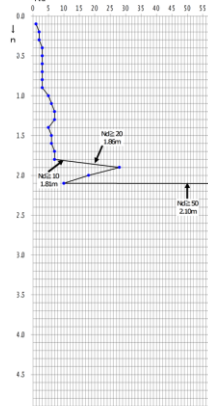
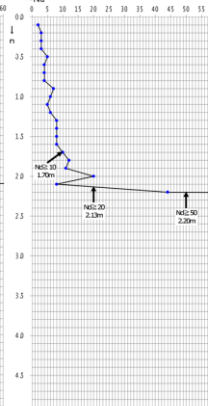
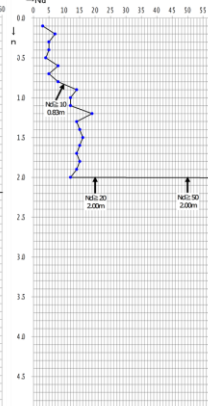
谷頭上方の急斜面で、開いた谷型斜面よりなる。

0 次谷については、谷の最上流部に位置し集水域が狭いこと、斜面勾配が急であること、現地踏査における斜面状況、露頭状況から、土石流発生予想深さ（平均侵食深）を 0.5m とした。

横断測線	現地調査結果																										
B-3	<p>現地写真</p> 	<p>現地スケッチ</p> 																									
	<p>調査結果</p> <p>溪床幅は狭く両岸は急傾斜をなすため、谷底のある開いたV字谷様をなす。溪床には深さ0.5~0.8mの深いガリーが連続している。直上流では溪床付近に露岩が認められる。両岸も急傾斜で表土が薄い。</p> <p>1次谷及び2次谷については、現地踏査における斜面状況、露頭状況から、土石流発生予想深さ（平均侵食深）を求めた。</p>																										
B-4	<p>簡易貫入試験結果</p>  <p>侵食深：1.9m</p> <table border="1" data-bbox="379 1330 762 1435"> <thead> <tr> <th>位置</th> <th>上流</th> <th>断面</th> <th>下流</th> <th>平均</th> </tr> </thead> <tbody> <tr> <td></td> <td>B-3-1</td> <td>B-3-2</td> <td>B-3-3</td> <td></td> </tr> <tr> <td>Nd≧10</td> <td>0.42</td> <td>1.67</td> <td>1.17</td> <td>1.09</td> </tr> <tr> <td>Nd≧20</td> <td>0.81</td> <td>2.01</td> <td>2.67</td> <td>1.83</td> </tr> <tr> <td>Nd≧50</td> <td>0.83</td> <td>2.05</td> <td>2.85</td> <td>1.91</td> </tr> </tbody> </table>	位置	上流	断面	下流	平均		B-3-1	B-3-2	B-3-3		Nd≧10	0.42	1.67	1.17	1.09	Nd≧20	0.81	2.01	2.67	1.83	Nd≧50	0.83	2.05	2.85	1.91	<p>現地スケッチ</p> 
	位置	上流	断面	下流	平均																						
	B-3-1	B-3-2	B-3-3																								
Nd≧10	0.42	1.67	1.17	1.09																							
Nd≧20	0.81	2.01	2.67	1.83																							
Nd≧50	0.83	2.05	2.85	1.91																							
<p>調査結果</p> <p>谷頭上方の急斜面で、開いた谷型斜面よりなる。表層には径5cm以下の礫が多数分布しており、堆積物(表土)は薄いと推測される。</p> <p>0次谷については、谷の最上流部に位置し集水域が狭いこと、斜面勾配が急であること、現地踏査における斜面状況、露頭状況から、土石流発生予想深さ（平均侵食深）を0.5mとした。</p>																											

横断測線	現地調査結果																										
B-5	<p>現地写真</p> 	<p>現地スケッチ</p> 																									
	<p>調査結果</p> <p>谷地形が明瞭な急斜面である。 0次谷については、谷の最上流部に位置し集水域が狭いこと、斜面勾配が急であること、現地踏査における斜面状況、露頭状況から、土石流発生予想深さ（平均侵食深）を0.5mとした。</p>																										
B-6	<p>現地写真</p> 	<p>現地スケッチ</p> 																									
	<p>調査結果</p> <p>溪床幅は10mを越えて広く、その勾配も緩いため厚さ1.5mを越える厚い堆積物が分布すると推定される。両岸は急傾斜をなし、開いたU字谷様をなす。 1次谷及び2次谷については、現地踏査における斜面状況、露頭状況から、土石流発生予想深さ（平均侵食深）を求めた。</p>																										
<p>簡易貫入試験結果</p> <div style="display: flex; justify-content: space-around;"> <div data-bbox="523 1451 742 1861"> <p>B-6-1</p>  </div> <div data-bbox="742 1451 960 1861"> <p>B-6-2</p>  </div> <div data-bbox="960 1451 1179 1861"> <p>B-6-3</p>  </div> </div> <p>侵食深：2.9m</p> <table border="1" data-bbox="359 1861 742 1973"> <thead> <tr> <th>位置</th> <th>上流</th> <th>断面</th> <th>下流</th> <th>平均</th> </tr> </thead> <tbody> <tr> <td></td> <td>B-6-1</td> <td>B-6-2</td> <td>B-6-3</td> <td></td> </tr> <tr> <td>Nd\geq10</td> <td>1.68</td> <td>0.90</td> <td>2.01</td> <td>1.53</td> </tr> <tr> <td>Nd\geq20</td> <td>3.21</td> <td>2.92</td> <td>2.49</td> <td>2.87</td> </tr> <tr> <td>Nd\geq50</td> <td>3.26</td> <td>3.10</td> <td>2.60</td> <td>2.99</td> </tr> </tbody> </table>			位置	上流	断面	下流	平均		B-6-1	B-6-2	B-6-3		Nd \geq 10	1.68	0.90	2.01	1.53	Nd \geq 20	3.21	2.92	2.49	2.87	Nd \geq 50	3.26	3.10	2.60	2.99
位置	上流	断面	下流	平均																							
	B-6-1	B-6-2	B-6-3																								
Nd \geq 10	1.68	0.90	2.01	1.53																							
Nd \geq 20	3.21	2.92	2.49	2.87																							
Nd \geq 50	3.26	3.10	2.60	2.99																							

横断測線	現地調査結果																					
	<p>現地写真</p> 	<p>現地スケッチ</p>  <p>平均侵食幅 5m 平均侵食深 1.1m</p>																				
	<p>調査結果</p> <p>B-3 渓流と同様に、溪床幅は狭く両岸は急傾斜をなす。溪床は蛇カゴが連続して施工されており、人工改変を受けている。 1次谷及び2次谷については、現地踏査における斜面状況、露頭状況から、土石流発生予想深さ（平均侵食深）を求めた。</p>																					
B-7	<p>簡易貫入試験結果</p> <div style="display: flex; justify-content: space-around;"> <div data-bbox="526 806 750 1332"> <p>B-7-1</p>  </div> <div data-bbox="750 806 973 1332"> <p>B-7-2</p>  </div> <div data-bbox="973 806 1197 1332"> <p>B-7-3</p>  </div> </div> <p>侵食深：1.1m</p> <table border="1" data-bbox="351 1232 734 1344"> <thead> <tr> <th>位置</th> <th>上流</th> <th>断面</th> <th>下流</th> <th>平均</th> </tr> </thead> <tbody> <tr> <td>Nd\geq10</td> <td>0.92</td> <td>B-7-2</td> <td>0.80</td> <td>0.93</td> </tr> <tr> <td>Nd\geq20</td> <td>0.97</td> <td></td> <td>0.80</td> <td>1.03</td> </tr> <tr> <td>Nd\geq50</td> <td>1.03</td> <td></td> <td>0.81</td> <td>1.06</td> </tr> </tbody> </table>		位置	上流	断面	下流	平均	Nd \geq 10	0.92	B-7-2	0.80	0.93	Nd \geq 20	0.97		0.80	1.03	Nd \geq 50	1.03		0.81	1.06
位置	上流	断面	下流	平均																		
Nd \geq 10	0.92	B-7-2	0.80	0.93																		
Nd \geq 20	0.97		0.80	1.03																		
Nd \geq 50	1.03		0.81	1.06																		
C-1	<p>現地写真</p> 	<p>現地スケッチ</p>  <p>平均侵食幅 5m 平均侵食深 0.5m</p>																				
	<p>調査結果</p> <p>急傾斜の谷型斜面からなり、斜面中には小規模な崩壊跡が複数認められる。溪床相当部には上部から下部にかけて連続してモルタル吹付工が施工されている。この部分は小規模な土石流が発生した跡と推測される。土石流跡であることから、表層の堆積物は削剥されており、非常に薄いと推定される。 0次谷については、谷の最上流部に位置し集水域が狭いこと、斜面勾配が急であること、現地踏査における斜面状況、露頭状況から、土石流発生予想深さ（平均侵食深）を0.5mとした。</p>																					

横断測線	現地調査結果																										
C-2	現地写真 	現地スケッチ 																									
	調査結果 <p>急傾斜の谷型斜面からなり、崩壊跡地が認められる。表層には黒色頁岩の細片が多く露出し、崩壊跡地内にも露岩が確認できることから、全体に堆積物(表土)は薄いと予想される。</p> <p>0次谷については、谷の最上流部に位置し集水域が狭いこと、斜面勾配が急であること、現地踏査における斜面状況、露頭状況から、土石流発生予想深さ(平均侵食深)を0.5mとした。</p>																										
C-5	現地写真 	現地スケッチ 																									
	調査結果 <p>断面位置付近は上流域に比べて溪床勾配が緩くなり、溪床幅が8mとやや広がっている。溪床幅のうち3.5mはモルタル吹付工が施工されている。両岸とも急傾斜で、右岸側はより急である。</p> <p>1次谷及び2次谷については、現地踏査における斜面状況、露頭状況から、土石流発生予想深さ(平均侵食深)を求めた。</p>																										
C-5	簡易貫入試験結果 <div style="display: flex; justify-content: space-around;"> <div data-bbox="502 1467 710 1892"> <p>C-5-1</p>  </div> <div data-bbox="718 1467 925 1892"> <p>C-5-2</p>  </div> <div data-bbox="933 1467 1141 1892"> <p>C-5-3</p>  </div> </div> <p>侵食深: 2.0m</p> <table border="1" data-bbox="359 1892 742 2004"> <thead> <tr> <th>位置</th> <th>上流</th> <th>断面</th> <th>下流</th> <th>平均</th> </tr> </thead> <tbody> <tr> <td></td> <td>C-5-1</td> <td>C-5-2</td> <td>C-5-3</td> <td></td> </tr> <tr> <td>Nd\geq10</td> <td>1.81</td> <td>1.70</td> <td>0.83</td> <td>1.45</td> </tr> <tr> <td>Nd\geq20</td> <td>1.86</td> <td>2.13</td> <td>2.00</td> <td>2.00</td> </tr> <tr> <td>Nd\geq50</td> <td>2.10</td> <td>2.20</td> <td>2.00</td> <td>2.10</td> </tr> </tbody> </table>		位置	上流	断面	下流	平均		C-5-1	C-5-2	C-5-3		Nd \geq 10	1.81	1.70	0.83	1.45	Nd \geq 20	1.86	2.13	2.00	2.00	Nd \geq 50	2.10	2.20	2.00	2.10
位置	上流	断面	下流	平均																							
	C-5-1	C-5-2	C-5-3																								
Nd \geq 10	1.81	1.70	0.83	1.45																							
Nd \geq 20	1.86	2.13	2.00	2.00																							
Nd \geq 50	2.10	2.20	2.00	2.10																							


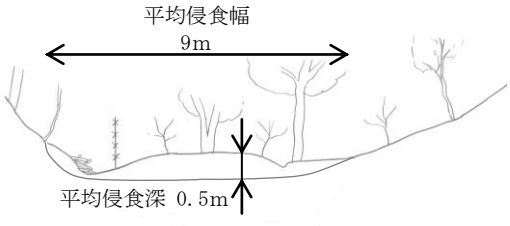

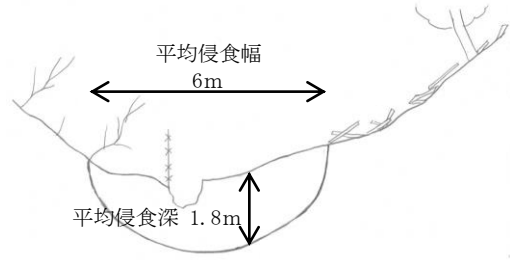
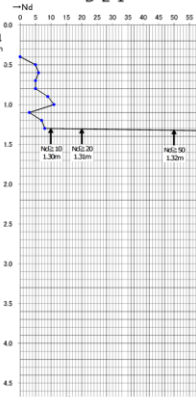
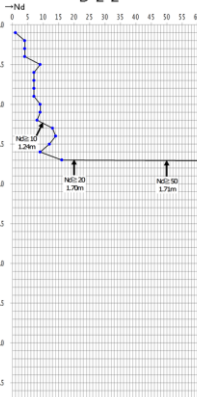
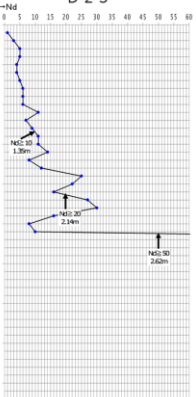
横断測線	現地調査結果																										
D-1	<p>現地写真</p> 	<p>現地スケッチ</p> 																									
	<p>調査結果</p> <p>D 支流は1条の直線的な溪流のみからなる。谷地形が明瞭で溪床と谷壁の区分は明瞭である。兩岸は急傾斜をなす。</p> <p>0 次谷については、谷の最上流部に位置し集水域が狭いこと、斜面勾配が急であること、現地踏査における斜面状況、露頭状況から、土石流発生予想深さ（平均侵食深）を0.5mとした。</p>																										
D-2	<p>現地写真</p> 	<p>現地スケッチ</p> 																									
	<p>調査結果</p> <p>直線的な溪流でD-1 溪流と大きな変化は認められない。深さ0.5m前後のガリーが連続する。兩岸は急傾斜をなし、堆積物(表土)が薄い。</p> <p>1 次谷及び2 次谷については、現地踏査における斜面状況、露頭状況から、土石流発生予想深さ（平均侵食深）を求めた。</p>																										
D-2	<p>簡易貫入試験結果</p> <div style="display: flex; justify-content: space-around;"> <div data-bbox="544 1391 759 1800"> <p>D-2-1</p>  </div> <div data-bbox="767 1391 983 1800"> <p>D-2-2</p>  </div> <div data-bbox="991 1391 1206 1800"> <p>D-2-3</p>  </div> </div> <p>侵食深：1.8m</p> <table border="1" data-bbox="363 1800 746 1906"> <thead> <tr> <th>位置</th> <th>上流</th> <th>断面</th> <th>下流</th> <th>平均</th> </tr> </thead> <tbody> <tr> <td></td> <td>D-2-1</td> <td>D-2-2</td> <td>D-2-3</td> <td></td> </tr> <tr> <td>Nd\geq10</td> <td>1.30</td> <td>1.24</td> <td>1.35</td> <td>1.30</td> </tr> <tr> <td>Nd\geq20</td> <td>1.31</td> <td>1.70</td> <td>2.14</td> <td>1.72</td> </tr> <tr> <td>Nd\geq50</td> <td>1.32</td> <td>1.71</td> <td>2.62</td> <td>1.88</td> </tr> </tbody> </table>		位置	上流	断面	下流	平均		D-2-1	D-2-2	D-2-3		Nd \geq 10	1.30	1.24	1.35	1.30	Nd \geq 20	1.31	1.70	2.14	1.72	Nd \geq 50	1.32	1.71	2.62	1.88
位置	上流	断面	下流	平均																							
	D-2-1	D-2-2	D-2-3																								
Nd \geq 10	1.30	1.24	1.35	1.30																							
Nd \geq 20	1.31	1.70	2.14	1.72																							
Nd \geq 50	1.32	1.71	2.62	1.88																							

図-5 土石流危険溪流①の現地調査結果

[土石流危険溪流②]

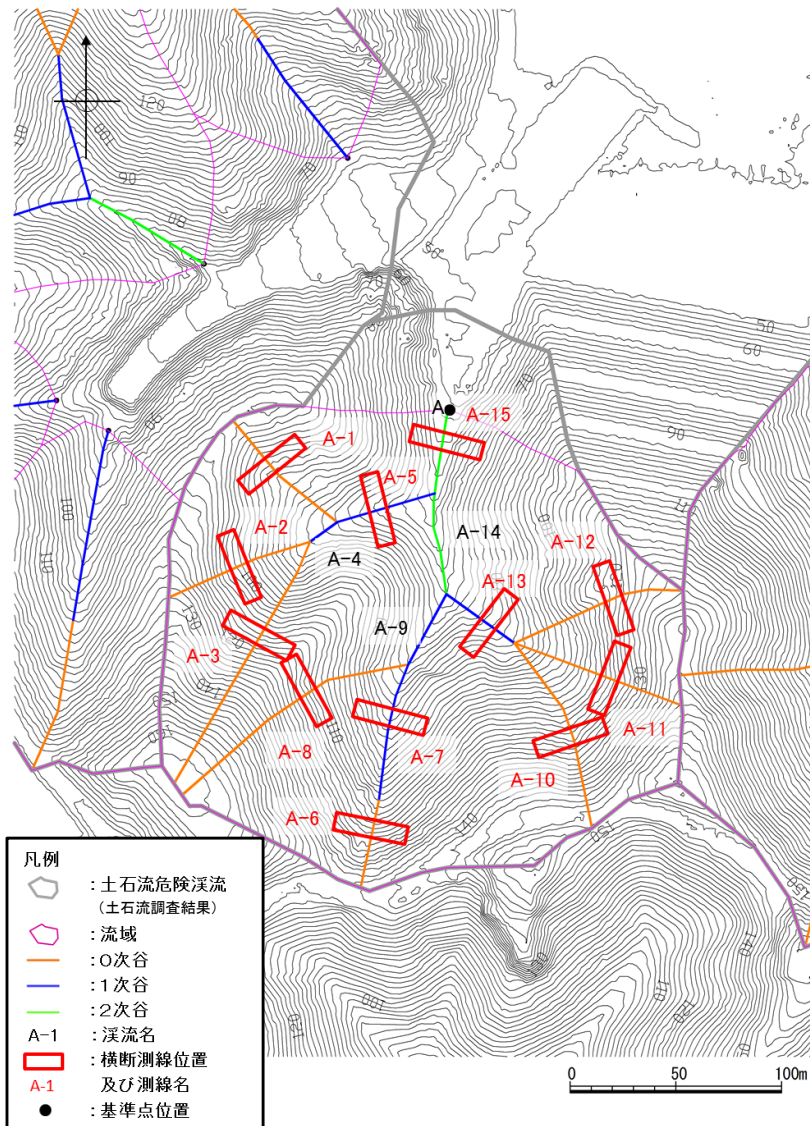

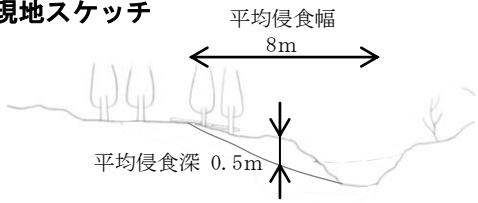

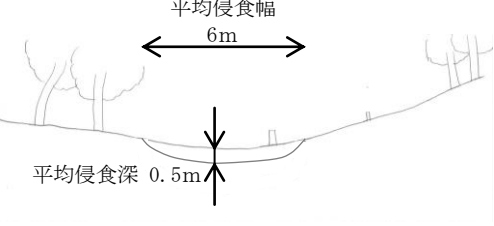

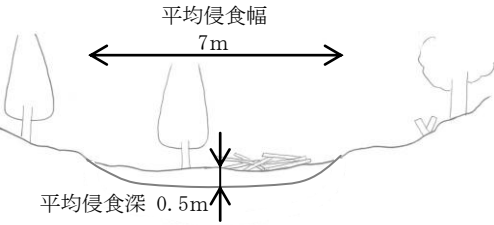


図-6 土石流危険溪流②の溪流横断測線位置図

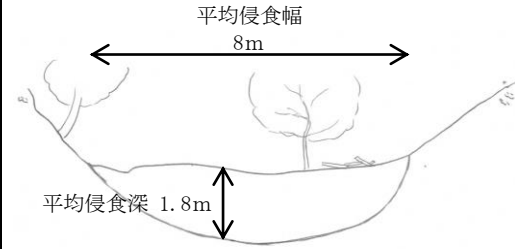
横断測線	現地調査結果	
A-1	現地写真 	現地スケッチ 
	調査結果 周辺は谷地形をなし、その上流側は急傾斜の谷型斜面からなる。 0次谷については、谷の最上流部に位置し集水域が狭いこと、斜面勾配が急であること、現地踏査における斜面状況、露頭状況から、土石流発生予想深さ（平均侵食深）を0.5mとした。	

横断測線	現地調査結果	
A-2	現地写真 	現地スケッチ 
	調査結果 開いた谷型斜面をなす。 0次谷については、谷の最上流部に位置し集水域が狭いこと、斜面勾配が急であること、現地踏査における斜面状況、露頭状況から、土石流発生予想深さ（平均侵食深）を0.5mとした。	
A-3	現地写真 	現地スケッチ 
	調査結果 急傾斜で開いた谷型斜面が連続する。 0次谷については、谷の最上流部に位置し集水域が狭いこと、斜面勾配が急であること、現地踏査における斜面状況、露頭状況から、土石流発生予想深さ（平均侵食深）を0.5mとした。	

現地写真



現地スケッチ



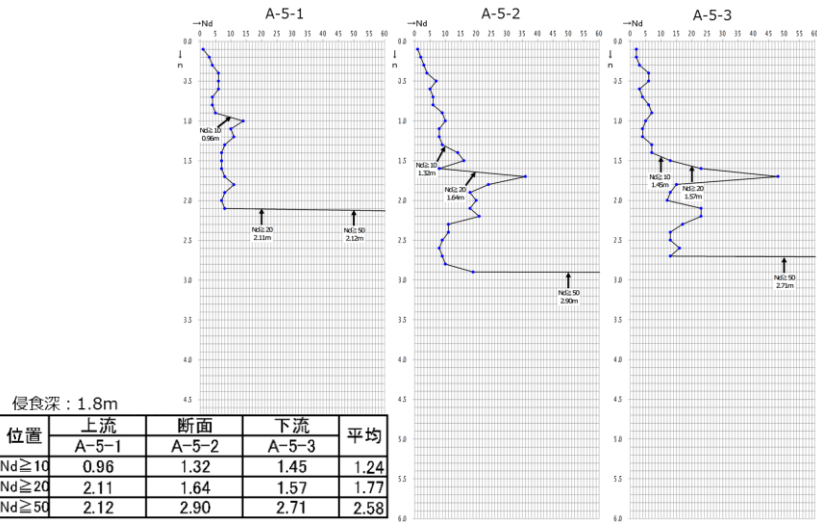
調査結果

溪床は平滑で緩傾斜であるが両岸は急傾斜をなし、開いた箱状谷をなす。0字谷に比べて溪床幅が狭い。両溪岸には露岩が認められ、斜面の堆積物(表土)は薄い。断面位置直下流の溪床には深さ1.5mのガリーが形成されている。

1次谷及び2次谷については、現地踏査における斜面状況、露頭状況から、土石流発生予想深さ(平均侵食深)を求めた。

A-5

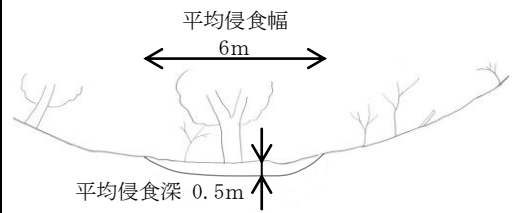
簡易貫入試験結果



現地写真



現地スケッチ



A-6

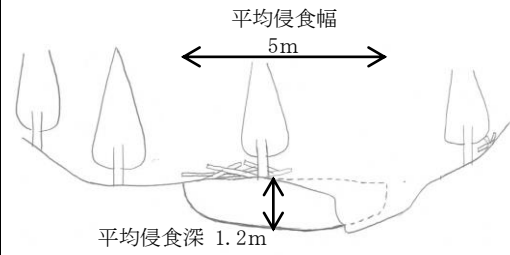
調査結果

開いた谷型斜面であるが、底部と両岸斜面の傾斜変化は比較的明瞭である。0次谷については、谷の最上流部に位置し集水域が狭いこと、斜面勾配が急であること、現地踏査における斜面状況、露頭状況から、土石流発生予想深さ(平均侵食深)を0.5mとした。

現地写真



現地スケッチ



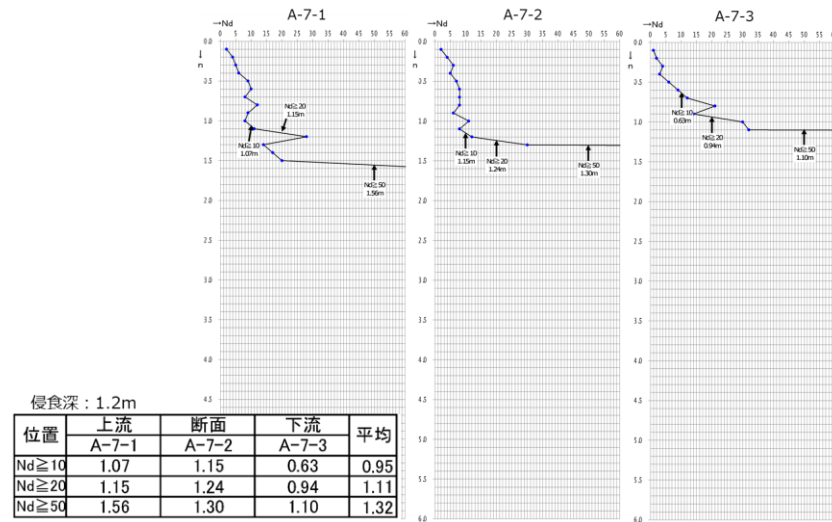
調査結果

溪床は緩傾斜をなすが両岸は急峻で、溪床には厚い堆積物が分布している。断面位置付近では溪床に深いガリー(1.3m程度)が形成されている。

1次谷及び2次谷については、現地踏査における斜面状況、露頭状況から、土石流発生予想深さ(平均侵食深)を求めた。

A-7

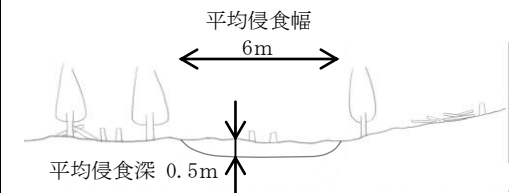
簡易貫入試験結果



現地写真




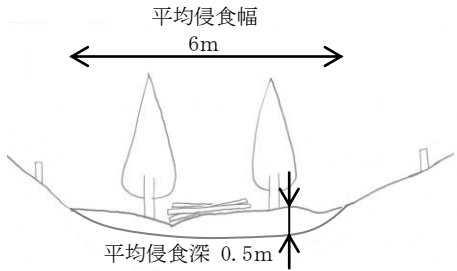
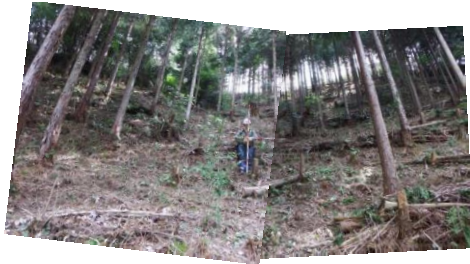
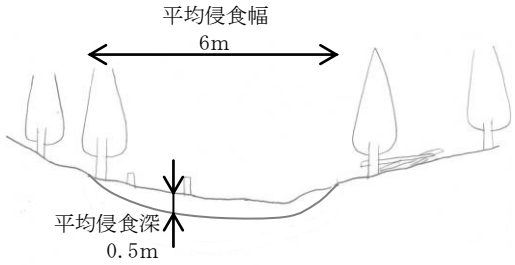
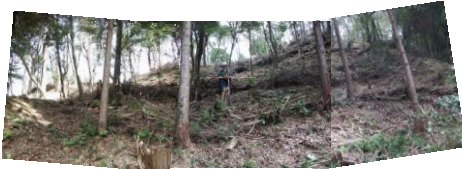
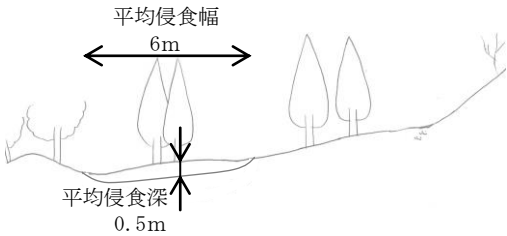
現地スケッチ



A-8

調査結果

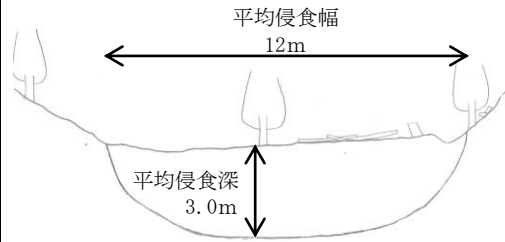
大きく開いた谷型斜面よりなる。
0次谷については、谷の最上流部に位置し集水域が狭いこと、斜面勾配が急であること、現地踏査における斜面状況、露頭状況から、土石流発生予想深さ(平均侵食深)を0.5mとした。

A-10	現地写真 	現地スケッチ 
	調査結果 急峻な谷型斜面で底部の流下方向は階段状をなし、一部には露岩が認められる。 0次谷については、谷の最上流部に位置し集水域が狭いこと、斜面勾配が急であること、現地踏査における斜面状況、露頭状況から、土石流発生予想深さ（平均侵食深）を0.5mとした。	
A-11	現地写真 	現地スケッチ 
	調査結果 急斜面の開いた谷型斜面よりなる。 0次谷については、谷の最上流部に位置し集水域が狭いこと、斜面勾配が急であること、現地踏査における斜面状況、露頭状況から、土石流発生予想深さ（平均侵食深）を0.5mとした。	
A-12	現地写真 	現地スケッチ 
	調査結果 谷頭付近の谷型斜面である。 0次谷については、谷の最上流部に位置し集水域が狭いこと、斜面勾配が急であること、現地踏査における斜面状況、露頭状況から、土石流発生予想深さ（平均侵食深）を0.5mとした。	

現地写真



現地スケッチ



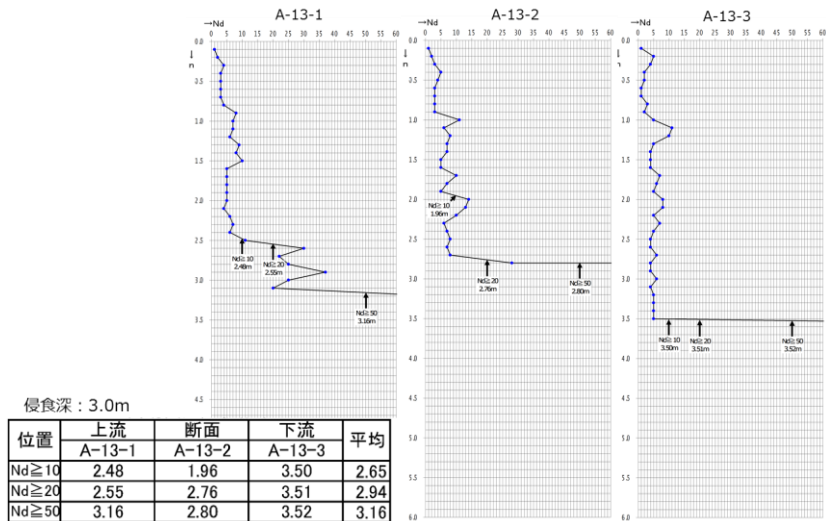
調査結果

溪床幅はほぼ一定して 10m を越え、勾配も比較的緩く、厚い堆積物が分布すると推定される。兩岸は急傾斜をなし、谷は開いた箱状谷をなす。溪床にはガリーが形成されている。

1 次谷及び 2 次谷については、現地踏査における斜面状況、露頭状況から、土石流発生予想深さ（平均侵食深）を求めた。

A-13

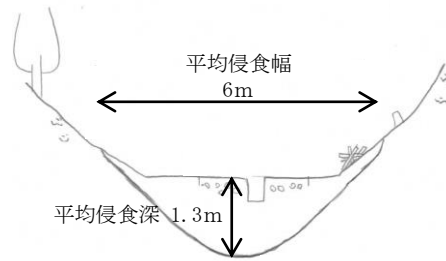
簡易貫入試験結果



現地写真



現地スケッチ



調査結果

本流沿いは溪床幅が狭い区間が多く、A-15 溪流も出口を除き全体に狭い。溪床には蛇カゴ工が施工されている。そのため、溪床はほぼ平滑であるが両岸は急傾斜をなし、溪岸と溪床の境界が明瞭である。

1次谷及び2次谷については、現地踏査における斜面状況、露頭状況から、土石流発生予想深さ（平均侵食深）を求めた。

A-15

簡易貫入試験結果

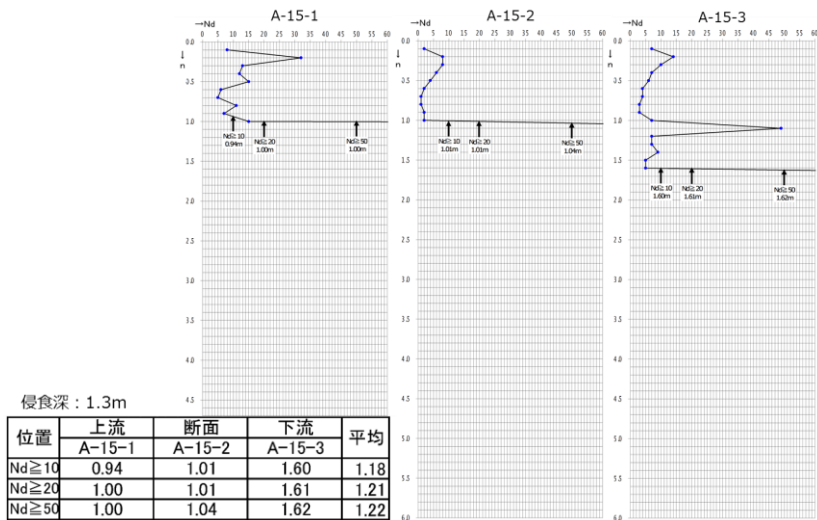


図-7 土石流危険溪流②の現地調査結果

[土石流危険溪流③]

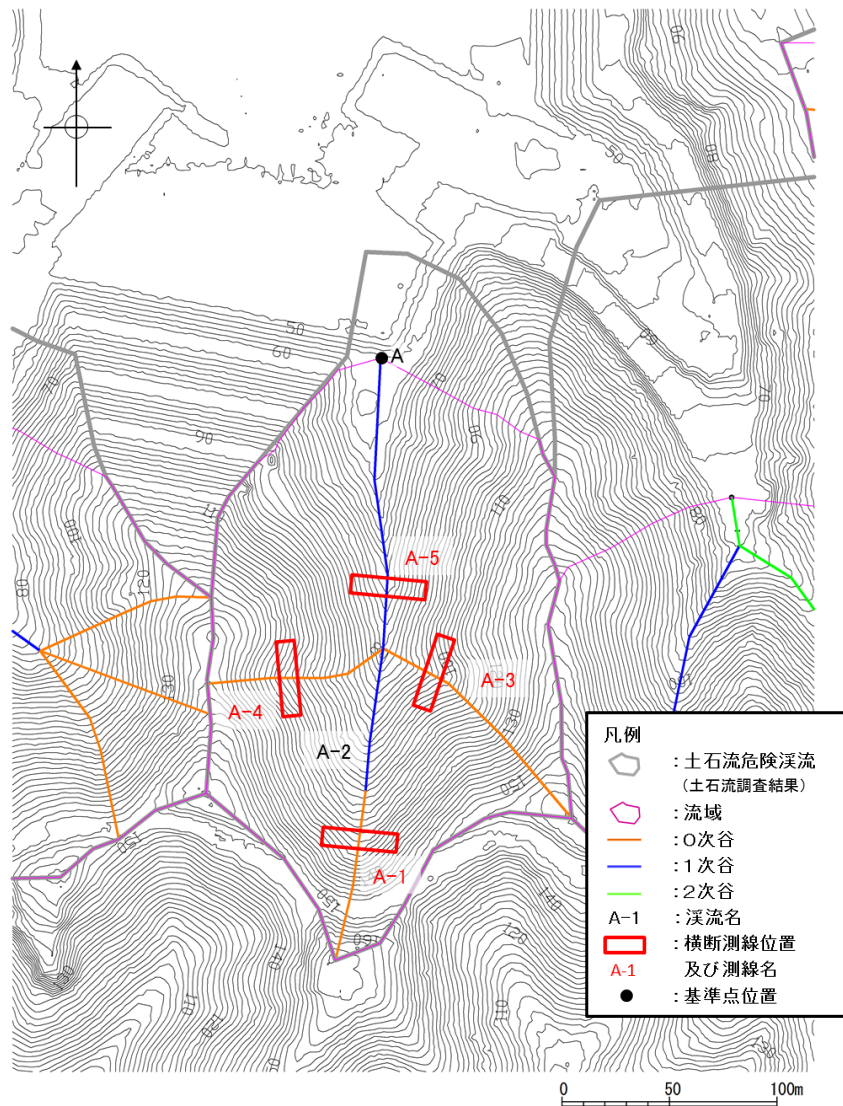

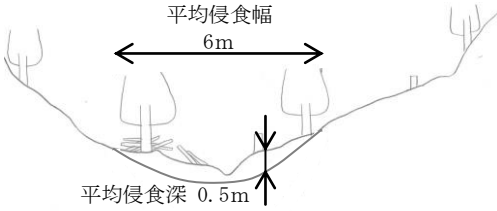

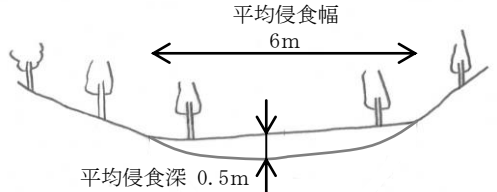


図-8 土石流危険溪流③の溪流横断測線位置図

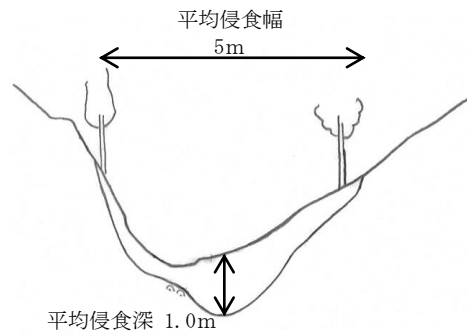
横断測線	現地調査結果	
A-1	<p>現地写真</p>	<p>現地スケッチ</p> <p>平均侵食幅 6m</p> <p>平均侵食深 0.5m</p>
	<p>調査結果</p> <p>断面位置付近では谷地形が明瞭で、溪床は平滑で幅10mを越える。両岸は急傾斜をなし、特に右岸側は急峻で露岩が多く認められる。</p> <p>0次谷については、谷の最上流部に位置し集水域が狭いこと、斜面勾配が急であること、現地踏査における斜面状況、露頭状況から、土石流発生予想深さ（平均侵食深）を0.5mとした。</p>	

横断測線	現地調査結果	
A-3	<p>現地写真</p> 	<p>現地スケッチ</p> 
	<p>調査結果</p> <p>急傾斜をなす右岸斜面中の谷型斜面である。</p> <p>0次谷については、谷の最上流部に位置し集水域が狭いこと、斜面勾配が急であること、現地踏査における斜面状況、露頭状況から、土石流発生予想深さ（平均侵食深）を0.5mとした。</p>	
A-4	<p>現地写真</p> 	<p>現地スケッチ</p> 
	<p>調査結果</p> <p>谷は浅く、谷型斜面状を呈する。表流水は認められない。</p> <p>0次谷については、谷の最上流部に位置し集水域が狭いこと、斜面勾配が急であること、現地踏査における斜面状況、露頭状況から、土石流発生予想深さ（平均侵食深）を0.5mとした。</p>	

現地写真



現地スケッチ



調査結果

溪床はガリー状となっており、右岸斜面が急である。流路には露岩が多く、露岩の上に礫が分布する。

1次谷及び2次谷については、現地踏査における斜面状況、露頭状況から、土石流発生予想深さ（平均侵食深）を求めた。

A-5

簡易貫入試験結果

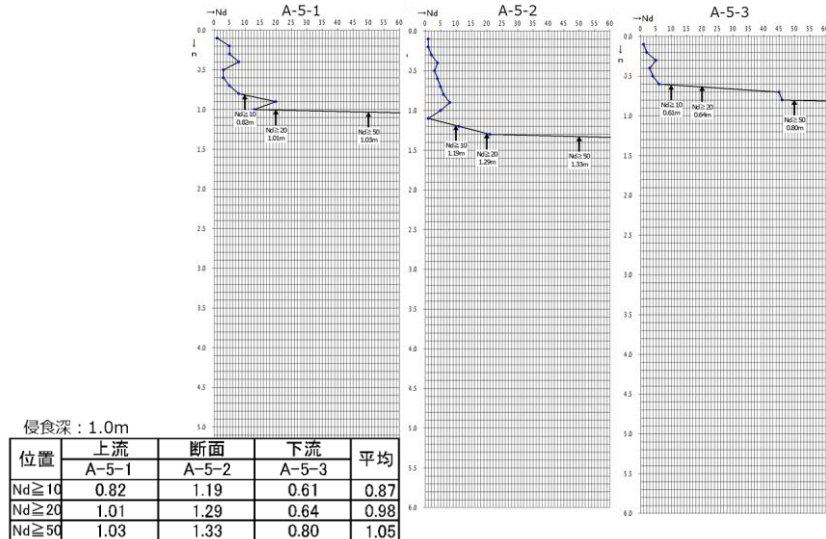


図-9 土石流危険溪流③の現地調査結果

[土石流危険溪流④]

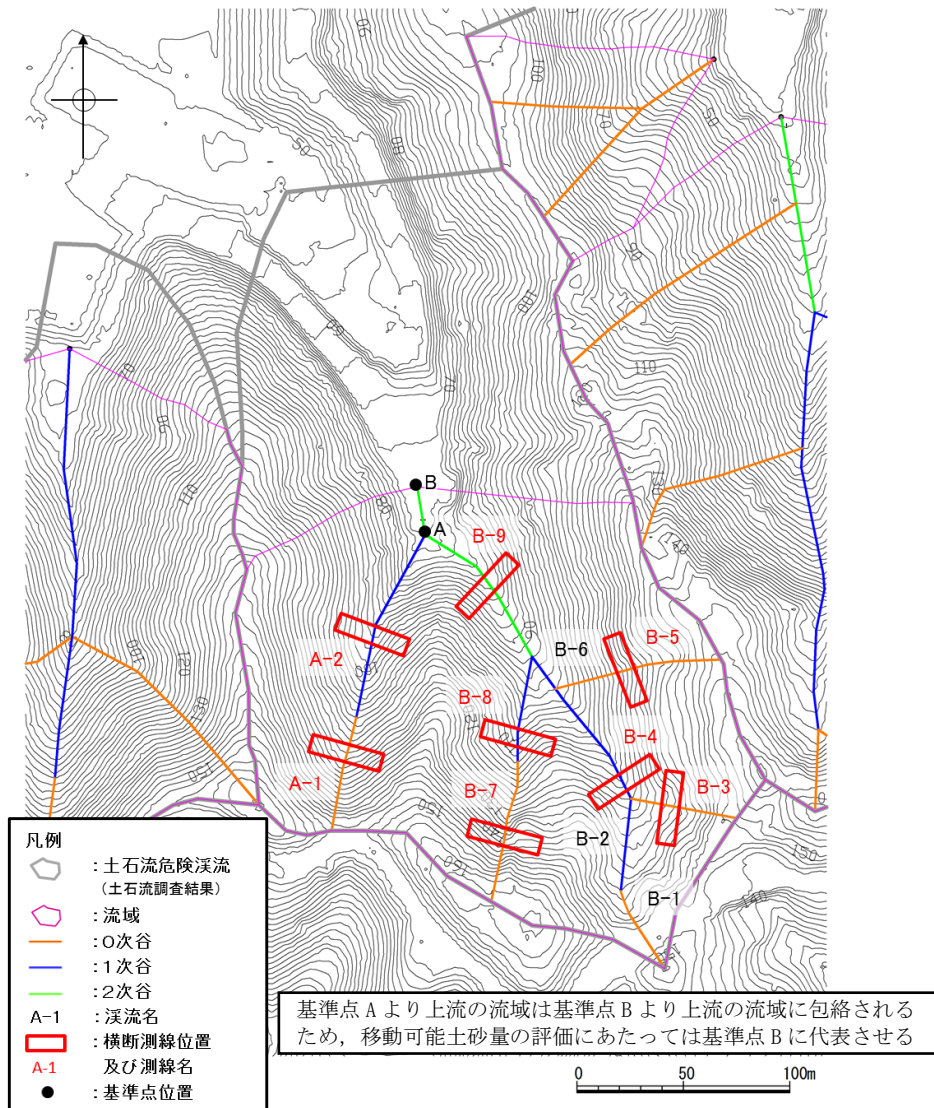

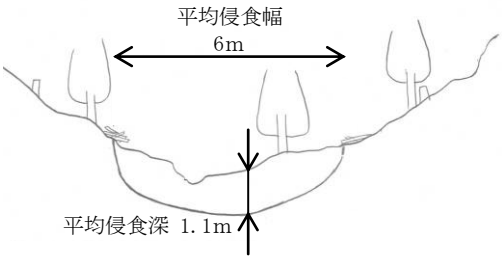
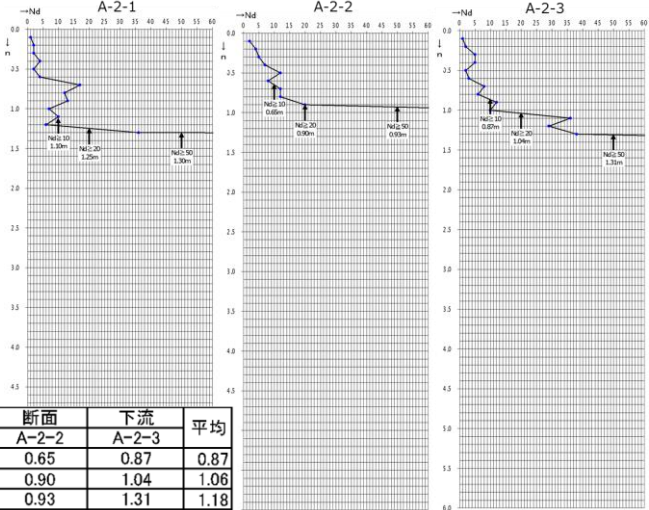


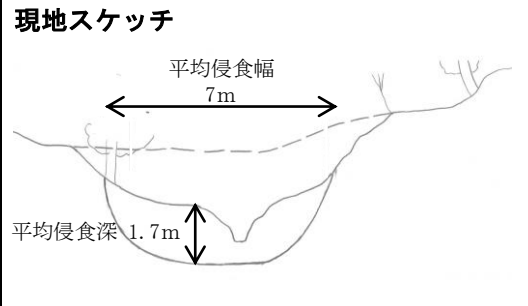


図-10 土石流危険溪流④の溪流横断測線位置図

横断測線	現地調査結果	
A-1	<p>現地写真</p>	<p>現地スケッチ</p> <p>平均侵食幅 5m</p> <p>平均侵食深 0.5m</p>
	<p>調査結果</p> <p>A支流は直線的な1条の溪流からなる。谷頭付近まで溪床としての地形が認められる。斜面は急峻で、溪床勾配も急である。断面位置では右岸側(上方の谷地形底部)に崩壊跡地の末端部がかかっている。</p> <p>0次谷については、谷の最上流部に位置し集水域が狭いこと、斜面勾配が急であること、現地踏査における斜面状況、露頭状況から、土石流発生予想深さ(平均侵食深)を0.5mとした。</p>	

横断測線	現地調査結果																										
A-2	<p>現地写真</p> 	<p>現地スケッチ</p> 																									
	<p>調査結果</p> <p>A-2 溪流は溪床勾配が多少緩く、堆積物中にガリーが形成され、それに沿って溝状の流下跡が認められる。</p> <p>1次谷及び2次谷については、現地踏査における斜面状況、露頭状況から、土石流発生予想深さ（平均侵食深）を求めた。</p>																										
A-2	<p>簡易貫入試験結果</p>  <p>侵食深：1.1m</p> <table border="1" data-bbox="395 1301 788 1406"> <thead> <tr> <th>位置</th> <th>上流</th> <th>断面</th> <th>下流</th> <th>平均</th> </tr> </thead> <tbody> <tr> <td>A-2-1</td> <td></td> <td>A-2-2</td> <td>A-2-3</td> <td></td> </tr> <tr> <td>Nd\geq10</td> <td>1.10</td> <td>0.65</td> <td>0.87</td> <td>0.87</td> </tr> <tr> <td>Nd\geq20</td> <td>1.25</td> <td>0.90</td> <td>1.04</td> <td>1.06</td> </tr> <tr> <td>Nd\geq50</td> <td>1.30</td> <td>0.93</td> <td>1.31</td> <td>1.18</td> </tr> </tbody> </table>		位置	上流	断面	下流	平均	A-2-1		A-2-2	A-2-3		Nd \geq 10	1.10	0.65	0.87	0.87	Nd \geq 20	1.25	0.90	1.04	1.06	Nd \geq 50	1.30	0.93	1.31	1.18
位置	上流	断面	下流	平均																							
A-2-1		A-2-2	A-2-3																								
Nd \geq 10	1.10	0.65	0.87	0.87																							
Nd \geq 20	1.25	0.90	1.04	1.06																							
Nd \geq 50	1.30	0.93	1.31	1.18																							
B-3	<p>現地写真</p> 	<p>現地スケッチ</p> 																									
	<p>調査結果</p> <p>急斜面で開いた谷型斜面よりなる。谷状斜面の底部は二つに分岐しており、左岸側がより明瞭である。</p> <p>0次谷については、谷の最上流部に位置し集水域が狭いこと、斜面勾配が急であること、現地踏査における斜面状況、露頭状況から、土石流発生予想深さ（平均侵食深）を0.5mとした。</p>																										

横断測線 現地調査結果

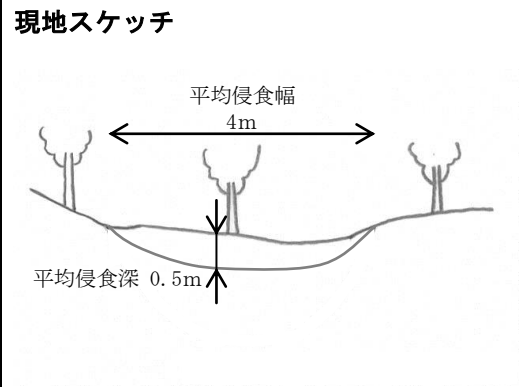
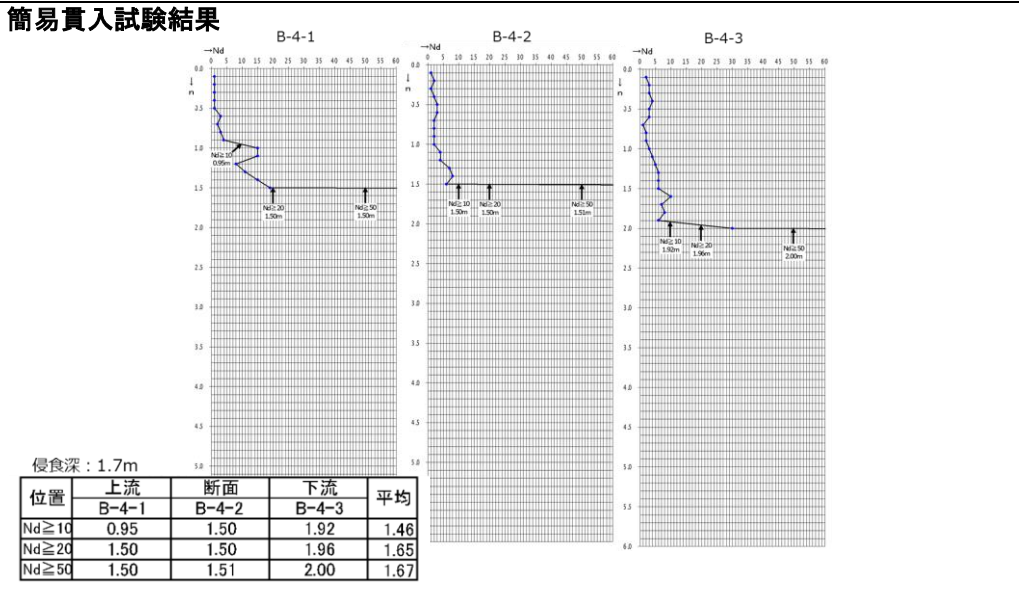


調査結果

両岸は急傾斜をなすが溪床は勾配が緩く、溪床幅も広く厚い堆積物が分布する。溪床にはガリーが形成され、堆積物が深くえぐられている。

1次谷及び2次谷については、現地踏査における斜面状況、露頭状況から、土石流発生予想深さ（平均侵食深）を求めた。

B-4



B-5

調査結果

断面位置は上方の緩傾斜部と、下方の急傾斜部との境界に位置する。表流水は認められない。

0次谷については、谷の最上流部に位置し集水域が狭いこと、斜面勾配が急であること、現地踏査における斜面状況、露頭状況から、土石流発生予想深さ（平均侵食深）を0.5mとした。

B-7

現地写真



現地スケッチ



調査結果

傾斜の急な浅い谷である。表流水や流路は認められない。
 0次谷については、谷の最上流部に位置し集水域が狭いこと、斜面勾配が急であること、現地踏査における斜面状況、露頭状況から、土石流発生予想深さ（平均侵食深）を0.5mとした。

B-8

現地写真

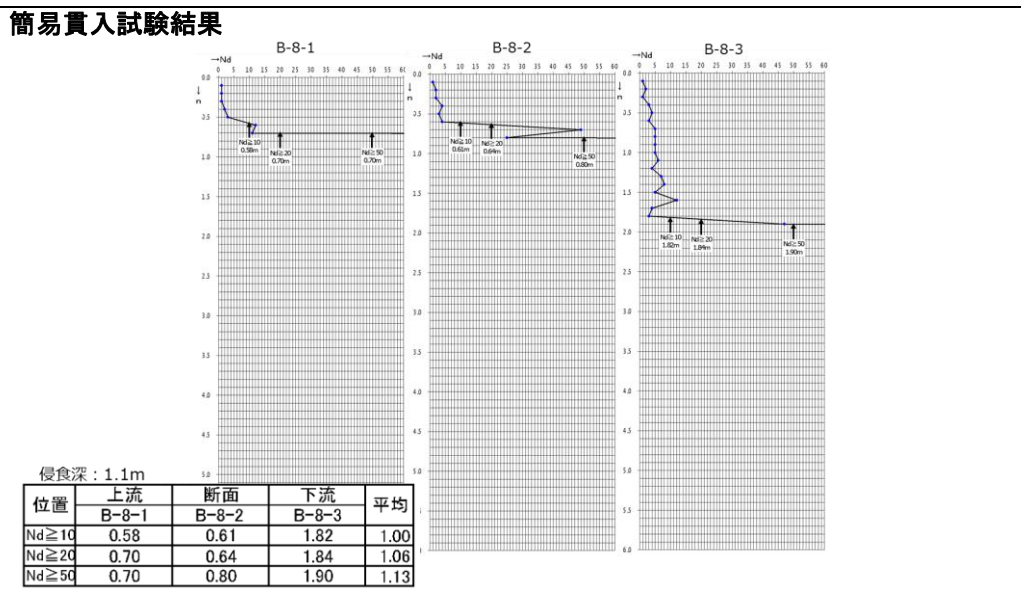


現地スケッチ



調査結果

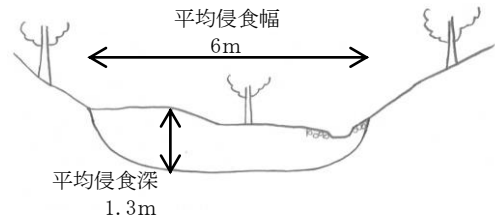
溪床幅は狭く、流路や溪岸に露岩が多く認められる。流路では露岩の上に礫が分布する。表流水が少量認められる。
 1次谷及び2次谷については、現地踏査における斜面状況、露頭状況から、土石流発生予想深さ（平均侵食深）を求めた。



現地写真



現地スケッチ



調査結果

流路沿いに古い蛇カゴが埋設されている。流路に表流水はなく、水たまりとなっている。右岸側に山道があり、流路付近よりもやや高くなっている。

1次谷及び2次谷については、現地踏査における斜面状況、露頭状況から、土石流発生予想深さ（平均侵食深）を求めた。

B-9

簡易貫入試験結果

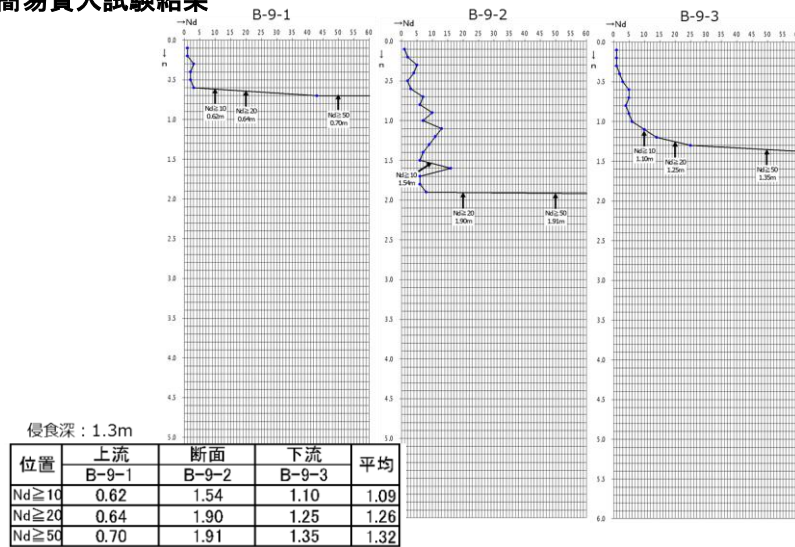


図-11 土石流危険溪流④の現地調査結果

[土石流危険溪流⑤]

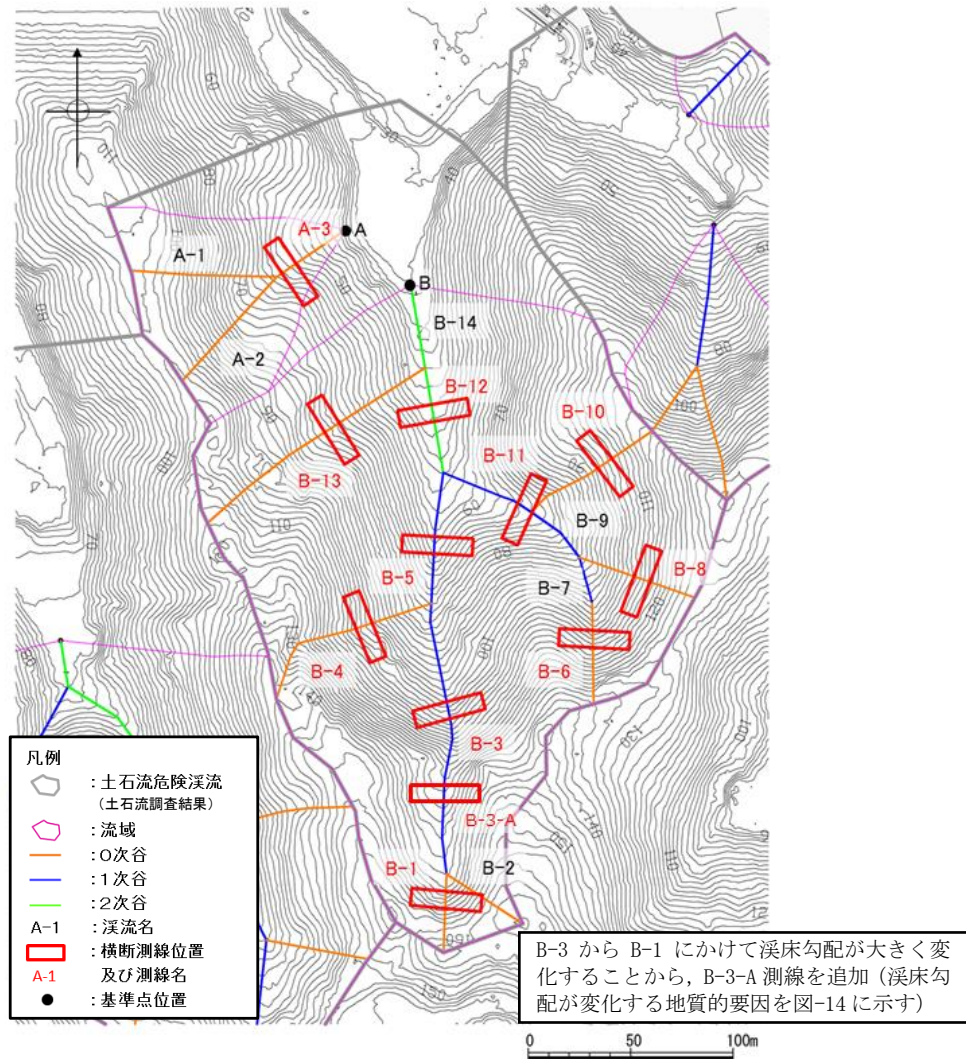


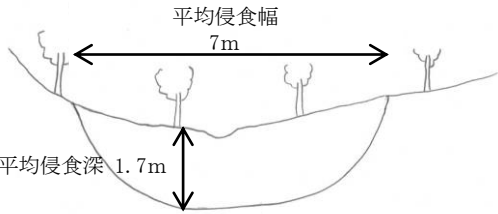
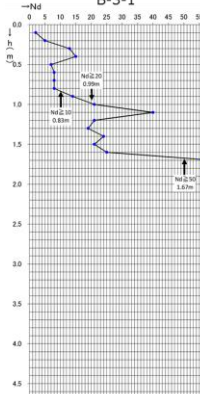
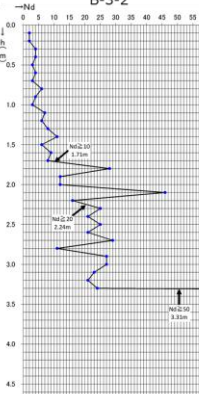
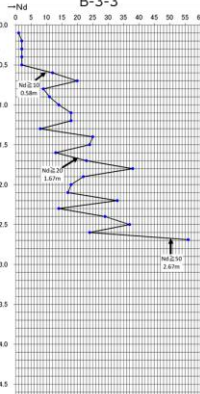

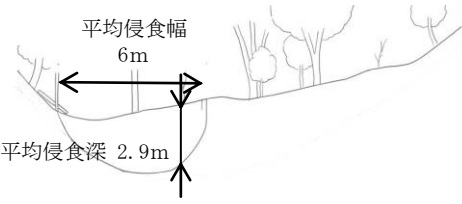
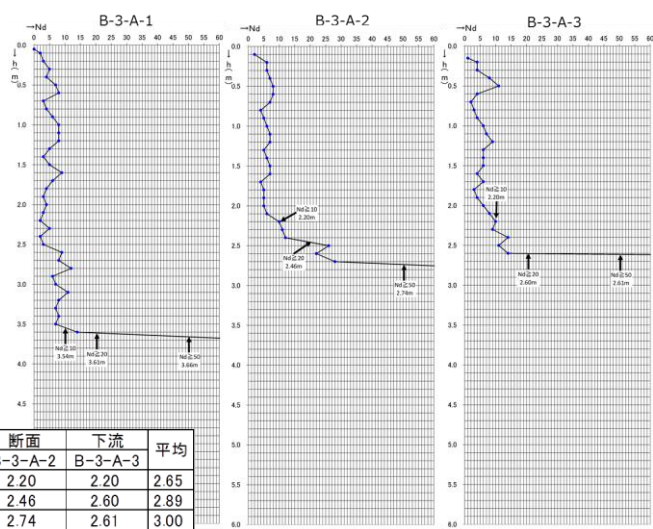

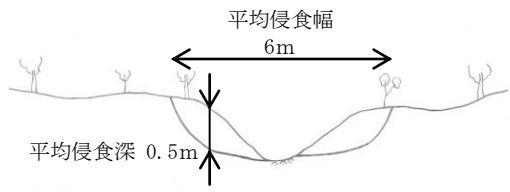


図-12 土石流危険溪流⑤の溪流横断測線位置図

横断測線	現地調査結果	
A-3	現地写真 	現地スケッチ <p>平均侵食幅 9m</p> <p>平均侵食深 0.5m</p>
	調査結果 渓床は幅広く、地表面には凹凸があり、堆積物はやや厚いと推定される。表流水は認められない。 0次谷については、谷の最上流部に位置し集水域が狭いこと、斜面勾配が急であること、現地踏査における斜面状況、露頭状況から、土石流発生予想深さ(平均侵食深)を0.5mとした。	

横断測線	現地調査結果																										
B-1	<p>現地写真</p> 	<p>現地スケッチ</p> 																									
	<p>調査結果</p> <p>谷には表流水は認められず，明瞭な溪床をなしてはいない。 0次谷については，谷の最上流部に位置し集水域が狭いこと，斜面勾配が急であること，現地踏査における斜面状況，露頭状況から，土石流発生予想深さ（平均侵食深）を0.5mとした。</p>																										
B-3	<p>現地写真</p> 	<p>現地スケッチ</p> 																									
	<p>調査結果</p> <p>小規模な流路があるが，水は流れていない。流路付近には苔が付いており，通常は水が流れていないと考えられる。斜面は右岸側が急であり，左岸側はやや緩くなっている。</p> <p>1次谷及び2次谷については，現地踏査における斜面状況，露頭状況から，土石流発生予想深さ（平均侵食深）を求めた。</p>																										
<p>簡易貫入試験結果</p> <div style="display: flex; justify-content: space-around;"> <div data-bbox="542 1500 758 1915"> <p>B-3-1</p>  </div> <div data-bbox="766 1500 981 1915"> <p>B-3-2</p>  </div> <div data-bbox="989 1500 1204 1915"> <p>B-3-3</p>  </div> </div> <p>侵食深：1.7m</p> <table border="1" data-bbox="367 1915 734 2016"> <thead> <tr> <th>位置</th> <th>上流</th> <th>断面</th> <th>下流</th> <th>平均</th> </tr> </thead> <tbody> <tr> <td></td> <td>B-3-1</td> <td>B-3-2</td> <td>B-3-3</td> <td></td> </tr> <tr> <td>Nd\geq10</td> <td>0.83</td> <td>1.71</td> <td>0.58</td> <td>1.04</td> </tr> <tr> <td>Nd\geq20</td> <td>0.99</td> <td>2.24</td> <td>1.67</td> <td>1.63</td> </tr> <tr> <td>Nd\geq50</td> <td>1.67</td> <td>3.31</td> <td>2.67</td> <td>2.55</td> </tr> </tbody> </table>			位置	上流	断面	下流	平均		B-3-1	B-3-2	B-3-3		Nd \geq 10	0.83	1.71	0.58	1.04	Nd \geq 20	0.99	2.24	1.67	1.63	Nd \geq 50	1.67	3.31	2.67	2.55
位置	上流	断面	下流	平均																							
	B-3-1	B-3-2	B-3-3																								
Nd \geq 10	0.83	1.71	0.58	1.04																							
Nd \geq 20	0.99	2.24	1.67	1.63																							
Nd \geq 50	1.67	3.31	2.67	2.55																							

横断測線	現地調査結果																										
	<p>現地写真</p> 	<p>現地スケッチ</p> 																									
	<p>調査結果</p> <p>B-3-A 断面付近は緩傾斜をなし、溪床には広く堆積物が分布する。両岸とも急傾斜で開いたU次谷をなす。</p> <p>1次谷及び2次谷については、現地踏査における斜面状況、露頭状況から、土石流発生予想深さ（平均侵食深）を求めた。</p>																										
B-3-A	<p>簡易貫入試験結果</p>  <table border="1" data-bbox="368 1243 726 1344"> <thead> <tr> <th>位置</th> <th>上流</th> <th>断面</th> <th>下流</th> <th>平均</th> </tr> </thead> <tbody> <tr> <td></td> <td>B-3-A-1</td> <td>B-3-A-2</td> <td>B-3-A-3</td> <td></td> </tr> <tr> <td>Nd\geq10</td> <td>3.54</td> <td>2.20</td> <td>2.20</td> <td>2.65</td> </tr> <tr> <td>Nd\geq20</td> <td>3.61</td> <td>2.46</td> <td>2.60</td> <td>2.89</td> </tr> <tr> <td>Nd\geq50</td> <td>3.66</td> <td>2.74</td> <td>2.61</td> <td>3.00</td> </tr> </tbody> </table> <p>侵食深：2.9m</p>		位置	上流	断面	下流	平均		B-3-A-1	B-3-A-2	B-3-A-3		Nd \geq 10	3.54	2.20	2.20	2.65	Nd \geq 20	3.61	2.46	2.60	2.89	Nd \geq 50	3.66	2.74	2.61	3.00
位置	上流	断面	下流	平均																							
	B-3-A-1	B-3-A-2	B-3-A-3																								
Nd \geq 10	3.54	2.20	2.20	2.65																							
Nd \geq 20	3.61	2.46	2.60	2.89																							
Nd \geq 50	3.66	2.74	2.61	3.00																							
B-4	<p>現地写真</p> 	<p>現地スケッチ</p> 																									
	<p>調査結果</p> <p>溪床中央はガリーであり、上下流の底部に露岩が多く認められる。両側には堆積物が分布し、小崩壊跡が認められる。</p> <p>0次谷については、谷の最上流部に位置し集水域が狭いこと、斜面勾配が急であること、現地踏査における斜面状況、露頭状況から、土石流発生予想深さ（平均侵食深）を0.5mとした。</p>																										

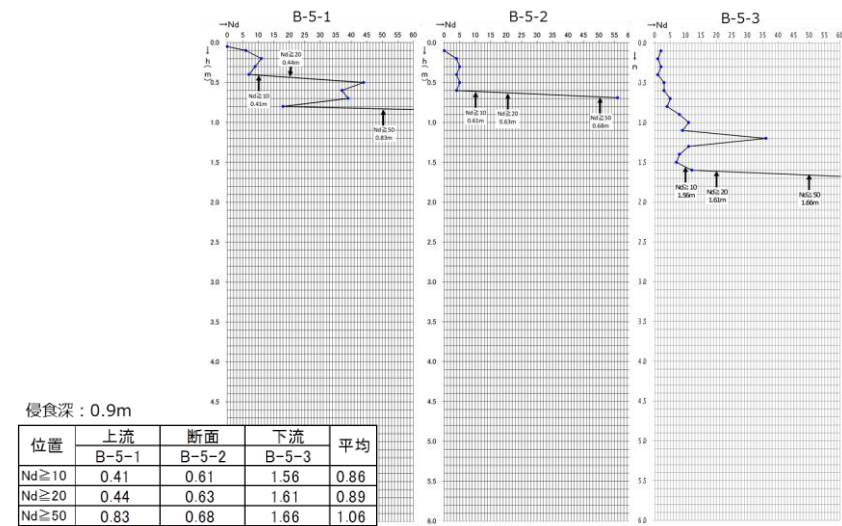
B-5	現地写真 	現地スケッチ 
-----	--	---

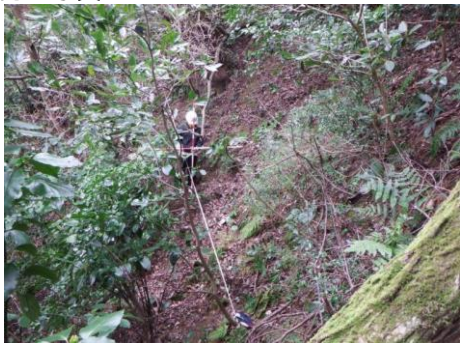
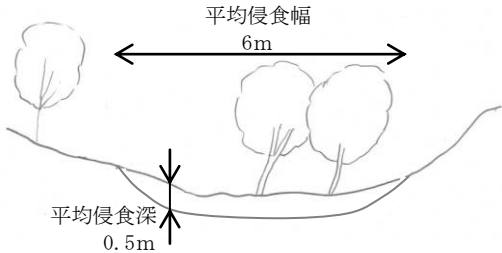
調査結果

B-3 渓流に比べて溪床幅が急に狭くなり、両岸も 45 度前後の急傾斜をなしているため、溪床のある V 字谷様をなす。B-5 渓流のほぼ全区間に深さ 1~2m の明瞭なガリーが形成されている。溪床には連続して堆積物が分布している。

1 次谷及び 2 次谷については、現地踏査における斜面状況、露頭状況から、土石流発生予想深さ（平均侵食深）を求めた。

簡易貫入試験結果


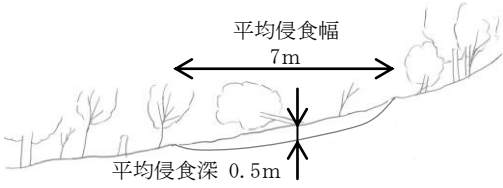

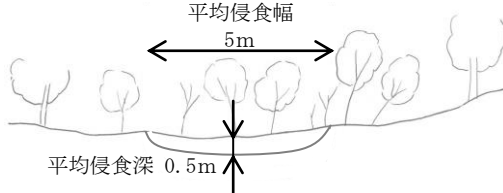


B-6	現地写真 	現地スケッチ 
-----	--	---

調査結果

急傾斜の開いた谷型斜面よりなる。

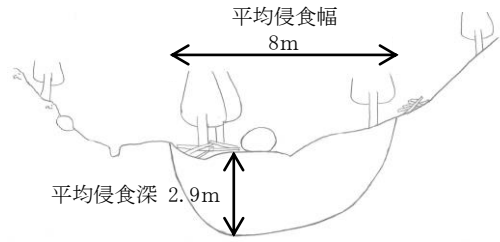
0 次谷については、谷の最上流部に位置し集水域が狭いこと、斜面勾配が急であること、現地踏査における斜面状況、露頭状況から、土石流発生予想深さ（平均侵食深）を 0.5m とした。

B-8	現地写真	現地スケッチ
		
調査結果		
<p>隣接するB-6 溪流と同様の性状を示す。急傾斜の開いた谷型斜面よりなる。 0次谷については、谷の最上流部に位置し集水域が狭いこと、斜面勾配が急であること、現地踏査における斜面状況、露頭状況から、土石流発生予想深さ（平均侵食深）を0.5mとした。</p>		
B-10	現地写真	現地スケッチ
		
調査結果		
<p>B-6, 8 溪流と類似した性状を示す。急傾斜の開いた谷型斜面よりなり、底部には下流から連続する堆積物が分布するよう見受けられる。 0次谷については、谷の最上流部に位置し集水域が狭いこと、斜面勾配が急であること、現地踏査における斜面状況、露頭状況から、土石流発生予想深さ（平均侵食深）を0.5mとした。</p>		

現地写真



現地スケッチ



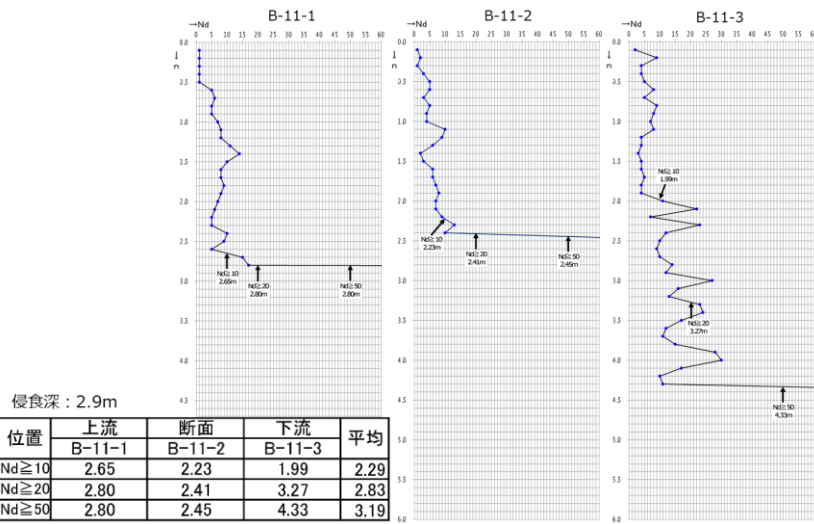
調査結果

3条の溪流が集まっているため溪床幅は10mを越え、溪床勾配も合流部付近から急に緩くなる。両岸は急傾斜をなすことから、溪床には厚い堆積物が分布していると予想される。溪床の中央付近には不明瞭な小ガリー地形が2条認められる。右岸側溪岸には露岩が認められる。

1次谷及び2次谷については、現地踏査における斜面状況、露頭状況から、土石流発生予想深さ（平均侵食深）を求めた。

B-11

簡易貫入試験結果



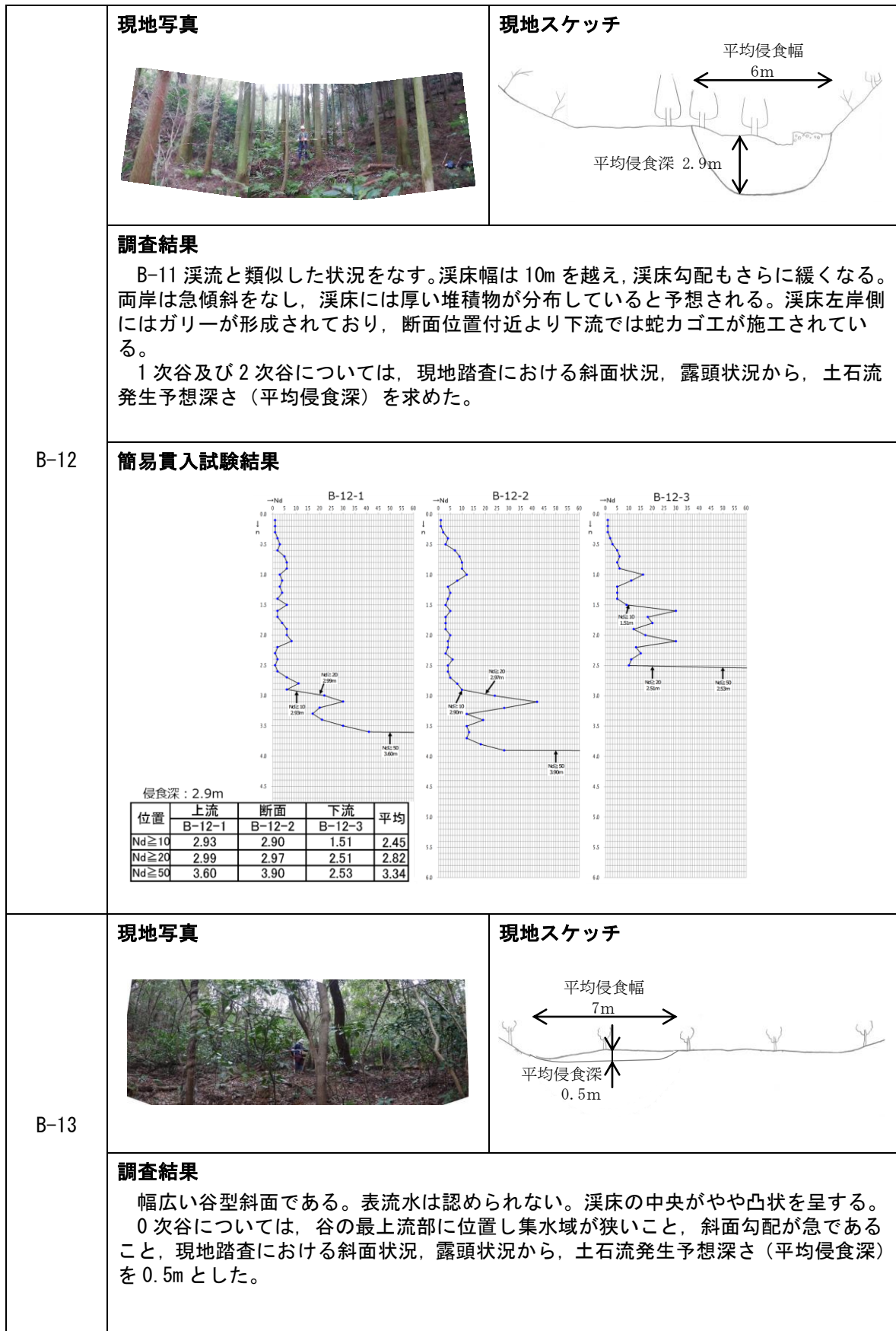
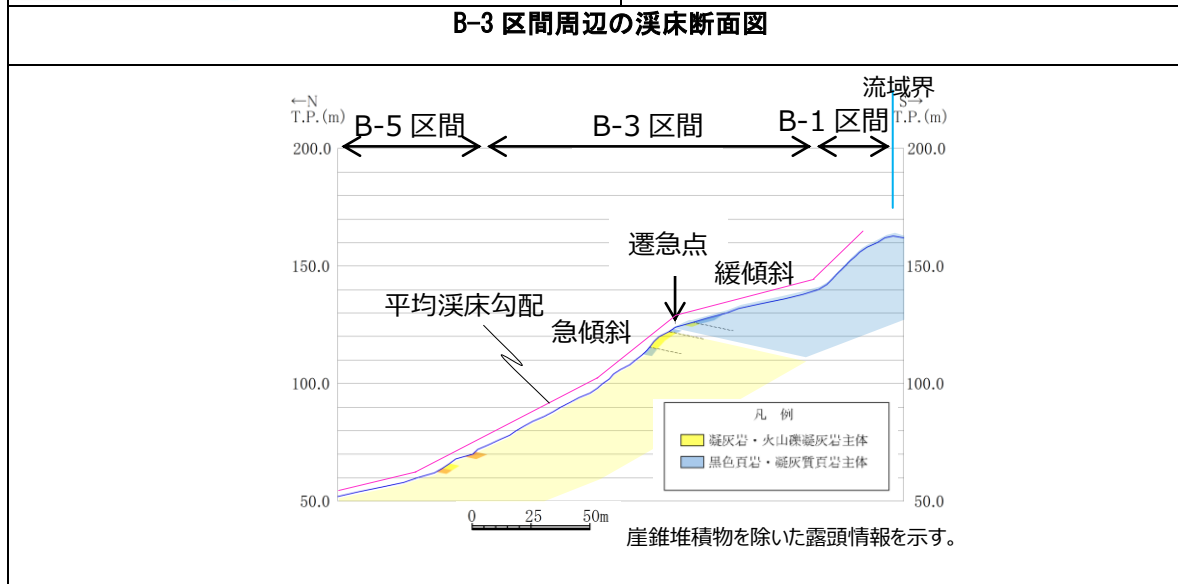
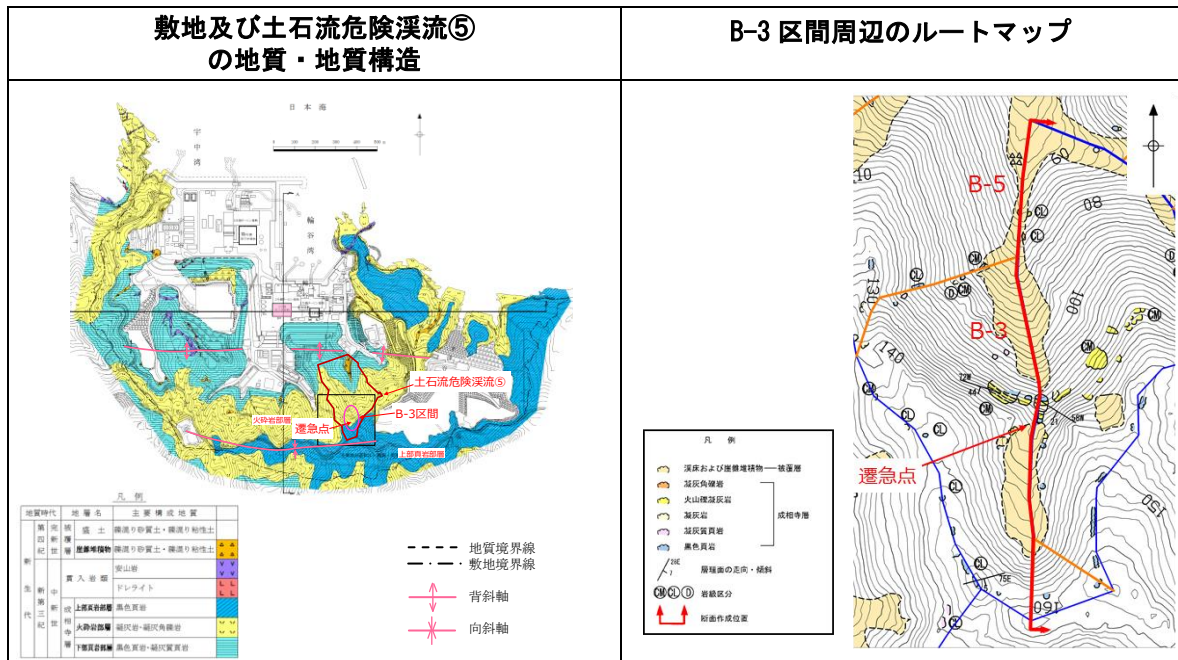


図-13 土石流危険渓流⑤の現地調査結果



考察

敷地の地質は、新第三紀中新世の堆積岩類から成る成相寺層と貫入岩類及びそれらを覆う第四紀の崖錐堆積物等から構成される。敷地の南方には、ほぼ東西方向の軸を持つ背斜構造が認められる。

土石流危険渓流⑤は背斜構造の南翼側に位置し、層理面が緩く南側に傾斜し、北向き斜面に対して受け盤構造を呈する。また B-3 区間には火砕岩部層と上部頁岩部層が分布し、遷急点はこれらの地層境界付近に位置する。

B-3 区間周辺の溪床縦断面図によれば、B-3 区間中流域付近において平均溪床勾配が緩傾斜から急傾斜に変わる遷急点が認められる。ルートマップによれば、遷急点より上流側は黒色頁岩主体、下流側は凝灰岩主体の地層をなし、それぞれ南傾斜の層理面を有し、北向き斜面に対して受け盤構造を呈する。

鈴木（2000）⁽²⁾によれば、成層岩の傾斜を反映した差別削剥地形の一つとして、受け盤構造で地層階段が生じるとされている。敷地内の地質では、黒色頁岩が凝灰岩に比べ削剥に対する抵抗性が高いために、差別削剥が生じた可能性が考えられる。

以上のことから、B-3 区間中流域に認められる急傾斜から緩傾斜になる地形の要因は、背斜構造南翼側の北向き斜面に分布する受け盤構造と地層の抵抗性の違いの組合せに基づく差別削剥地形が形成されたことに因ると考えられる。なお、敷地における他の土石流危険渓流では、このような差別削剥地形は認められない。

図-14 溪床勾配が急傾斜から緩傾斜となる地質的要因

[土石流危険溪流⑥]

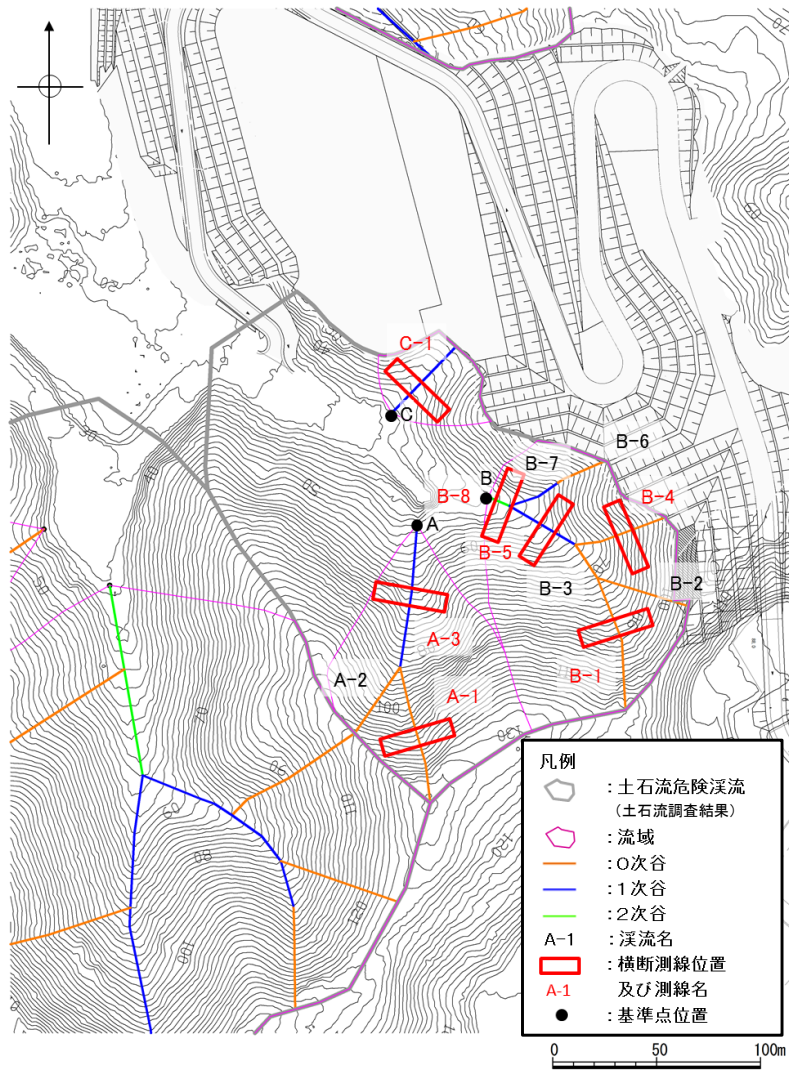
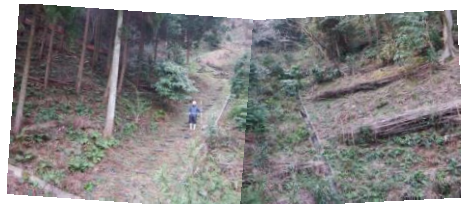
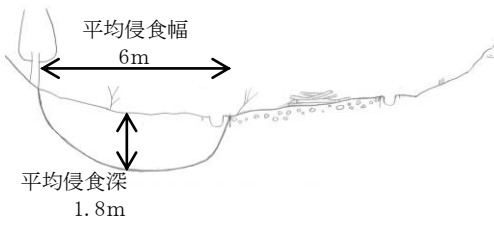
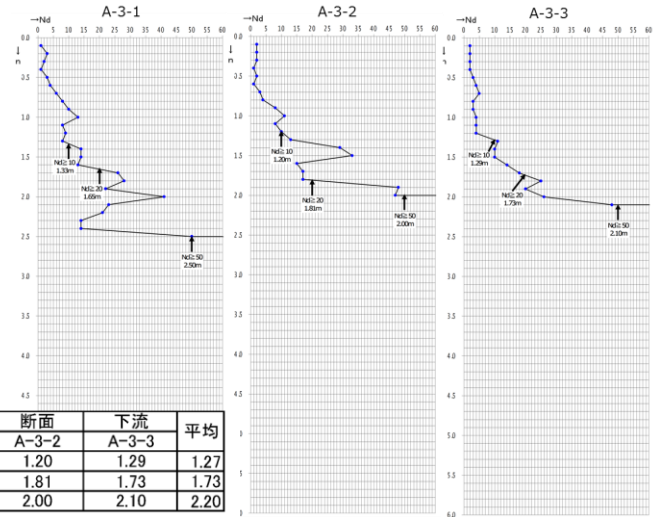

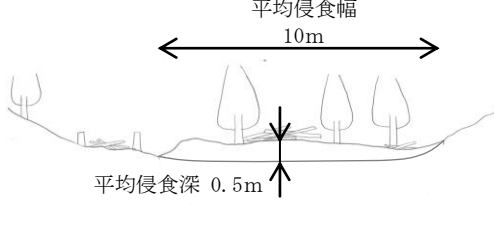

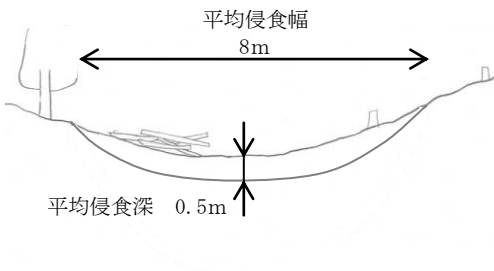

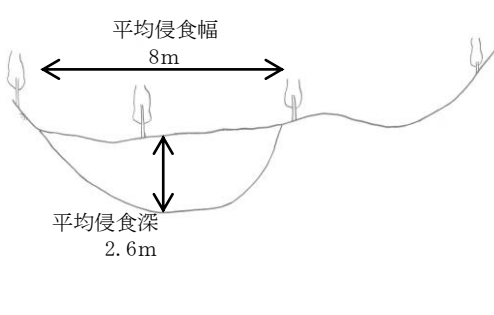
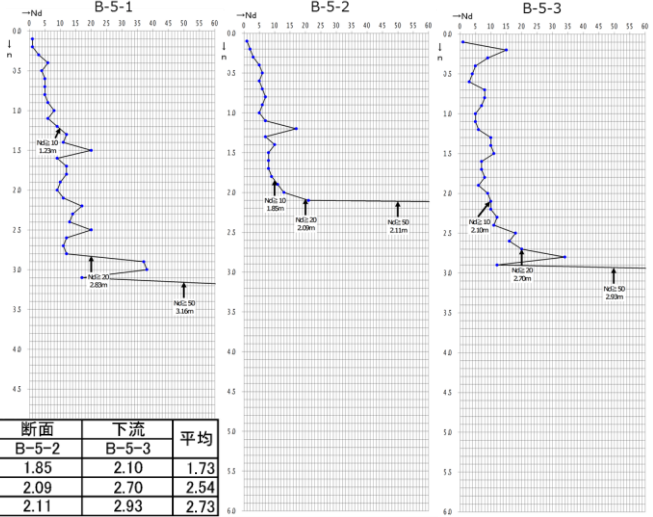


図-15 土石流危険溪流⑥の溪流横断測線位置図

横断測線	現地調査結果	
A-1	<p>現地写真</p> 	<p>現地スケッチ</p> 
	<p>調査結果</p> <p>急な谷頭斜面となっている。表流水は認められない。 0次谷については、谷の最上流部に位置し集水域が狭いこと、斜面勾配が急であること、現地踏査における斜面状況、露頭状況から、土石流発生予想深さ（平均侵食深）を0.5mとした。</p>	

横断測線	現地調査結果																										
A-3	<p>現地写真</p> 	<p>現地スケッチ</p> 																									
	<p>調査結果</p> <p>A 支流は直線的なほぼ 1 条の溪流である。A-3 溪流溪床部は人工改変され、左岸側はフトンカゴエと水路工が施工されている。右岸側も平滑に改変され、管理道が通っている。溪床は平滑で両岸は急傾斜であり、開いた箱状谷をなす。やや厚い堆積物が分布していると推測される。</p> <p>1 次谷及び 2 次谷については、現地踏査における斜面状況、露頭状況から、土石流発生予想深さ（平均侵食深）を求めた。</p>																										
A-3	<p>簡易貫入試験結果</p>  <p>侵食深：1.8m</p> <table border="1" data-bbox="375 1310 766 1422"> <thead> <tr> <th>位置</th> <th>上流</th> <th>断面</th> <th>下流</th> <th>平均</th> </tr> <tr> <td></td> <td>A-3-1</td> <td>A-3-2</td> <td>A-3-3</td> <td></td> </tr> </thead> <tbody> <tr> <td>Nd\geq10</td> <td>1.33</td> <td>1.20</td> <td>1.29</td> <td>1.27</td> </tr> <tr> <td>Nd\geq20</td> <td>1.65</td> <td>1.81</td> <td>1.73</td> <td>1.73</td> </tr> <tr> <td>Nd\geq50</td> <td>2.50</td> <td>2.00</td> <td>2.10</td> <td>2.20</td> </tr> </tbody> </table>		位置	上流	断面	下流	平均		A-3-1	A-3-2	A-3-3		Nd \geq 10	1.33	1.20	1.29	1.27	Nd \geq 20	1.65	1.81	1.73	1.73	Nd \geq 50	2.50	2.00	2.10	2.20
	位置	上流	断面	下流	平均																						
	A-3-1	A-3-2	A-3-3																								
Nd \geq 10	1.33	1.20	1.29	1.27																							
Nd \geq 20	1.65	1.81	1.73	1.73																							
Nd \geq 50	2.50	2.00	2.10	2.20																							
B-1	<p>現地写真</p> 	<p>現地スケッチ</p> 																									
	<p>調査結果</p> <p>断面位置付近は谷地形を呈し、溪床の幅は 10m 以上と広い。両岸は急傾斜で、大きく開いた U 字谷をなす。断面位置直上は谷型斜面からなる。</p> <p>0 次谷については、谷の最上流部に位置し集水域が狭いこと、斜面勾配が急であること、現地踏査における斜面状況、露頭状況から、土石流発生予想深さ（平均侵食深）を 0.5m とした。</p>																										

横断測線	現地調査結果																										
B-4	現地写真 	現地スケッチ 																									
	調査結果 傾斜 45 度以上の急傾斜の谷型斜面をなす。 0 次谷については、谷の最上流部に位置し集水域が狭いこと、斜面勾配が急であること、現地踏査における斜面状況、露頭状況から、土石流発生予想深さ（平均侵食深）を 0.5m とした。																										
B-5	現地写真 	現地スケッチ 																									
	調査結果 溪床はやや幅広く、堆積物が厚いと推定される。両側が低くなっているが、表流水は認められない。 1 次谷及び 2 次谷については、現地踏査における斜面状況、露頭状況から、土石流発生予想深さ（平均侵食深）を求めた。																										
B-5	簡易貫入試験結果  侵食深：2.6m <table border="1" data-bbox="375 1915 758 2027"> <thead> <tr> <th>位置</th> <th>上流</th> <th>断面</th> <th>下流</th> <th>平均</th> </tr> </thead> <tbody> <tr> <td></td> <td>B-5-1</td> <td>B-5-2</td> <td>B-5-3</td> <td></td> </tr> <tr> <td>Nd ≥ 10</td> <td>1.23</td> <td>1.85</td> <td>2.10</td> <td>1.73</td> </tr> <tr> <td>Nd ≥ 20</td> <td>2.83</td> <td>2.09</td> <td>2.70</td> <td>2.54</td> </tr> <tr> <td>Nd ≥ 50</td> <td>3.16</td> <td>2.11</td> <td>2.93</td> <td>2.73</td> </tr> </tbody> </table>		位置	上流	断面	下流	平均		B-5-1	B-5-2	B-5-3		Nd ≥ 10	1.23	1.85	2.10	1.73	Nd ≥ 20	2.83	2.09	2.70	2.54	Nd ≥ 50	3.16	2.11	2.93	2.73
位置	上流	断面	下流	平均																							
	B-5-1	B-5-2	B-5-3																								
Nd ≥ 10	1.23	1.85	2.10	1.73																							
Nd ≥ 20	2.83	2.09	2.70	2.54																							
Nd ≥ 50	3.16	2.11	2.93	2.73																							

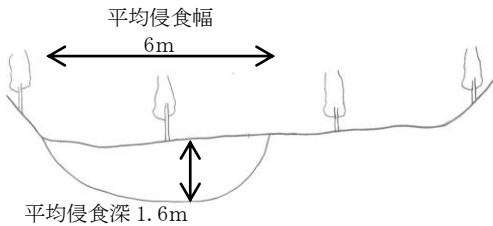
横断測線

現地調査結果

現地写真



現地スケッチ

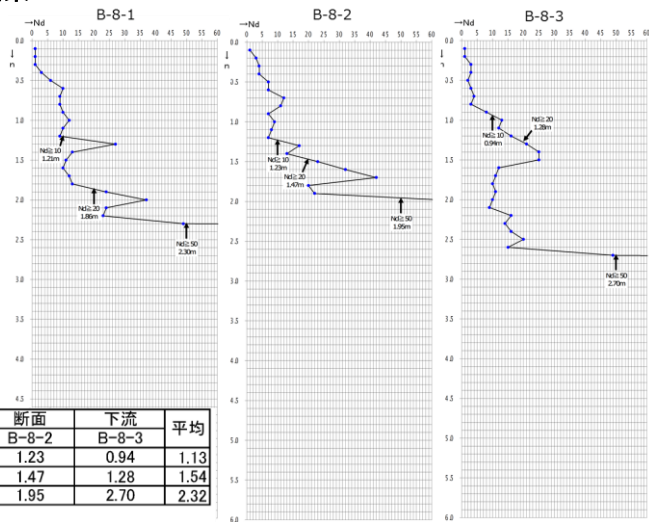


調査結果

溪床は10m程度の幅があり、堆積物が厚いと推定される。表流水は認められない。
1次谷及び2次谷については、現地踏査における斜面状況、露頭状況から、土石流発生予想深さ（平均侵食深）を求めた。

B-8

簡易貫入試験結果



侵食深：1.6m

位置	上流	断面	下流	平均
	B-8-1	B-8-2	B-8-3	
Nd \geq 10	1.21	1.23	0.94	1.13
Nd \geq 20	1.86	1.47	1.28	1.54
Nd \geq 50	2.30	1.95	2.70	2.32

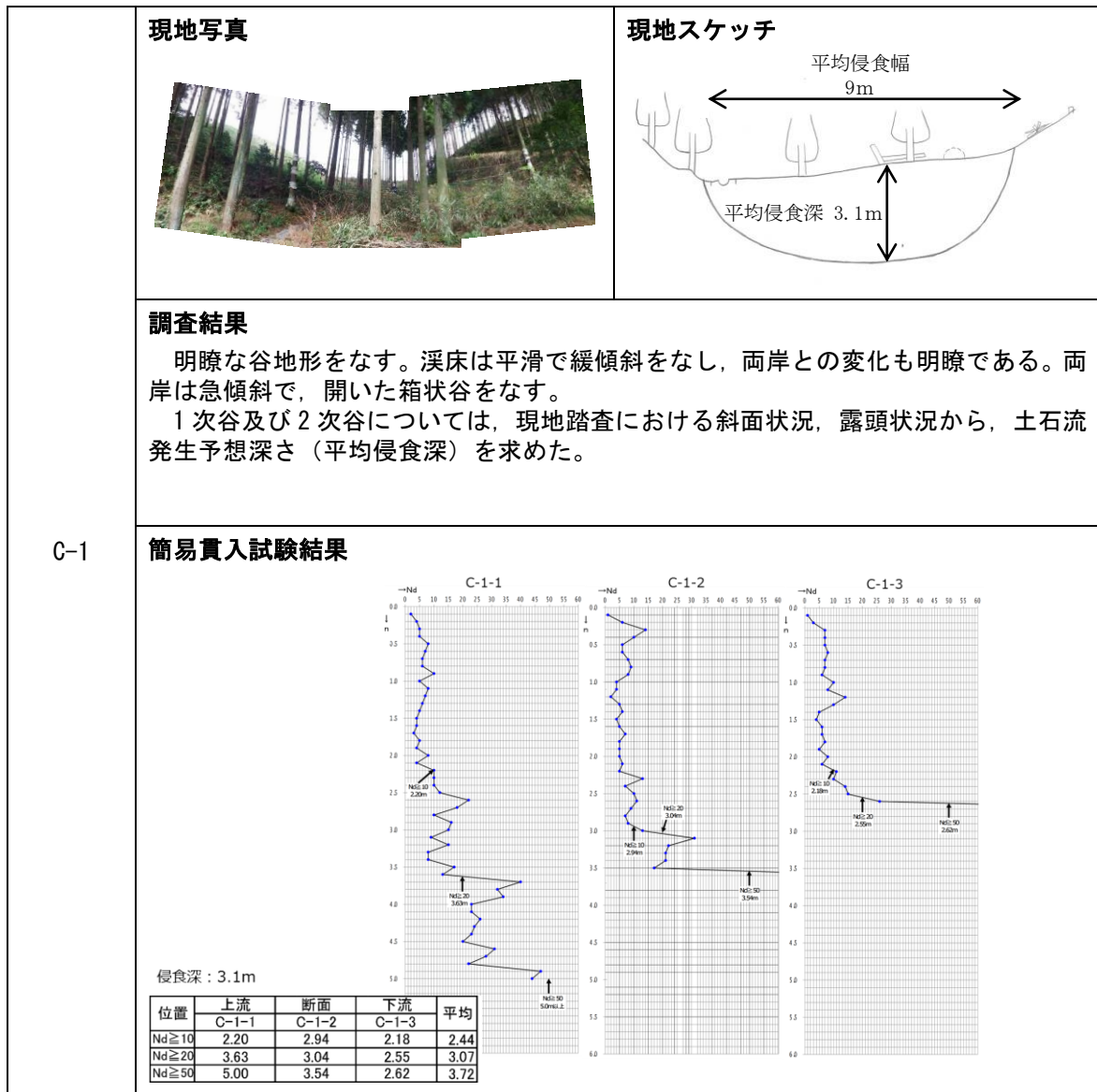


図-16 土石流危険溪流⑥の現地調査結果

[土石流危険溪流⑦]

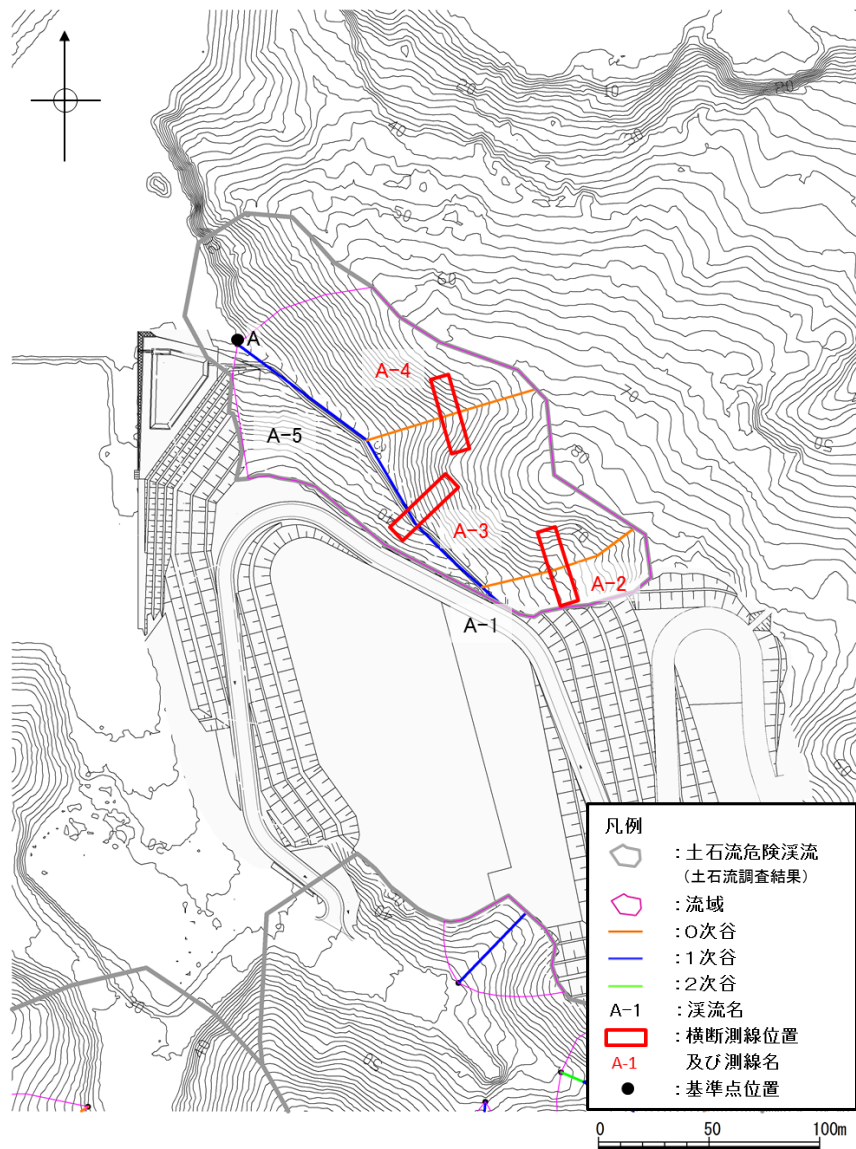

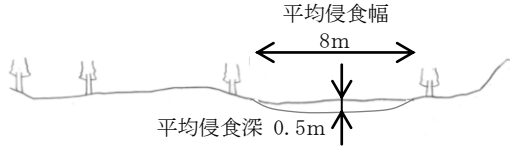


図-17 土石流危険溪流⑦の溪流横断測線位置図

横断測線	現地調査結果	
A-2	<p>現地写真</p> 	<p>現地スケッチ</p> 
	<p>調査結果</p> <p>幅の広い浅い谷である。南側の斜面は切土のり面となっている。溪床の片側が低くなっており、豪雨時には低い方が侵食されやすい。</p> <p>0次谷については、谷の最上流部に位置し集水域が狭いこと、斜面勾配が急であること、現地踏査における斜面状況、露頭状況から、土石流発生予想深さ（平均侵食深）を0.5mとした。</p>	


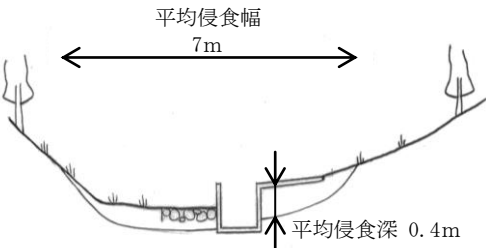
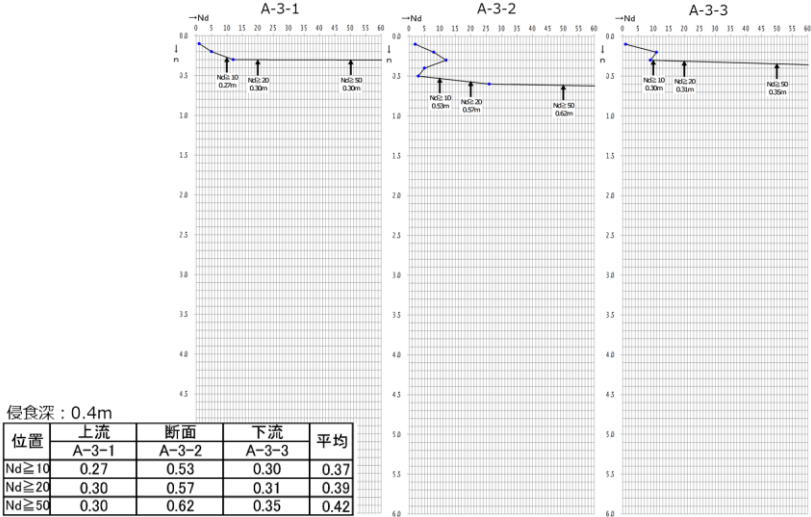
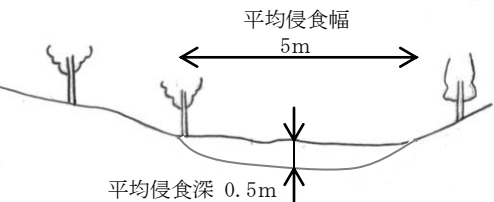
横断測線	現地調査結果																										
A-3	<p>現地写真</p> 	<p>現地スケッチ</p> 																									
	<p>調査結果</p> <p>水路はコンクリートであり、両側の溪床もコンクリート張り、蛇カゴ、埋戻し土であり、溪床は完全に人工改変されている。埋戻し土は、ボールの先端が入らない程度に硬質である。</p> <p>1次谷及び2次谷については、現地踏査における斜面状況、露頭状況から、土石流発生予想深さ（平均侵食深）を求めた。</p>																										
A-4	<p>簡易貫入試験結果</p>  <p>侵食深：0.4m</p> <table border="1" data-bbox="387 1317 738 1417"> <thead> <tr> <th>位置</th> <th>上流</th> <th>断面</th> <th>下流</th> <th>平均</th> </tr> </thead> <tbody> <tr> <td></td> <td>A-3-1</td> <td>A-3-2</td> <td>A-3-3</td> <td></td> </tr> <tr> <td>Nd ≧ 10</td> <td>0.27</td> <td>0.53</td> <td>0.30</td> <td>0.37</td> </tr> <tr> <td>Nd ≧ 20</td> <td>0.30</td> <td>0.57</td> <td>0.31</td> <td>0.39</td> </tr> <tr> <td>Nd ≧ 50</td> <td>0.30</td> <td>0.62</td> <td>0.35</td> <td>0.42</td> </tr> </tbody> </table>	位置	上流	断面	下流	平均		A-3-1	A-3-2	A-3-3		Nd ≧ 10	0.27	0.53	0.30	0.37	Nd ≧ 20	0.30	0.57	0.31	0.39	Nd ≧ 50	0.30	0.62	0.35	0.42	<p>現地スケッチ</p> 
	位置	上流	断面	下流	平均																						
	A-3-1	A-3-2	A-3-3																								
Nd ≧ 10	0.27	0.53	0.30	0.37																							
Nd ≧ 20	0.30	0.57	0.31	0.39																							
Nd ≧ 50	0.30	0.62	0.35	0.42																							
<p>調査結果</p> <p>小規模な谷であり、表流水は認められない。溪床沿いに管理道が通っている。</p> <p>0次谷については、谷の最上流部に位置し集水域が狭いこと、斜面勾配が急であること、現地踏査における斜面状況、露頭状況から、土石流発生予想深さ（平均侵食深）を0.5mとした。</p>																											

図-18 土石流危険溪流⑦の現地調査結果

表-1 土石流危険渓流①の移動可能土砂量

測点		延長 (m)	侵食幅 B _d (m)	侵食深 D _e (m)	侵食可能 断面積 (m ²)	土砂量 (m ³)	移動可能 土砂量 (m ³)
渓流①基準点 A	A-1	83	5.0	0.5	2.50	207.50	2,560
	A-2	71	10.0	3.3	33.00	2,343.00	
渓流①基準点 B	B-1	54	※ 5.0	※ 0.5	2.50	135.00	3,030
	B-2	56	5.0	0.5	2.50	140.00	
	B-3	70	6.0	1.9	11.40	798.00	
	B-4	98	5.0	0.5	2.50	245.00	
	B-5	101	6.0	0.5	3.00	303.00	
	B-6	46	8.0	2.9	23.20	1,067.20	
	B-7	62	5.0	1.1	5.50	341.00	
渓流①基準点 C	C-1	94	5.0	0.5	2.50	235.00	1,530
	C-2	85	5.0	0.5	2.50	212.50	
	C-3	40	※ 5.0	※ 0.5	2.50	100.00	
	C-4	27	※ 7.0	※ 2.0	14.00	378.00	
	C-5	20	7.0	2.0	14.00	280.00	
	C-6	23	※ 7.0	※ 2.0	14.00	322.00	
渓流①基準点 D	D-1	74	9.0	0.5	4.50	333.00	1,320
	D-2	91	6.0	1.8	10.80	982.80	

土砂量の算出方法：土砂量は、渓床の土砂分布形状を保守的に直方体に近似した以下の式から求めた（表-2～表-7 も同様）。

$$\text{土砂量(m}^3\text{)} = \text{延長(m)} \times \text{侵食可能断面積(m}^2\text{)}$$

ここに、

$$\text{侵食可能断面積(m}^2\text{)} = \text{侵食幅(m)} \times \text{侵食深(m)}$$

※B-1 は B-2, C-3 は C-2, C-4 及び C-6 は C-5 を参考に侵食幅及び侵食深を推定

表-2 土石流危険渓流②の移動可能土砂量

測点		延長 (m)	侵食幅 B _d (m)	侵食深 D _e (m)	侵食可能 断面積 (m ²)	土砂量 (m ³)	移動可能 土砂量 (m ³)
渓流②基準点 A	A-1	69	8.0	0.5	4.00	276.00	5,930
	A-2	72	6.0	0.5	3.00	216.00	
	A-3	131	7.0	0.5	3.50	458.50	
	A-4	16	※ 8.0	※ 1.8	14.40	230.40	
	A-5	48	8.0	1.8	14.40	691.20	
	A-6	42	6.0	0.5	3.00	126.00	
	A-7	66	5.0	1.2	6.00	396.00	
	A-8	127	※ 6.0	※ 0.5	3.00	381.00	
	A-9	38	※ 5.0	※ 1.2	6.00	228.00	
	A-10	97	6.0	0.5	3.00	291.00	
	A-11	84	6.0	0.5	3.00	252.00	
	A-12	85	6.0	0.5	3.00	255.00	
	A-13	40	12.0	3.0	36.00	1,440.00	
	A-14	48	※ 6.0	※ 1.3	7.80	374.40	
	A-15	40	6.0	1.3	7.80	312.00	

※A-4 は A-5, A-8 は A-6, A-9 は A-7, A-14 は A-15 を参考に侵食幅及び侵食深を推定

表-3 土石流危険渓流③の移動可能土砂量

測点		延長 (m)	侵食幅 B _d (m)	侵食深 D _e (m)	侵食可能 断面積 (m ²)	土砂量 (m ³)	移動可能 土砂量 (m ³)
渓流③基準点 A	A-1	80	6.0	0.5	3.00	240.00	1,880
	A-2	67	※ 5.0	※ 1.0	5.00	335.00	
	A-3	120	6.0	0.5	3.00	360.00	
	A-4	86	6.0	0.5	3.00	258.00	
	A-5	136	5.0	1.0	5.00	680.00	

※A-2 は A-5 を参考に侵食幅及び侵食深を推定

表-4 土石流危険渓流④の移動可能土砂量

測点		延長 (m)	侵食幅 B _d (m)	侵食深 D _e (m)	侵食可能 断面積 (m ²)	土砂量 (m ³)	移動可能 土砂量 (m ³)
渓流④基準点 B	A-1	54	5.0	0.5	2.50	135.00	3,810
	A-2	93	6.0	1.1	6.60	613.80	
	B-1	42	※ 6.0	※ 0.5	3.00	126.00	
	B-2	44	※ 7.0	※ 1.7	11.90	523.60	
	B-3	51	6.0	0.5	3.00	153.00	
	B-4	63	7.0	1.7	11.90	749.70	
	B-5	80	4.0	0.5	2.00	160.00	
	B-6	19	※ 7.0	※ 1.7	11.90	226.10	
	B-7	67	5.0	0.5	2.50	167.50	
	B-8	50	3.0	1.1	3.30	165.00	
B-9	101	6.0	1.3	7.80	787.80		

※B-1 は B-3, B-2 及び B-6 は B-4 を参考に侵食幅及び侵食深を推定

表-5 土石流危険渓流⑤の移動可能土砂量

測点		延長 (m)	侵食幅 B _d (m)	侵食深 D _e (m)	侵食可能 断面積 (m ²)	土砂量 (m ³)	移動可能 土砂量 (m ³)
渓流⑤基準点A	A-1	72	※ 9.0	※ 0.5	4.50	324.00	820
	A-2	69	※ 9.0	※ 0.5	4.50	310.50	
	A-3	41	9.0	0.5	4.50	184.50	
渓流⑤基準点B	B-1	38	8.0	0.5	4.00	152.00	7,840
	B-2	44	※ 8.0	※ 0.5	4.00	176.00	
	B-3	80	7.0	1.7	11.90	952.00	
	B-3-A	54	6.0	2.9	17.40	939.60	
	B-4	97	6.0	0.5	3.00	291.00	
	B-5	64	6.0	0.9	5.40	345.60	
	B-6	50	6.0	0.5	3.00	150.00	
	B-7	22	※ 8.0	※ 2.9	23.20	510.40	
	B-8	60	7.0	0.5	3.50	210.00	
	B-9	33	※ 8.0	※ 2.9	23.20	765.60	
	B-10	72	5.0	0.5	2.50	180.00	
B-11	47	8.0	2.9	23.20	1090.40		
B-12	52	6.0	2.9	17.40	904.80		
B-13	131	7.0	0.5	3.50	458.50		
B-14	41	※ 6.0	※ 2.9	17.40	713.40		

※A-1 及び A-2 は A-3, B-2 は B-1, B-7 及び B-9 は B-11, B-14 は B-12 を参考に侵食幅及び侵食深を推定

表-6 土石流危険渓流⑥の移動可能土砂量

測点		延長 (m)	侵食幅 B _d (m)	侵食深 D _e (m)	侵食可能 断面積 (m ²)	土砂量 (m ³)	移動可能 土砂量 (m ³)
渓流⑥基準点 A	A-1	67	6.0	0.5	3.00	201.00	1,070
	A-2	38	※ 6.0	※ 0.5	3.00	114.00	
	A-3	69	6.0	1.8	10.80	745.20	
渓流⑥基準点 B	B-1	66	10.0	0.5	5.00	330.00	2,050
	B-2	46	※ 10.0	※ 0.5	5.00	230.00	
	B-3	19	※ 8.0	※ 0.5	4.00	76.00	
	B-4	46	8.0	0.5	4.00	184.00	
	B-5	37	8.0	2.6	20.80	769.60	
	B-6	25	※ 8.0	※ 0.5	4.00	100.00	
	B-7	26	※ 6.0	※ 1.6	9.60	249.60	
	B-8	11	6.0	1.6	9.60	105.60	
渓流⑥基準点 C	C-1	45	9.0	3.1	27.90	1,255.50	1,260

※A-2 は A-1, B-2 は B-1, B-3 及び B-6 は B-4, B-7 は B-8 を参考に侵食幅及び侵食深を推定

表-7 土石流危険渓流⑦の移動可能土砂量

測点		延長 (m)	侵食幅 B _d (m)	侵食深 D _e (m)	侵食可能 断面積 (m ²)	土砂量 (m ³)	移動可能 土砂量 (m ³)
渓流⑦基準点 A	A-1	12	※ 7.0	※ 0.4	2.80	33.60	980
	A-2	75	8.0	0.5	4.00	300.00	
	A-3	85	7.0	0.4	2.80	238.00	
	A-4	80	5.0	0.5	2.50	200.00	
	A-5	73	※ 7.0	※ 0.4	2.80	204.40	

※A-1 及び A-5 は A-3 を参考に侵食幅及び侵食深を推定

参考文献

- (1) 小山内信智・内田太郎・曾我部匡敏・寺田秀樹・近藤浩一 (2005) : 簡易貫入試験を用いた崩壊恐れのある層厚推定に関する研究, 国土技術政策総合研究所資料, 第 261 号
- (2) 鈴木隆介 (2000) : 建設技術者のための地形図読図入門, 第 3 巻 段丘・丘陵・山地, 古今書院, p. 751-776, p. 811-848, p. 867-909

島根県調査結果との比較

島根県は平成13年に土石流危険渓流の現地調査（以下「島根県調査結果」）を実施している。

現地調査結果と島根県調査結果の比較の詳細を図-1～図-5に示す。なお、島根県は土石流危険渓流①及び土石流危険渓流②の調査を実施していない。

[土石流危険溪流③付近]

		島根県	現地調査
調査位置図		<p>凡例 〃 : 溪流 〃 : 島根県の横断測線及び測線名 I-1</p>	<p>凡例 〃 : 土石流危険溪流 (土石流調査結果) 〃 : 流域 〃 : 0次谷 〃 : 1次谷 〃 : 2次谷 〃 : 深溝名 〃 : 横断測線位置及び測線名 〃 : 基準点位置</p>
		<p>島根県 (I-1)</p>	<p>現地調査 (横断測線 A-5)</p>
現地写真・スケッチ			
備考		<p>幅 : 3m 深さ : 1.5m 断面積 : 4.5 m²</p>	<p>平均侵食幅 : 5m 平均侵食深 : 1.0m 侵食可能断面積 : 5 m²</p>
相違点	<p>・島根県調査結果と比較し、現地調査結果の侵食幅は大きく、侵食深は小さいが侵食可能断面積はほぼ同等である。</p> <p>・現地調査結果の侵食深は簡易貫入試験結果を踏まえて推定している。</p>		

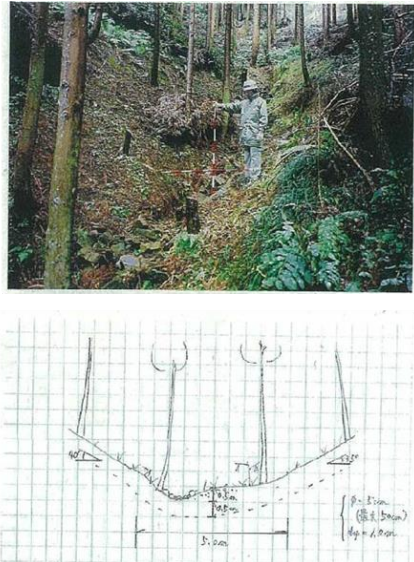
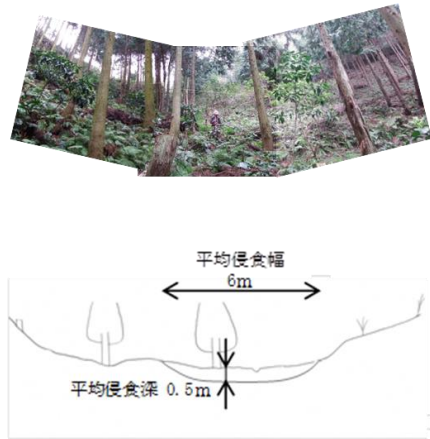
	島根県 (I-2)	現地調査 (横断測線A-1)
現地写真・スケッチ		
備考	幅 : 5m 深さ : 1.0m 断面積 : 4.5 m ²	平均侵食幅 : 6m 平均侵食深 : 0.5m 侵食可能断面積 : 3 m ²
相違点	<ul style="list-style-type: none"> ・島根県調査結果と比較し、現地調査結果の侵食幅は大きい。 ・現地調査の横断測線は上流側の不明瞭な谷地形 (0次谷) であるため、侵食深が小さい。 	

図-1 島根県調査結果との比較 (土石流危険溪流③)

[土石流危険溪流④付近]

	島根県	現地調査
調査位置図	<p>凡例 — : 溪流 I-1 : 島根県の横断測線及び測線名</p>	<p>凡例 ○ : 土石流危険渓流 (土石流調査結果) — : 流域 — : 0次谷 — : 1次谷 — : 2次谷 ● : 渓流名 A-1 : 横断測線位置及び測線名 ● : 基準点位置</p>
現地写真・スケッチ		
備考	幅 : 8m 深さ : 1.5m 侵食可能断面積 : 12 m ²	平均侵食幅 : 6m 平均侵食深 : 1.3m 侵食可能断面積 : 7.8 m ²
相違点	・島根県調査結果と比較し、渓床全体を土石流が流れることはない判断したことから、現地調査結果の侵食幅は小さい。 ・現地調査結果の侵食深は簡易貫入試験結果を踏まえて推定している。	

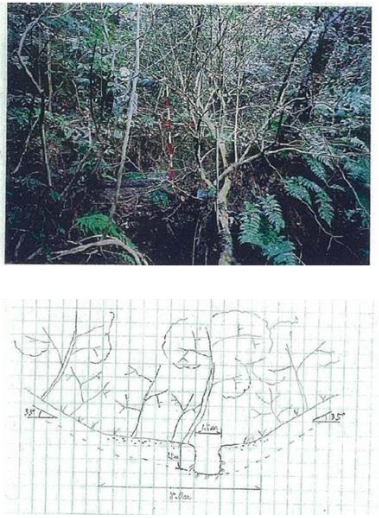
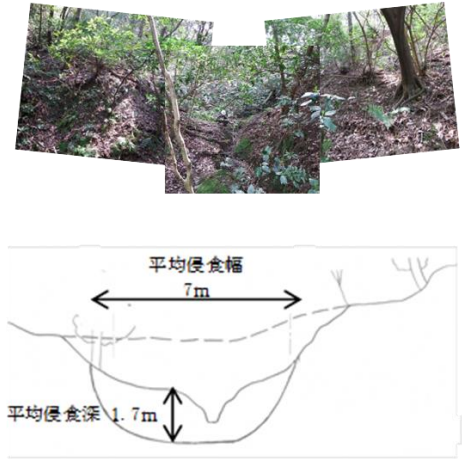
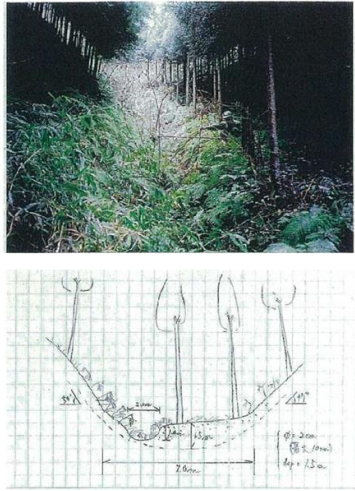
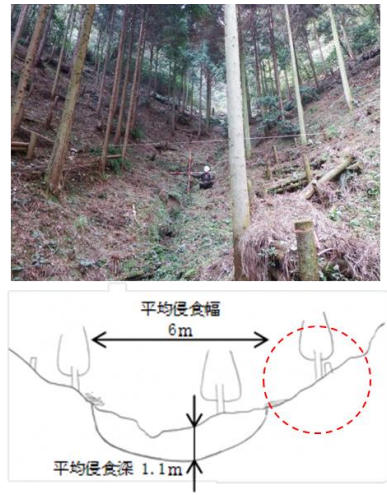
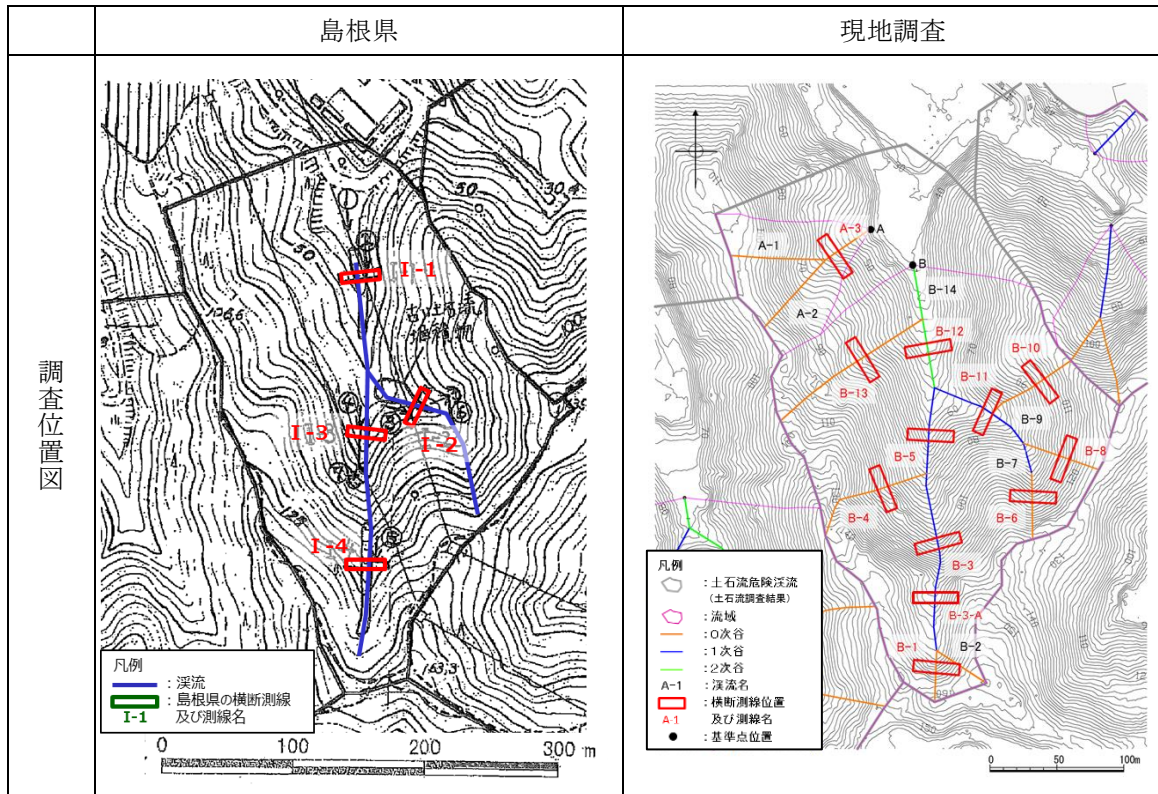
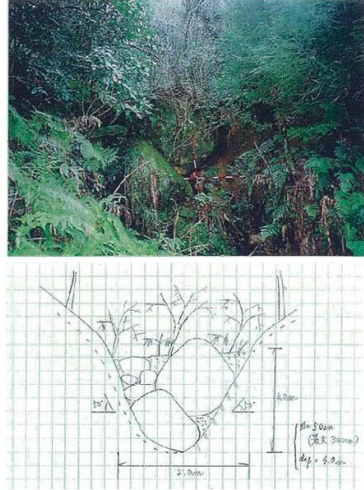
	島根県 (I-2)	現地調査 (横断測線B-4)
現地写真・スケッチ		
備考	幅 : 8m 深さ : 1.5m 侵食可能断面積 : 12 m ²	平均侵食幅 : 7m 平均侵食深 : 1.7m 侵食可能断面積 : 11.9 m ²
相違点	<ul style="list-style-type: none"> ・島根県調査結果と比較し、現地調査結果の侵食幅は小さく、侵食深は大きい、侵食可能断面積はほぼ同じである。 ・現地調査結果の侵食深は簡易貫入試験結果を踏まえて推定している。 	
	島根県 (I-3)	現地調査 (横断測線A-2)
現地写真・スケッチ		
備考	幅 : 9m 深さ : 1.5m 侵食可能断面積 : 13.5 m ²	平均侵食幅 : 6m 平均侵食深 : 1.1m 侵食可能断面積 : 6.6 m ²
相違点	<ul style="list-style-type: none"> ・島根県調査結果と比較し、現地調査結果においては、左岸斜面が急な箇所(赤丸部)は、堆積物(表土)は薄く侵食されにくいと判断したこと、また、直線的な溪床で、ガリーを中心とした侵食が予想されることから侵食幅が小さい。 ・現地調査結果の侵食深は簡易貫入試験結果を踏まえて推定している。 	

図-2 島根県調査結果との比較 (土石流危険溪流④)

[土石流危険溪流⑤付近]



	島根県 (I-1)	現地調査 (横断測線B-12)
現地写真・スケッチ		
備考	幅 : 10m 深さ : 1.5m 侵食可能断面積 : 15 m ²	平均侵食幅 : 6m 平均侵食深 : 2.9m 侵食可能断面積 : 17.4 m ²
相違点	<ul style="list-style-type: none"> 島根県調査結果と比較し、現地調査結果においては、右岸の高くなっている所（赤丸部）は、洗掘した形跡が確認できず、樹木が整然と配列しており侵食されにくいと判断したこと、また、直線的な溪床で、ガリーを中心とした侵食が予想されることから侵食幅が小さい。 現地調査結果の侵食深は簡易貫入試験結果を踏まえて推定している。 	

	島根県 (I-2)	現地調査 (横断測線B-11)
現地写真・スケッチ		
備考	幅 : 15m 深さ : 2.0m 侵食可能断面積 : 30 m ²	平均侵食幅 : 8m 平均侵食深 : 2.9m 侵食可能断面積 : 23.2 m ²
相違点	<ul style="list-style-type: none"> ・島根県調査結果と比較し、現地調査結果においては、左岸側には表流水が認められ、左岸のガリーを中心とした侵食が予想される。 ・右岸の高くなっている所(赤丸部)は、現在は通路が設置され、通路脇に小規模の洗掘跡が認められるものの、堆積物(表土)は薄く侵食されにくいと判断した。 ・現地調査結果の侵食深は簡易貫入試験結果を踏まえて推定している。 	
	島根県 (I-3)	現地調査 (横断測線B-5)
現地写真・スケッチ		
備考	幅 : 5m 深さ : 4.0m 侵食可能断面積 : 20 m ²	平均侵食幅 : 6m 平均侵食深 : 1.7m 侵食可能断面積 : 10.2 m ²
相違点	<ul style="list-style-type: none"> ・島根県調査結果と比較し、現地調査結果においては、巨礫による閉塞は局所的なものであることから、閉塞されていないところを代表的な横断測線としている。 ・島根県調査結果と比較し、現地調査結果の侵食幅は大きい。 ・現地調査結果の侵食深は簡易貫入試験結果を踏まえて推定している。 	

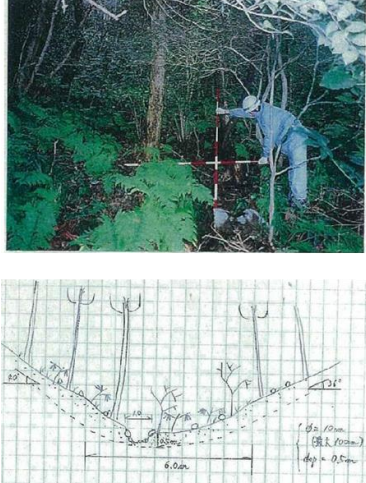
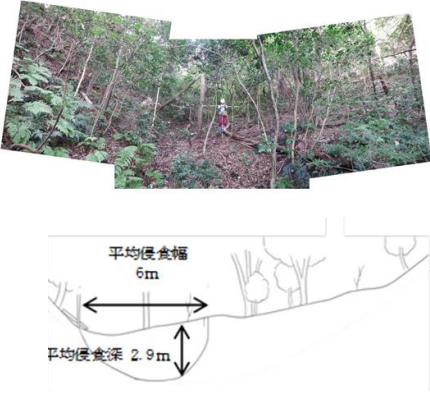
	島根県 (I-4)	現地調査 (横断測線B-3-A)
現地写真・スケッチ		
備考	幅 : 6m 深さ : 0.5m 侵食可能断面積 : 3 m ²	平均侵食幅 : 6m 平均侵食深 : 2.9m 侵食可能断面積 : 17.4 m ²
相違点	<ul style="list-style-type: none"> ・島根県調査結果と比較し、現地調査結果の侵食幅は同じで侵食深は大きい。 ・現地調査結果の侵食深は簡易貫入試験結果を踏まえて推定している。 	

図-3 島根県調査結果との比較 (土石流危険溪流⑤)

[土石流危険渓流⑥付近]

		島根県	現地調査
調査位置図		<p>凡例 深流 島根県の横断測線及び測線名 I-1</p>	<p>凡例 土石流危険渓流 (土石流調査結果) 流域 0次谷 1次谷 2次谷 A-1 : 深流名 横断測線位置及び測線名 A-1 : 横断測線位置及び測線名 ● : 基準点位置</p>
		島根県 (I-1)	現地調査 (横断測線C-1)
現地写真・スケッチ	 	 	
	備考	幅 : 6m 深さ : 0.2m 侵食可能断面積 : 1.2 m ²	平均侵食幅 : 9m 平均侵食深 : 3.1m 侵食可能断面積 : 27.9 m ²
相違点	<ul style="list-style-type: none"> 島根県の調査位置は、現在人工改変（敷地造成）されており、当社調査地点は下流側にあたる。 島根県調査結果と比較し、現地調査結果は侵食幅及び侵食深が大きい。 現地調査結果の侵食深は簡易貫入試験結果を踏まえて推定している。 		

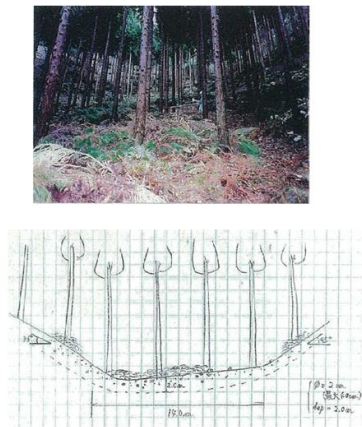

	島根県 (I-2)	現地調査 (横断測線 B-5)
現地写真・スケッチ		
備考	幅 : 14.0m 深さ : 2m 侵食可能断面積 : 28 m ²	平均侵食幅 : 8m 平均侵食深 : 2.6m 侵食可能断面積 : 20.8 m ²
相違点	<ul style="list-style-type: none"> ・島根県調査結果と比較し、溪床全体を土石流が流れることはないと判断したことから、現地調査結果の侵食幅は小さい。 ・現地調査結果の侵食深は簡易貫入試験結果を踏まえて推定している。 	

図-4 島根県調査結果との比較 (土石流危険溪流⑥)

[土石流危険渓流⑦付近]

		島根県	現地調査
調査位置図		<p>凡例 〓 : 渓流 〓 : 島根県の横断測線及び測線名 I-1</p>	<p>凡例 ○ : 土石流危険渓流 (土石流調査結果) 〓 : 流域 〓 : 〇次谷 〓 : 1次谷 〓 : 2次谷 A-1 : 渓流名 〓 : 横断測線位置 A-1 : 横断測線名 ● : 基準点位置</p>
	現地写真・スケッチ		<p>横断測線 A-3 で代表させている。</p>
備考	<p>幅 : 5m 深さ : 1.0m 侵食可能断面積 : 5 m²</p>		
相違点			

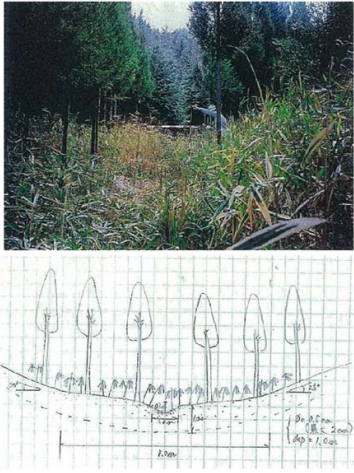

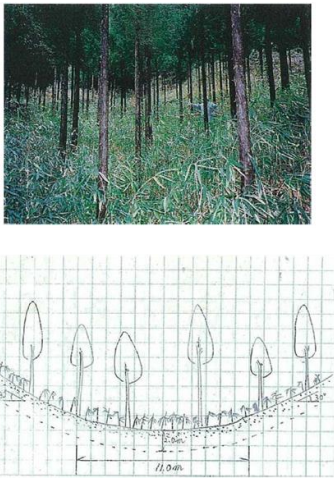
	島根県 (I-2)	現地調査 (横断測線)
現地写真・スケッチ		
備考	幅 : 8m 深さ : 1.0m 侵食可能断面積 : 8 m ²	平均侵食幅 : 7m 平均侵食深 : 0.4m 侵食可能断面積 : 2.8 m ²
相違点	<ul style="list-style-type: none"> ・島根県の調査位置は、現在人工改変（水路設置）されている。 ・島根県調査結果より、当社評価の侵食幅及び侵食深は小さい。 ・現地調査結果の侵食深は簡易貫入試験結果を踏まえて推定している。 	
	島根県 (I-3)	現地調査 (該当無)
現地写真・スケッチ		<p>島根県調査後、人工改変（敷地造成）されているため対応する現地調査結果なし。</p>
備考	幅 : 11m 深さ : 2.0m 侵食可能断面積 : 22 m ²	
相違点	-	

図-5 島根県調査結果との比較（土石流危険溪流⑦）

また、土石流危険渓流⑦については、島根県調査（平成13年）以降、溪流の一部は敷地造成により改変されていることから、移動可能土砂量の比較にあたっては、図-6及び表-1のとおり、改変区間を考慮し島根県調査結果の計画流出土砂量を1,170³（I-1：約450³とI-2：約720³の合計値）に補正した。

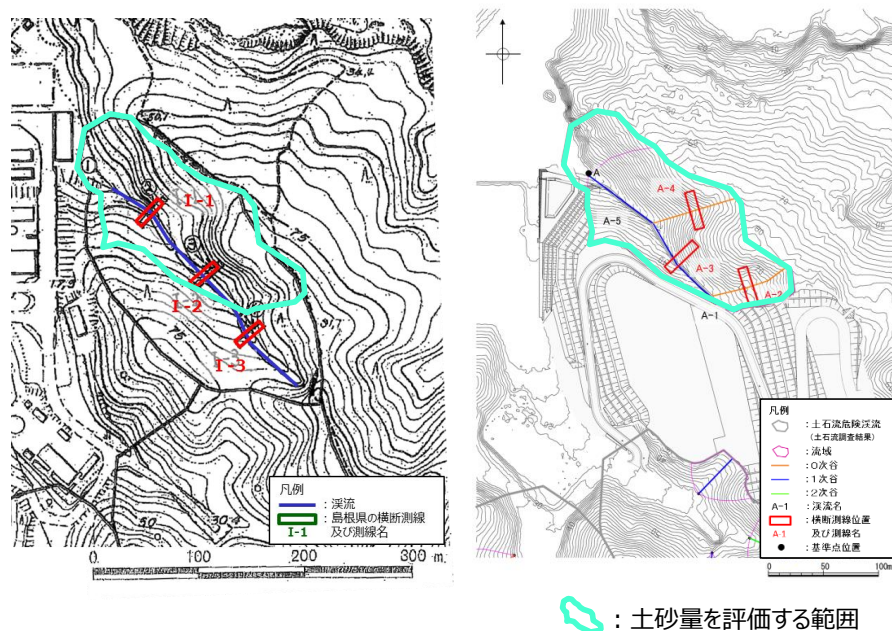


図-6 土石流危険渓流⑦における土砂量の評価範囲

表-1 土石流危険渓流⑦の島根県調査結果の計画流出土砂量の補正

島根県調査結果						土砂量の評価
測点	延長 ※1 (m)	侵食 幅 (m)	侵食 深 (m)	侵食可能 断面積 (m ²)	計画流出 土砂量 (m ³)	補正後の 計画流出 土砂量 (m ³)
I-1	約 90	5	1.0	5	約 450	約 450
I-2	約 90	8	1.0	8	約 720	約 720
I-3	約 80	11	2.0	22	約 1,760	0
合計					約 2,930 (2,937) ※2	約 1,170

：島根県調査結果のうち土砂量の評価対象

※1 島根県調査位置図からの想定

※2 () の数値は島根県調査結果における計画流出土砂量

転石調査結果

各土石流危険溪流の基準点より上流に存在する転石の分布状況及び粒径を把握する調査を実施した。粒径は礫の縦幅，横幅，高さの3方向を実測し，その平均とした。粒径は礫の縦幅，横幅，高さの3方向を実測し，その平均とした。転石の調査結果を以下に示す。

各土石流危険溪流の転石調査結果を図-1～図-21 に示す。

[土石流危険溪流①]

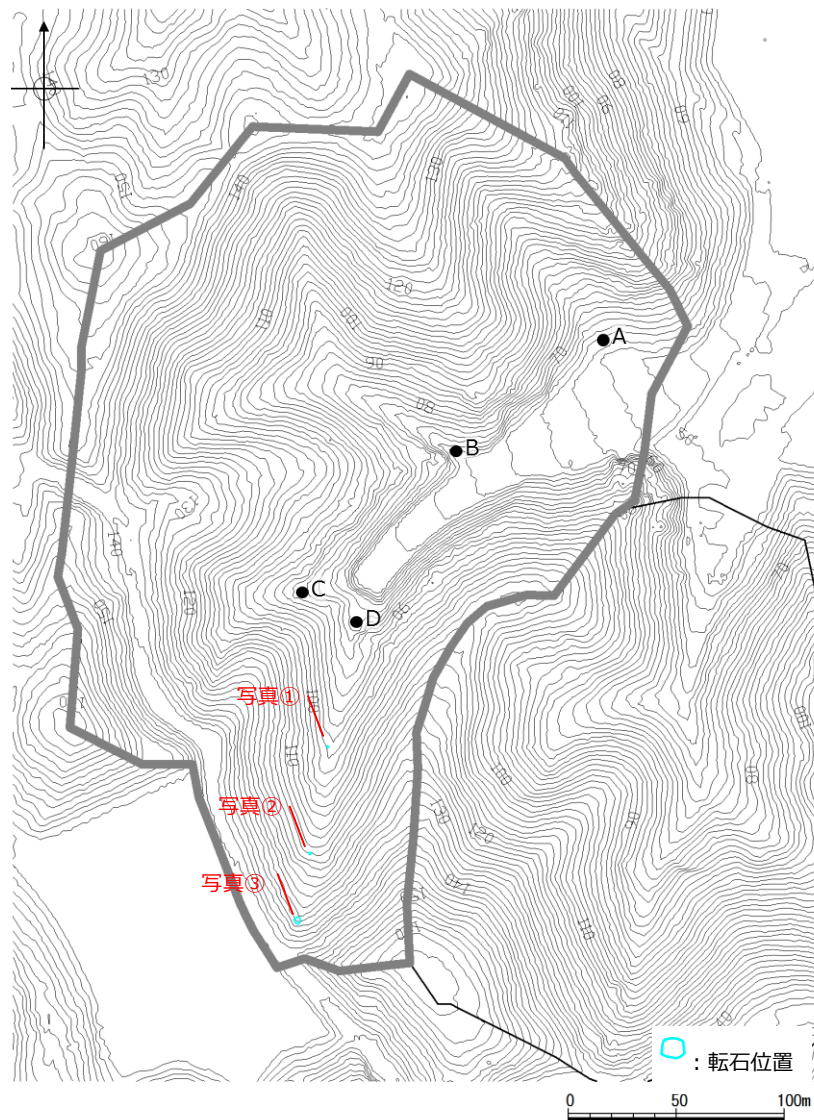



図-1 土石流危険溪流①の転石分布図

写真番号	写真	寸法 (m)
①	 <p style="text-align: right;">→ : 下流方向</p>	粒径 : 0.50m 縦幅 : 0.5m 横幅 : 0.5m 高さ : 0.5m


②		粒径：0.73m 縦幅：1.2m 横幅：0.5m 高さ：0.5m
③		粒径：0.50m 縦幅：0.6m 横幅：0.4m 高さ：0.5m

図-2 土石流危険渓流①の転石写真

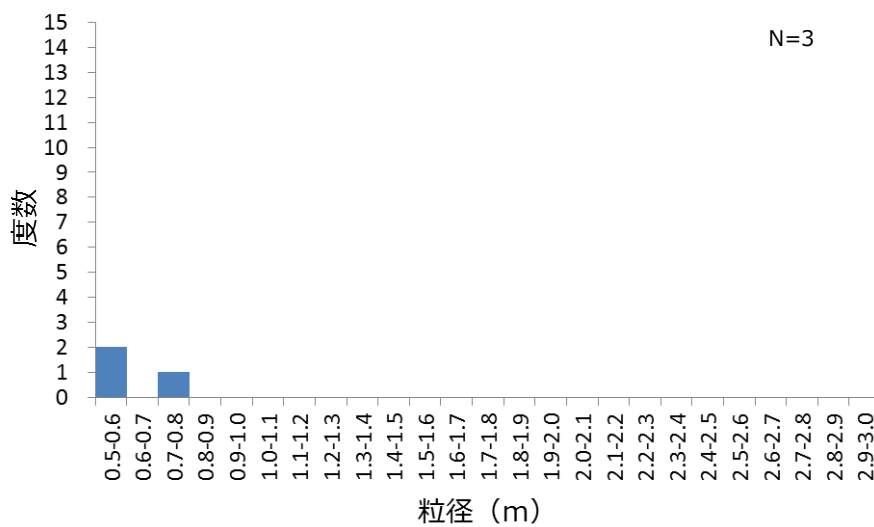


図-3 土石流危険渓流①の粒径の度数分布図

[土石流危険溪流②]

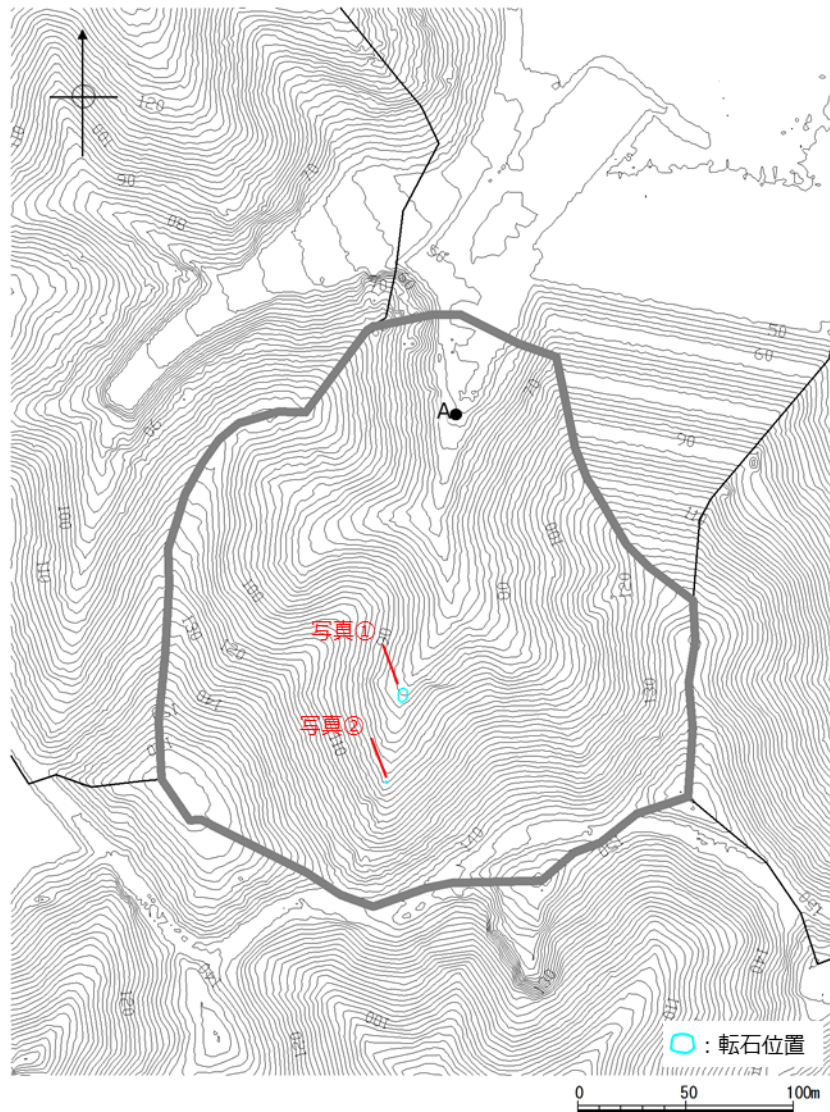
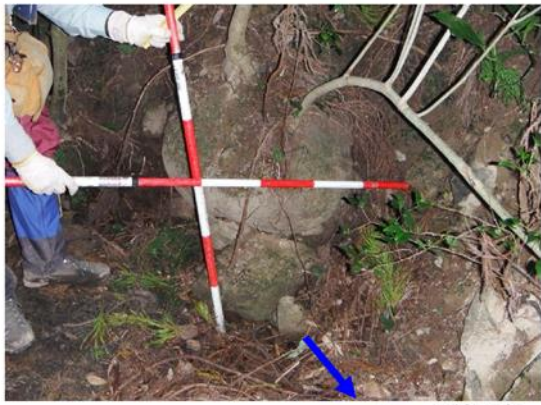


図-4 土石流危険溪流②の転石分布図

写真番号	写真	寸法 (m)
①	 <p style="text-align: right;">→ : 下流方向</p>	粒径 : 0.50m 縦幅 : 0.4m 横幅 : 0.6m 高さ : 0.5m

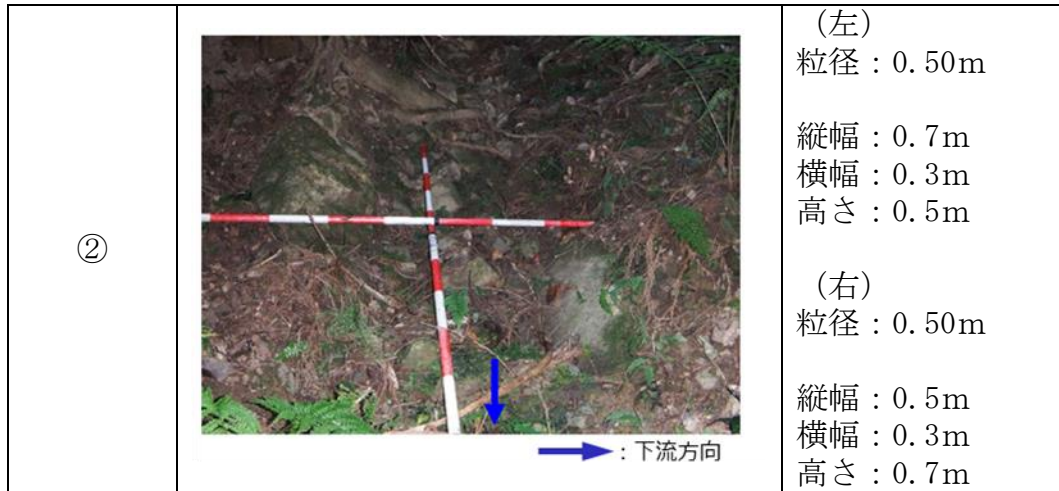


図-5 土石流危険溪流②の転石写真

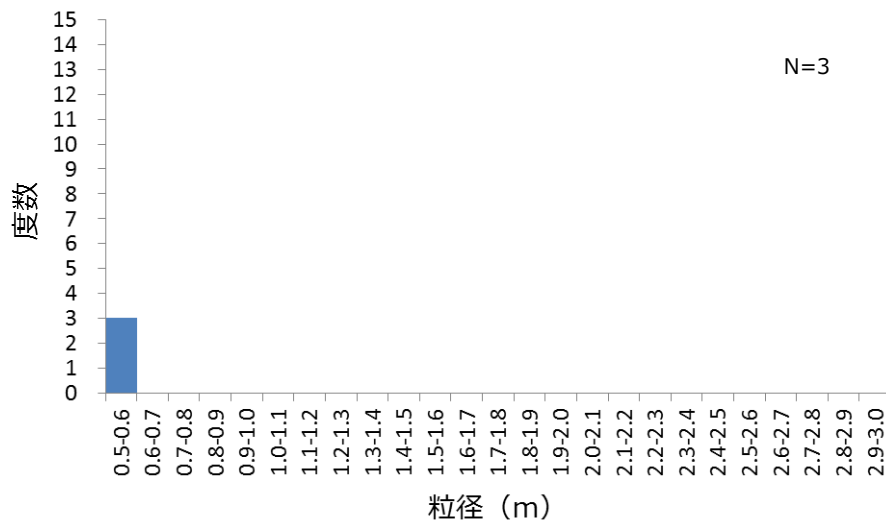


図-6 土石流危険溪流②の粒径の度数分布図

[土石流危険溪流③]

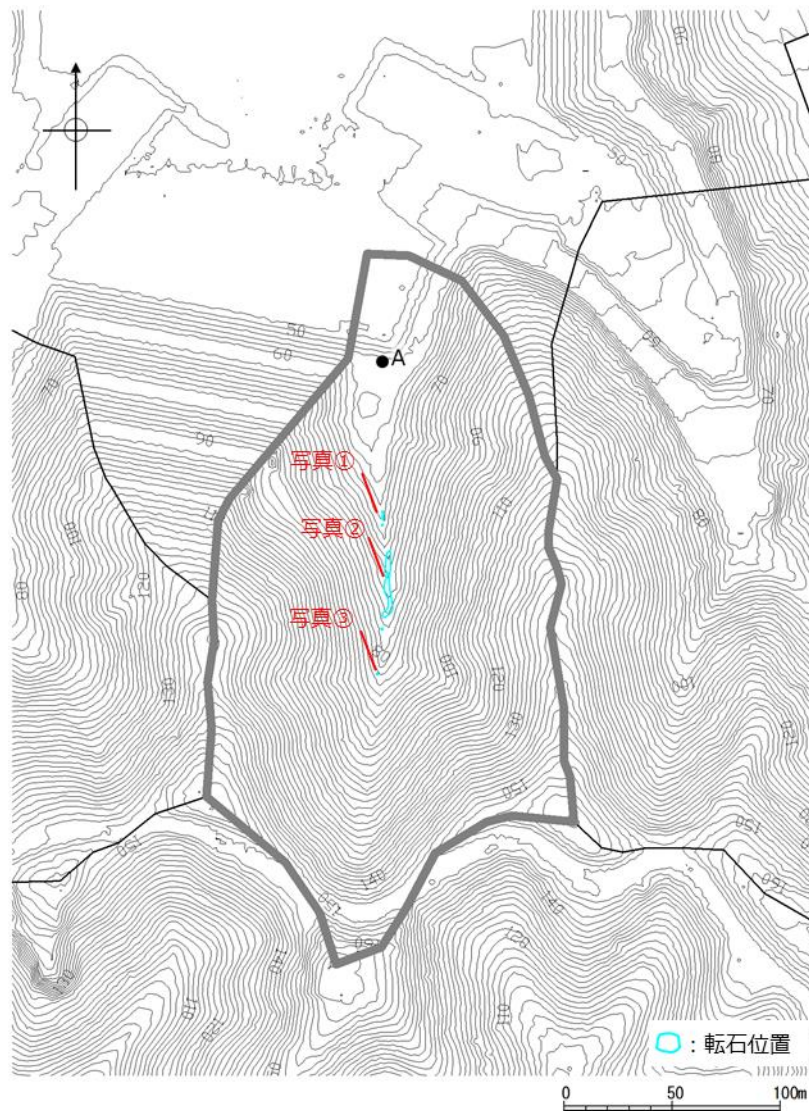


図-7 土石流危険溪流③の転石分布図

写真番号	写真	寸法 (m)
①	<p>→ : 下流方向</p>	(左) 粒径 : 0.70m 縦幅 : 1.1m 横幅 : 0.6m 高さ : 0.4m (右) 粒径 : 0.77m 縦幅 : 0.6m 横幅 : 1.2m 高さ : 0.5m



②	 <p style="text-align: right;">→ : 下流方向</p>	<p>(中央) 粒径 : 0.77m 縦幅 : 1.2m 横幅 : 0.6m 高さ : 0.5m</p> <p>(左) 粒径 : 0.77m 縦幅 : 1.0m 横幅 : 0.8m 高さ : 0.5m</p>
③	 <p style="text-align: right;">→ : 下流方向</p>	粒径 : 0.63m 縦幅 : 0.6m 横幅 : 1.0m 高さ : 0.3m

図-8 土石流危険溪流③の転石写真

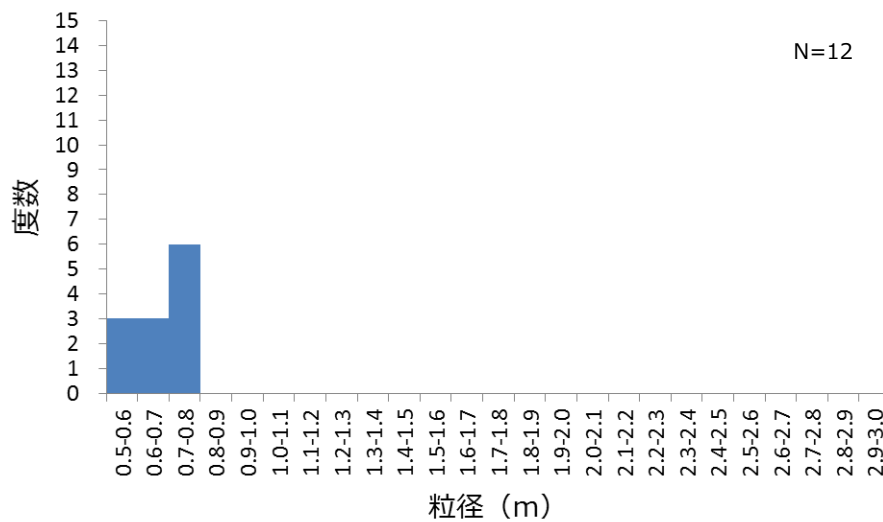


図-9 土石流危険溪流③の粒径の度数分布図

[土石流危険溪流④]

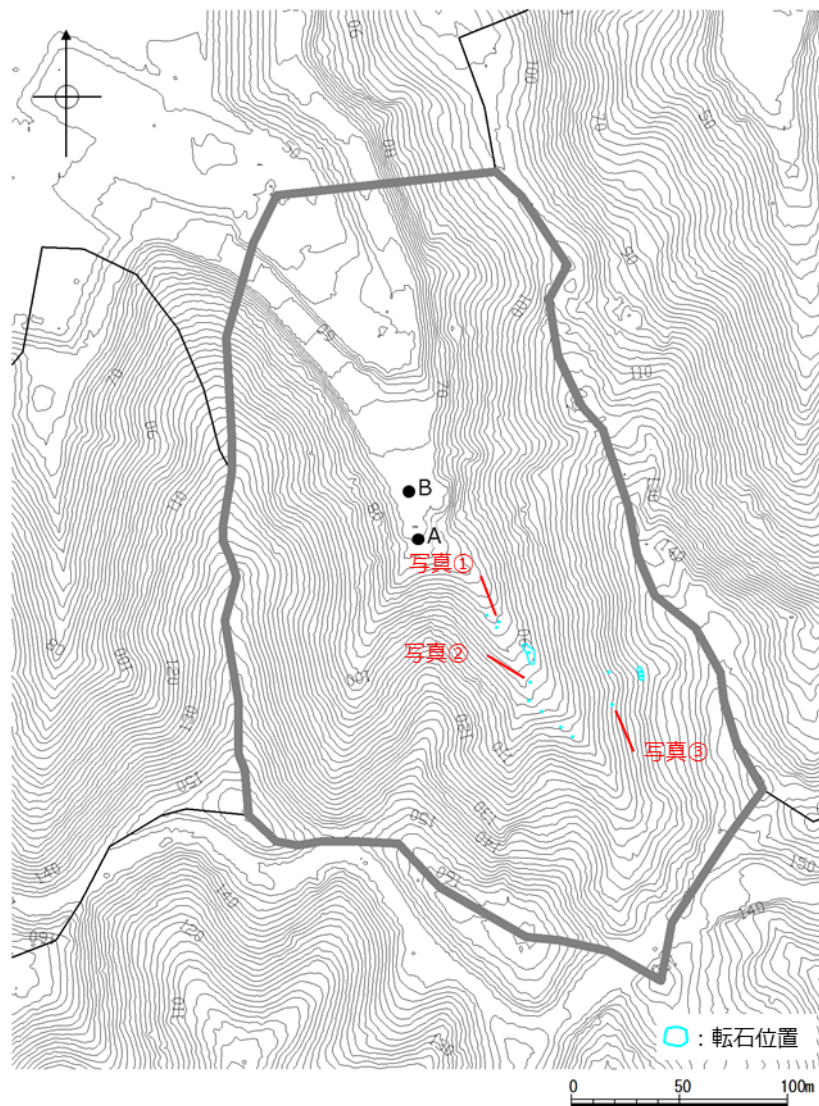



図-10 土石流危険溪流④の転石分布図

写真番号	写真	寸法 (m)
①	 <p style="text-align: center;">➡ : 下流方向</p>	粒径 : 1.67m 縦幅 : 2.0m 横幅 : 1.8m 高さ : 1.2m



②	 <p style="text-align: right;">→ : 下流方向</p>	粒径 : 2.17m 縦幅 : 2.5m 横幅 : 2.0m 高さ : 2.0m
③	 <p style="text-align: right;">→ : 下流方向</p>	(上) 粒径 : 0.60m 縦幅 : 0.7m 横幅 : 0.4m 高さ : 0.7m (下) 粒径 : 0.77m 縦幅 : 1.2m 横幅 : 0.6m 高さ : 0.5m

図-11 土石流危険溪流④の転石写真

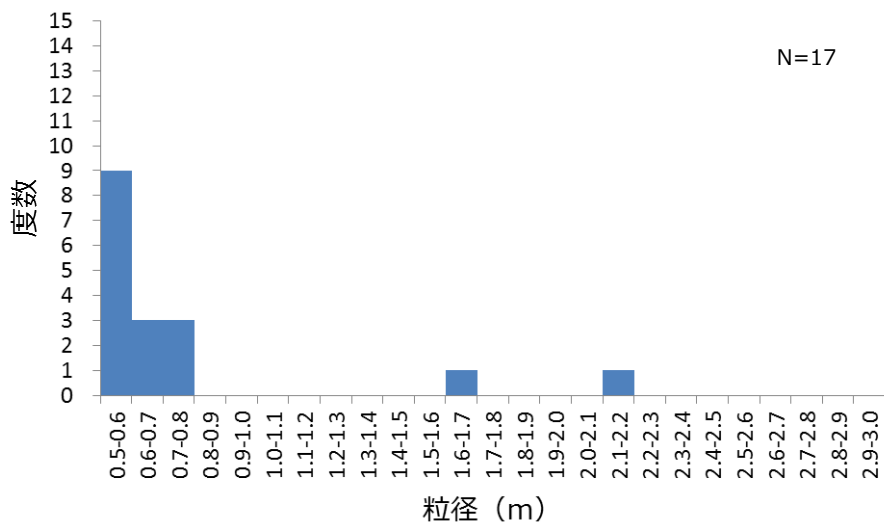


図-12 土石流危険溪流④の粒径の度数分布図

[土石流危険溪流⑤]

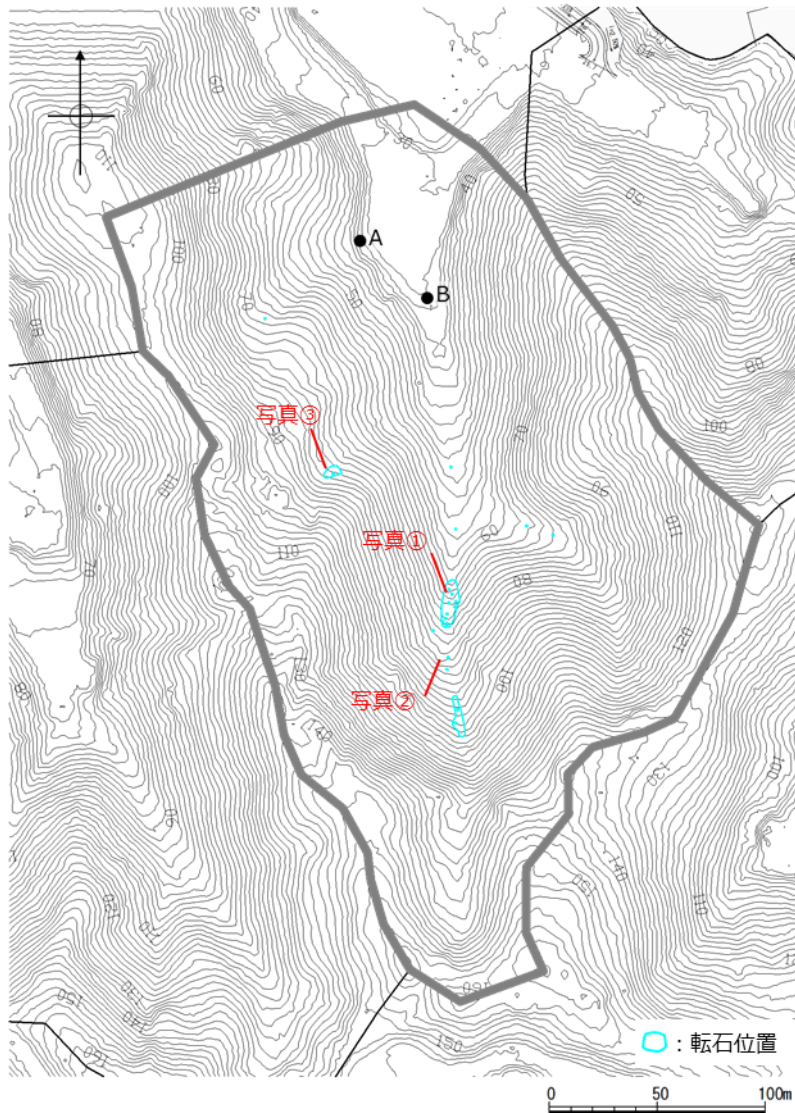


図-13 土石流危険溪流⑤の転石分布図

写真番号	写真	寸法 (m)
①	<p>→ : 下流方向</p>	(上) 粒径 : 2.57m
		縦幅 : 3.0m 横幅 : 2.5m 高さ : 2.2m
		(下) 粒径 : 1.4m
		縦幅 : 2.0m 横幅 : 1.4m 高さ : 0.8m



②	 <p style="text-align: right;">→ : 下流方向</p>	粒径 : 1.03m 縦幅 : 2.0m 横幅 : 0.4m 高さ : 0.7m
③	 <p style="text-align: right;">→ : 下流方向</p>	粒径 : 1.17m 縦幅 : 1.6m 横幅 : 1.0m 高さ : 0.9m

図-14 土石流危険溪流⑤の転石写真

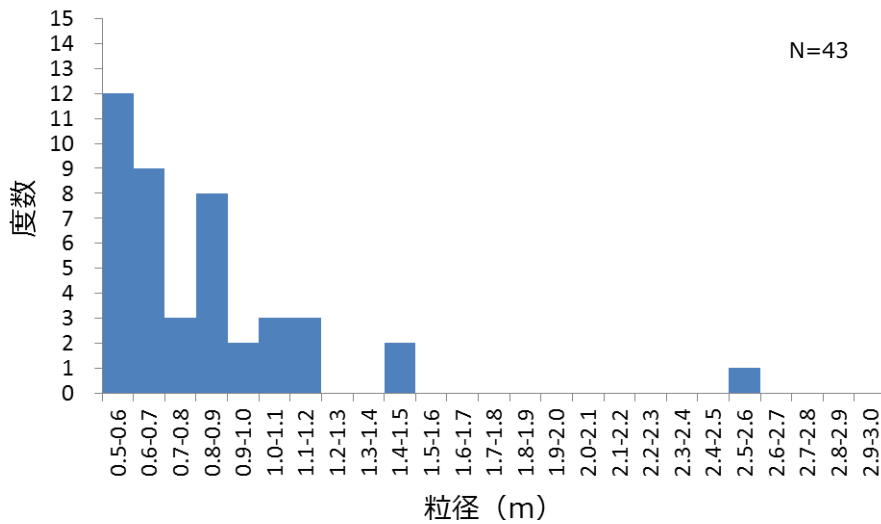


図-15 土石流危険溪流⑤の粒径の度数分布図

[土石流危険溪流⑥]

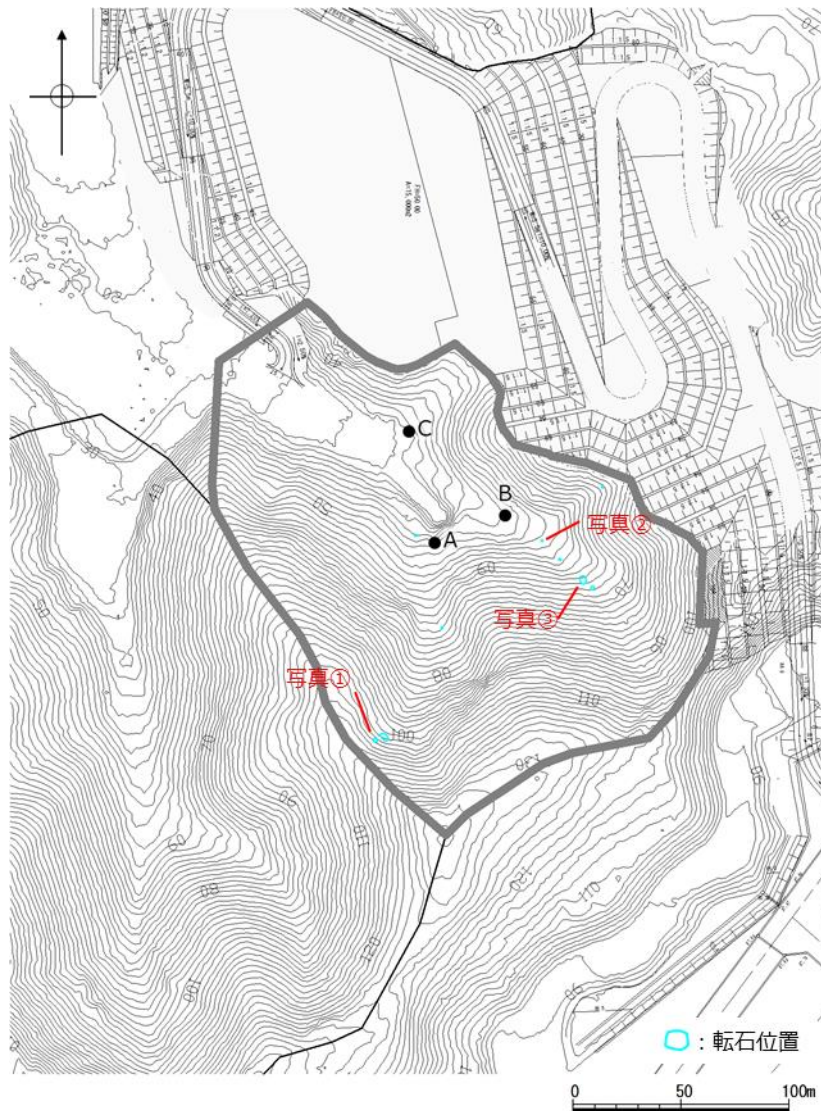


図-16 土石流危険溪流⑥の転石分布図

写真番号	写真	寸法 (m)
①	 <p style="text-align: right;">→ : 下流方向</p>	粒径 : 0.77m 縦幅 : 1.5m 横幅 : 0.4m 高さ : 0.4m

②	 <p style="text-align: center;">➡ : 下流方向</p>	粒径 : 0.93m 縦幅 : 1.5m 横幅 : 0.8m 高さ : 0.5m
③	 <p style="text-align: center;">➡ : 下流方向</p>	粒径 : 0.87m 縦幅 : 1.2m 横幅 : 0.6m 高さ : 0.8m

図-17 土石流危険溪流⑥の転石写真

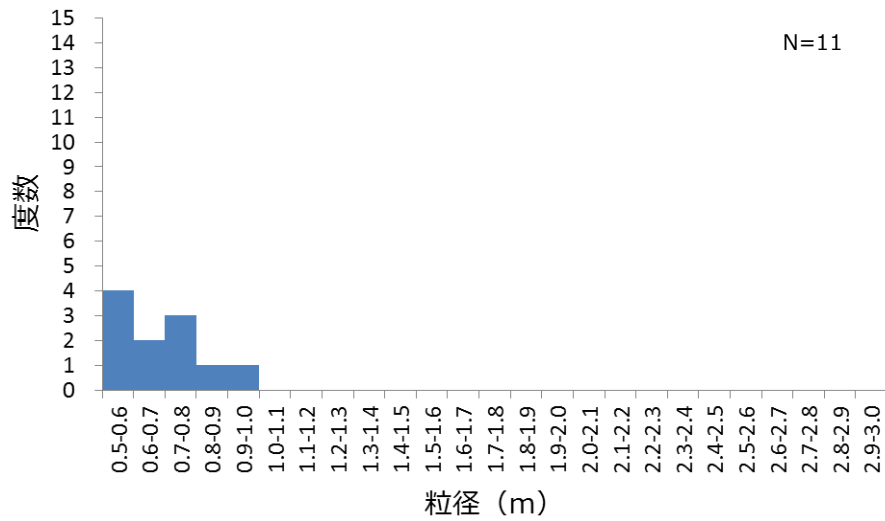


図-18 土石流危険溪流⑥の粒径の度数分布図

[土石流危険溪流⑦]

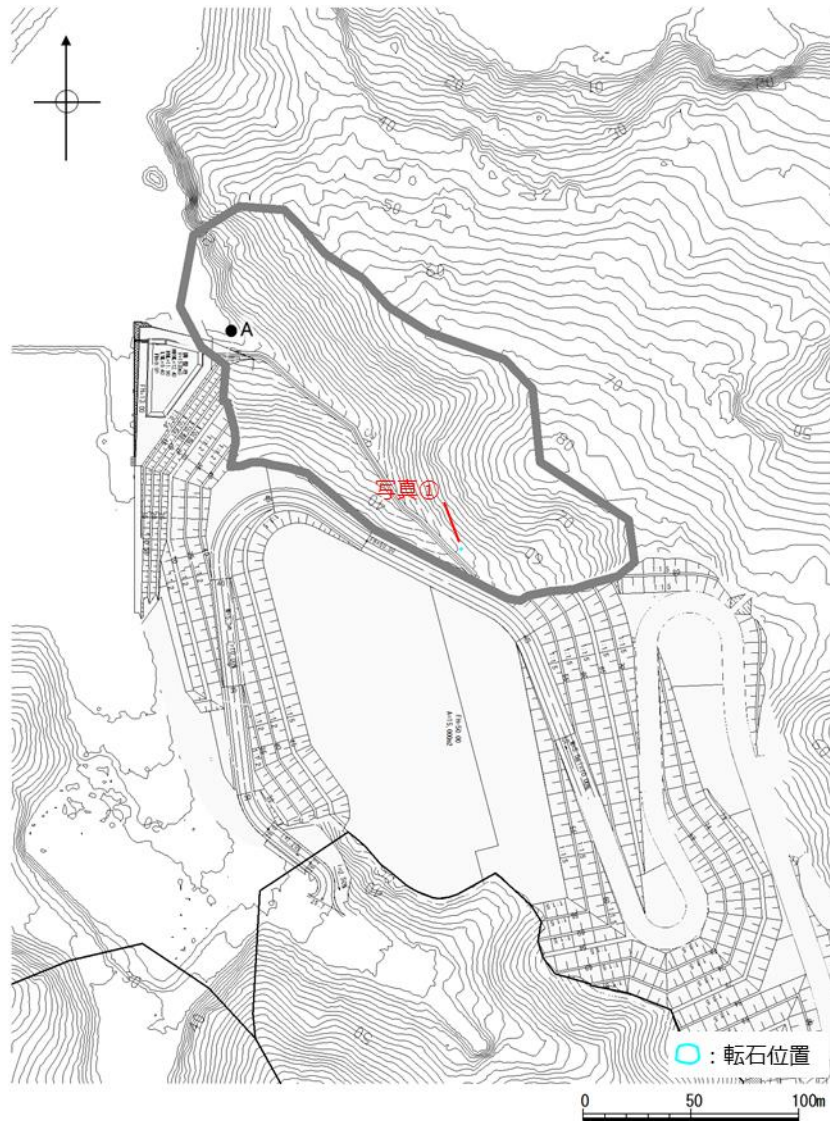


図-19 土石流危険溪流⑦の転石分布図


写真番号	写真	寸法 (m)
①	 <p style="text-align: center;">—▶ : 下流方向</p>	粒径 : 0.73m 縦幅 : 1.3m 横幅 : 0.5m 高さ : 0.4m

図-20 土石流危険溪流⑦の転石写真

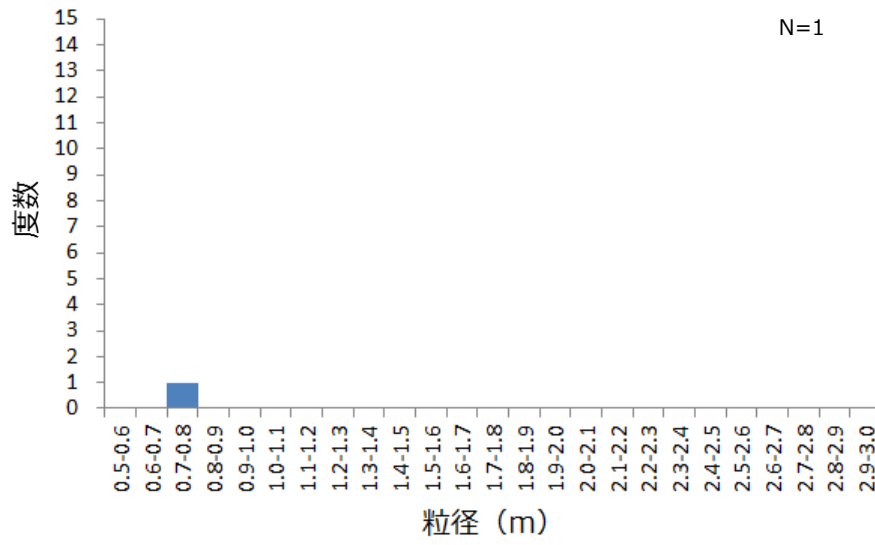


図-21 土石流危険溪流⑦の粒径の度数分布図

土石流と地震又は風（台風）の組合せによる影響評価について

土石流と地震又は風（台風）の組合せを考慮した場合の安全施設への影響について、以下のとおり評価し、安全施設の安全機能に影響を及ぼすおそれはないことを確認した。

1. 評価対象施設について

土石流と地震又は風（台風）の組合せに対する影響評価を行う安全施設を 図 1 に示す。

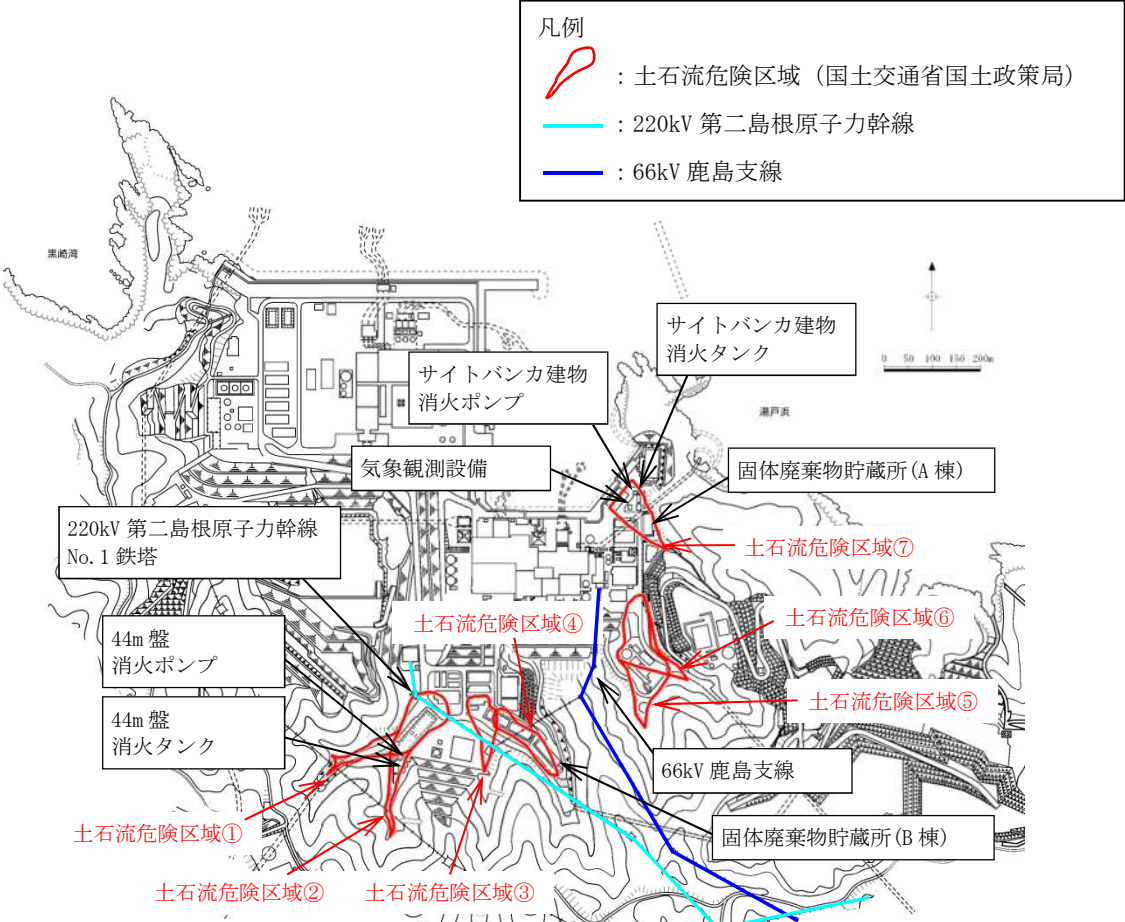


図 1 島根原子力発電所周辺における土石流危険区域及び対象施設（安全施設等）位置図

2. 評価結果

(1) 220kV第二島根原子力幹線No.1鉄塔

220kV 第二島根原子力幹線 No.1 鉄塔は、安全評価上その機能に期待しない安全重要度分類クラス3の施設であり、以下の観点から安全施設の安全機能に影響を及ぼすおそれはない。

- ・当該鉄塔及び 66kV 鹿島支線の鉄塔が、土石流による土砂の荷重と地震荷重又は風荷重の組合せにより破損し、220kV 第二島根原子力幹線及び 66kV 鹿島支線が機能喪失したとしても、代替設備として耐震性を有する非常用ディーゼル発電機を土石流危険区域外に設置し確保していることから、影響はない。

(2) 消火系（44m盤消火ポンプ、44m盤消火タンク、サイトバンカ建物消火ポンプ、サイトバンカ建物消火タンク）

44m盤消火ポンプ、44m盤消火タンク、サイトバンカ建物消火ポンプ、サイトバンカ建物消火タンクは、安全評価上その機能に期待しない安全重要度分類クラス3の施設であり、以下の観点から安全施設の安全機能に影響を及ぼすおそれはない。

- ・当該ポンプ及びタンクは、土石流による土砂の荷重と地震荷重又は風荷重の組合せにより破損したとしても、設計基準事故に至るおそれはない。

また、代替設備として土石流危険区域外に配備し確保している全域ガス消火設備又は消火器による対応が可能であることから、影響はない。

なお、代替設備としては化学消防自動車及び小型動力ポンプ付水槽車も土石流危険区域外に配備し確保しており、対応可能な場合に使用する。

(3) 固体廃棄物貯蔵所（A棟、B棟）

固体廃棄物貯蔵所（A棟、B棟）は、安全評価上その機能に期待しない安全重要度分類クラス3の施設であり、以下の観点から安全施設の安全機能に影響を及ぼすおそれはない。

- ・固体廃棄物貯蔵所（A棟、B棟）が土石流による土砂の荷重と地震荷重又は風荷重の組合せにより損傷した場合においても、当該施設は低レベル放射性廃棄物の貯蔵施設であること、及び保管されている廃棄物は汚染が広がらないようドラム缶や金属容器に封入されていることから、当該施設の損傷によって、公衆又は従事者に放射線障害を及ぼすおそれはない。

また、当該施設が損傷した場合には、放射線量を計測し、必要に応じて、鉛毛マット等による遮蔽を行うほか、速やかに当該施設の補修を行う。

(4) 気象観測設備

気象観測設備は、安全評価上その機能に期待しない安全重要度分類クラス3の施設であり、以下の観点から安全施設の安全機能に影響を及ぼすおそれはない。

- ・当該設備は、土石流による土砂の荷重と地震荷重又は風荷重の組合せにより破損したとしても、設計基準事故に至るおそれはない。
- ・破損した場合には、速やかに補修を実施する。

なお、代替設備として可搬式気象観測装置を土石流危険区域外に保管し確保している。

常設重大事故等対処設備への影響について

地滑り地形範囲に常設重大事故等対処設備は設置されていないことから、地滑りが発生した場合に常設重大事故等対処設備への影響はない。

また、図1に示すとおり、土石流危険区域①及び②の範囲に含まれる重大事故等対処設備としてガスタービン発電機用電路がある。当該設備は、図2のとおり、輪谷貯水槽（西）の間に地上敷設していた電路について、輪谷貯水槽（西）の北側を迂回させる経路へ変更し、全ての電路を地中へ埋設する設計に変更することから、土石流によりその機能が損なわれることはない。よって、土石流が発生した場合に常設重大事故等対処設備への影響はない。

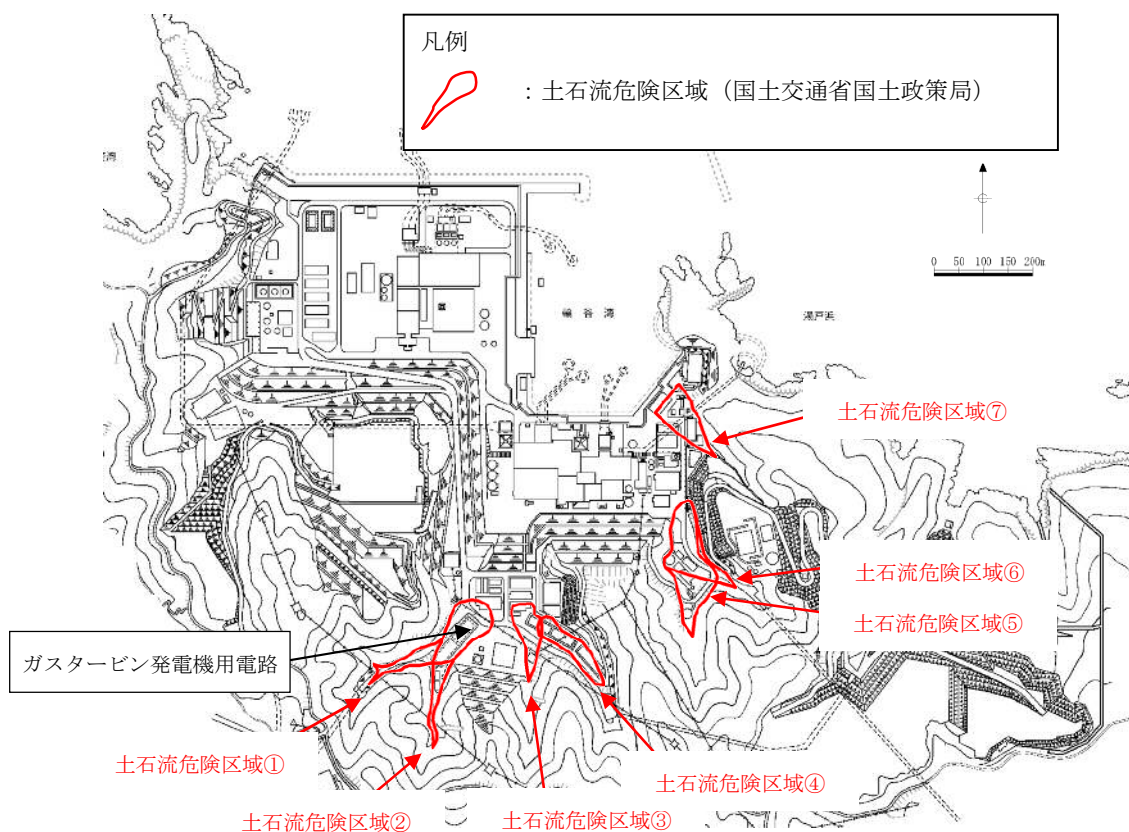
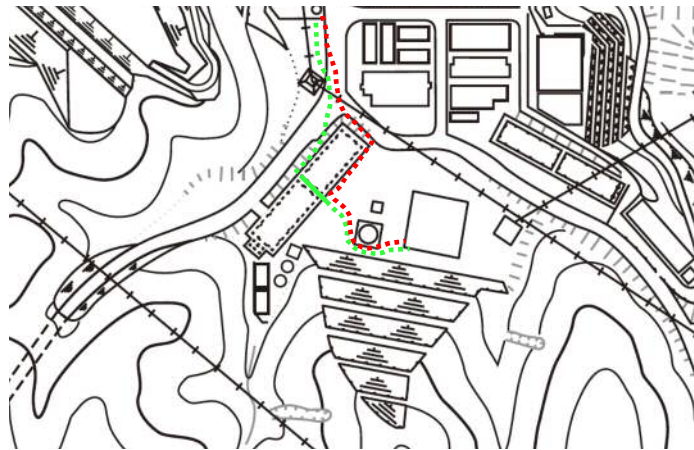


図1 土石流危険区域及びガスタービン発電機用電路位置図



変更前	<p>—— :ガスタービン発電機用電路(地上敷設部)</p> <p>..... :ガスタービン発電機用電路(地中埋設部)</p>
変更後	<p>..... :ガスタービン発電機用電路(地中埋設部)</p>

図2 ガスタービン発電機用電路配置図

生物学的事象影響評価について

1. はじめに

島根原子力発電所2号炉において想定される生物学的事象は、クラゲの襲来や小動物の侵入等が挙げられるが、原子炉施設の安全性に影響を与える可能性があるものとして、クラゲの襲来による冷却用海水の取水への影響が考えられる。本資料では、クラゲの襲来に対する防護対策の状況を示す。

なお、小動物については、屋外設置の端子箱内へのケーブル貫通部等のシールにより侵入を防止している。また、侵入を仮定しても系統分離された安全機能が同時に機能喪失することはない。

2. クラゲの襲来による施設への影響

(1) クラゲの襲来による施設への影響

発電所の取水口付近のクラゲは、原子炉補機冷却系海水ポンプ等（以下「海水ポンプ」という）や循環水ポンプの取水に伴う海水の流れにより、取水口へ流入し、海水ポンプや循環水ポンプへの塵芥流入を防止するための除じん装置で捕獲される。

除じん能力を超える多量のクラゲが除じん装置に流入した場合、スクリーン前後の水位差が大きくなり、海水ポンプ、循環水ポンプの取水機能への影響が懸念される。

また、過去の事例としては、クラゲの襲来による循環水ポンプの取水機能への影響に伴い、原子炉の出力を抑制した事例が、島根2号炉で過去に数件発生している。なお、クラゲの襲来によりプラント停止に至った事例、海水ポンプの取水性能に影響を及ぼした事例は発生していない。

(2) 対策の概要

島根2号炉では、ロータリースクリーンによる流入クラゲの捕獲及び除去を実施している。

また、運転手順として、クラゲの襲来により循環水ポンプの取水機能へ影響が生じる場合は、必要に応じ循環水ポンプの取水量の調整、原子炉出力の抑制及び原子炉停止の手順を整備している。

3. 設備対策

(1) 概要

島根原子力発電所に設置している除じん装置の概略配置図を図3-1に示し、設備の断面図を図3-2に示す。

クラゲの捕獲に伴いスクリーン前後に水位差が生じ、水位差が一定以上に大きくなると、ロータリースクリーンが自動起動し、捕獲されたクラゲを除去する。

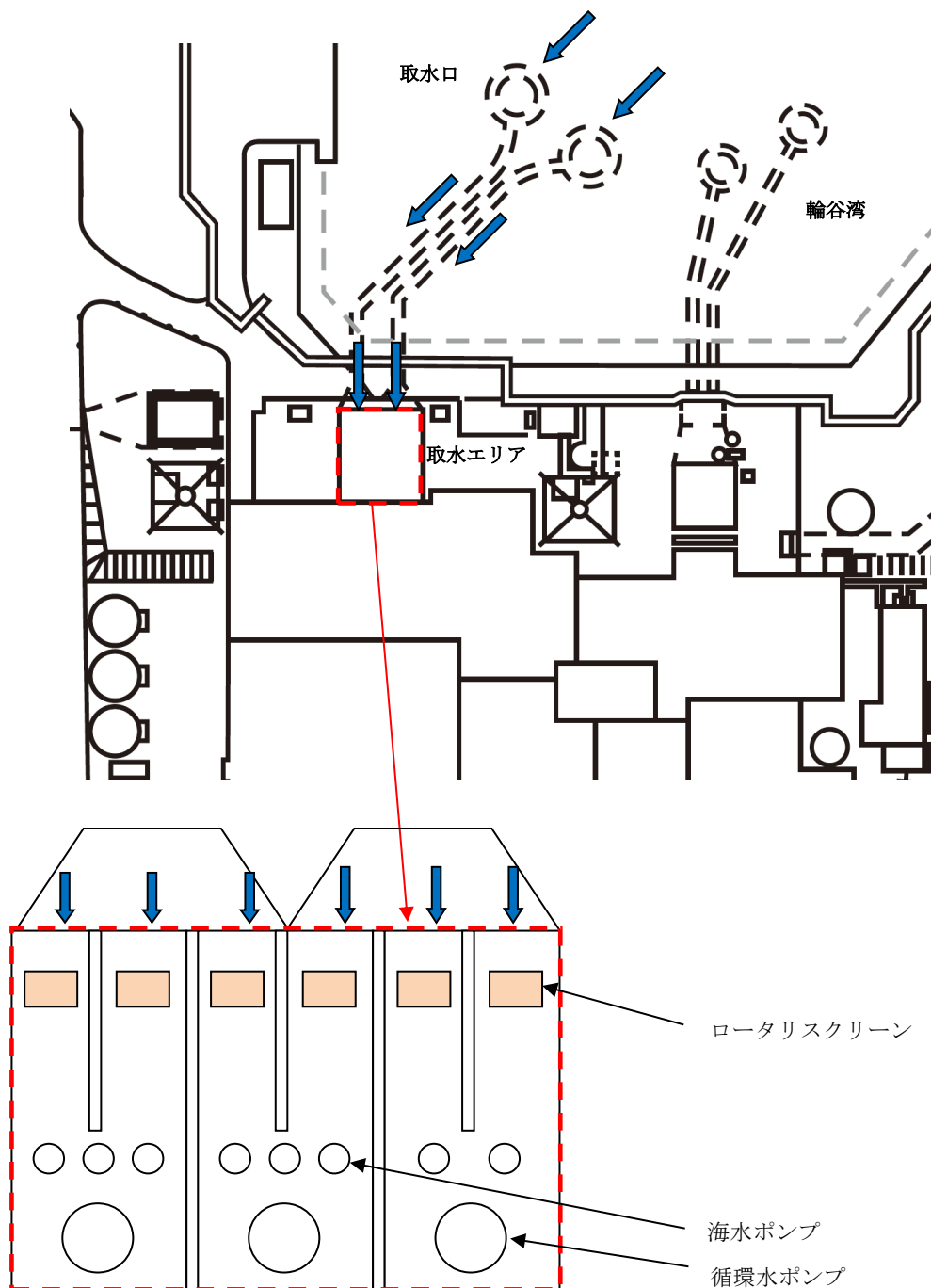


図3-1 取水エリア配置図

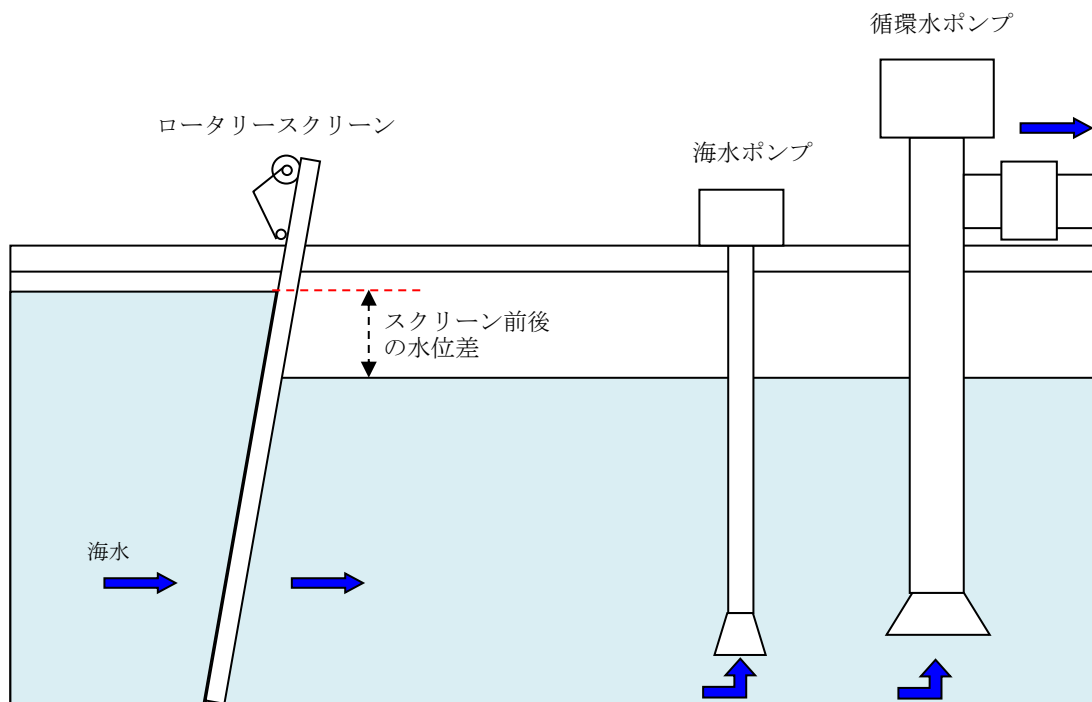


図3-2 取水槽（断面図）

表3-1 スクリーンの設備仕様

設備名	ロータリースクリーン	ポンプ
設備仕様	メッシュ：10mm 除じん能力：160t/h (スクリーン水位差200mmで自動起動)	海水ポンプ 設計基準水位：EL-2500mm 循環水ポンプ 設計基準水位：EL-2500mm

(2) 除じん設備の詳細

島根原子力発電所に設置されている除じん装置（ロータリースクリーン）の詳細について、設備の目的、仕様及び機能は以下のとおりであり、その構造を図3-3に示す。

〔目的〕 塵芥を除去する

〔仕様〕 メッシュ：10mm 除じん能力：160t/h

設置台数：6台

〔機能〕 スクリーン前後の水位差が200mmになると自動起動し、捕獲されたクラゲを除去する。

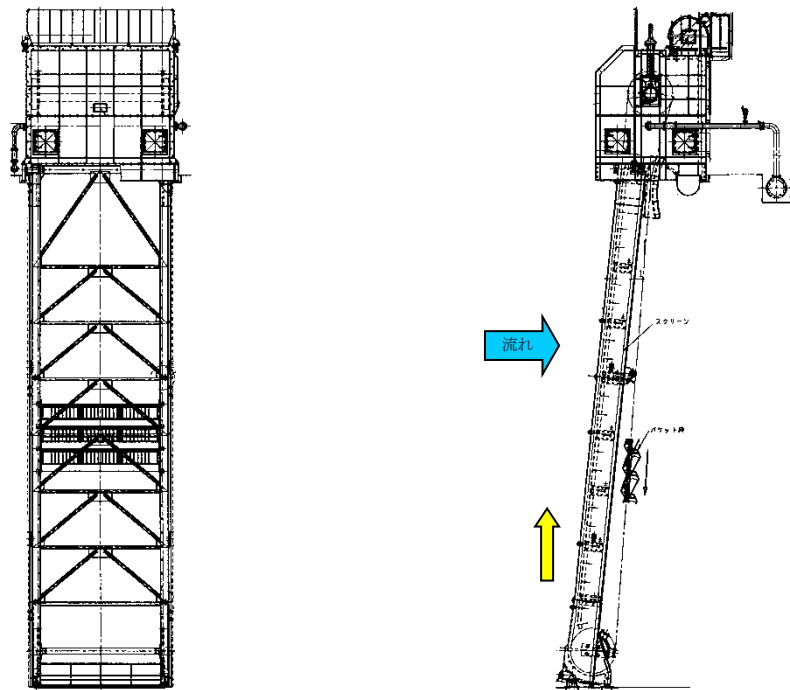


図3-3 ロータリースクリーン構造図

4. 運転操作

クラゲ襲来時の運転操作については、以下の内容を、運転基準に定め運用している。

- ・クラゲの襲来により、除じん装置のスクリーン前後の水位差が、各スクリーンの自動起動水位差となれば、スクリーンの起動状況を確認する。
- ・除じん装置のスクリーン前後の水位差がさらに大きくなれば循環水ポンプの取水量の調整を行う。それに伴い、復水器真空度が基準値を下回らないよう、必要に応じて原子炉の出力を抑制する。復水器真空度の維持が困難となれば、プラント停止（発電停止）し循環水ポンプを停止する。

なお、島根2号炉では、クラゲの襲来による循環水ポンプの取水機能への影響に伴い、原子炉の出力を抑制した事例が、過去に数件発生しているが、クラゲの襲来によりプラント停止に至った事例、海水ポンプの取水性能に影響を及ぼした事例は発生していない。



図4-1 運転操作フロー図

本資料のうち、枠囲みの内容は機密に係る事項のため公開できません。

5. 貝等の海生生物について

除じん装置では捕獲，除去できない貝等の海生生物についても，以下の対策により施設への影響を防止している。

(1)海水系統

海水ポンプで取水された海水中の海生生物については，海水ストレーナにより捕獲することで，原子炉補機冷却系熱交換器等への海生生物の侵入を防止している。また，海水電解装置により海生生物の付着，繁殖を防止すると共に，原子炉補機冷却系熱交換器等は定期的な開放点検，清掃を実施し，性能維持を図っている。

- 海水ストレーナ
 - ・海水中に含まれる海生生物等の固形物を除去する。
 - ・海水ポンプ供給母管に各系統1基ダブルストレーナで設置している。
(ストレーナの片側で100%通水容量を有している。)
 - ・ストレーナの差圧が許容値以上になれば，ストレーナの切り替え，清掃を実施し，捕獲した海生生物を除去する。
 - ・こし筒穴径：7mm
(伝熱管内径 原子炉補機冷却系熱交換器：19.74mm)
 - 海水電解装置
 - ・海水を電気分解し殺菌力のある次亜塩素酸ナトリウムを発生させ，取水槽ゲート部（角落し）へ注入し，冷却管への海生生物の付着，繁殖を防止する。
- $$\text{NaCl} + \text{H}_2\text{O} \rightarrow \text{NaClO} + \text{H}_2$$
- 次亜塩素酸ナトリウム

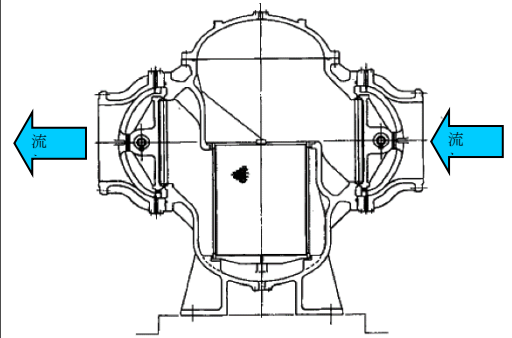


図5-1 海水ストレーナ構造図

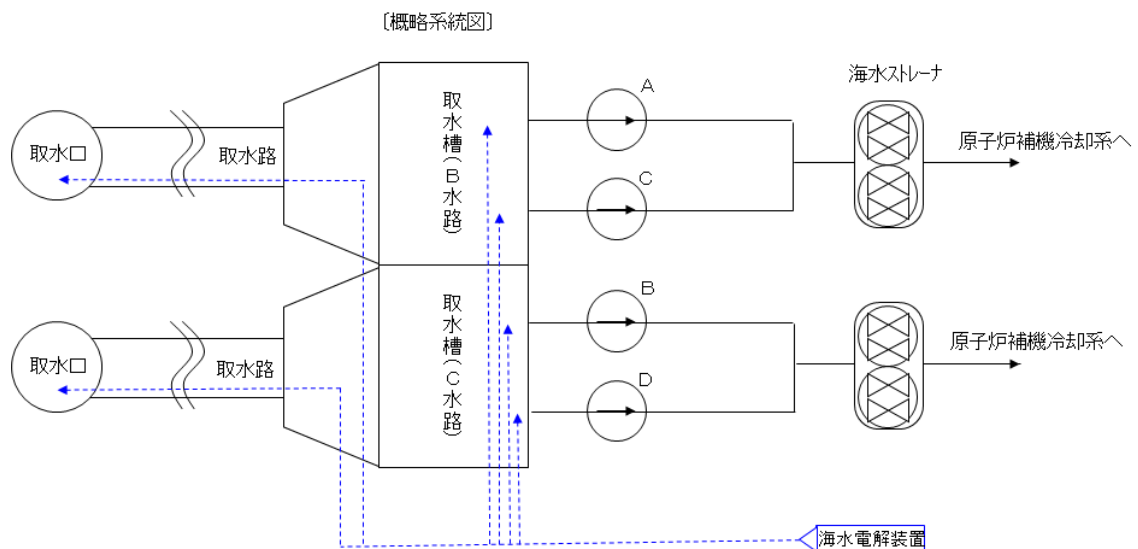


図5-2 海水電解装置の注入箇所

6. まとめ

○島根原子力発電所2号炉において、安全施設へ影響を考慮すべき生物学的影響として、クラゲの襲来による海水ポンプ、循環水ポンプの取水機能への影響が挙げられる。

○クラゲの襲来に対して、以下の設備対策、運転手順を整備し、発電所の安全確保を図っている。

(設備対策)

- ・ロータリースクリーンによりクラゲを捕獲、除去することで、海水ポンプ及び循環水ポンプの取水機能を維持する。

(運転操作)

- ・クラゲの襲来により、除じん装置のスクリーン前後の水位差が、各スクリーンの自動起動水位差となれば、スクリーンの起動状況を確認する。
- ・除じん装置のスクリーン前後の水位差がさらに大きくなれば循環水ポンプの取水量の調整を行う。それに伴い、復水器真空度が基準値を下回らないよう、必要に応じて原子炉の出力を抑制する。復水器真空度の維持が困難となれば、プラント停止（原子炉停止）し循環水ポンプを停止する。

○除じん装置を通過する貝等の海生生物についても、海水ストレーナや海水電解装置により、原子炉補機冷却系熱交換器や復水器等への影響を防止している。

航空機落下確率評価について

本原子炉施設への航空機の落下確率は、「実用発電用原子炉施設への航空機落下確率の評価基準について」（平成 21・06・25 原院第 1 号（平成 21 年 6 月 30 日原子力安全・保安院制定））等に基づき評価した結果、約 8.4×10^{-8} 回/炉・年であり、 10^{-7} 回/炉・年を下回る。したがって、航空機落下による安全施設への影響は考慮する必要はない。

以 上

評価対象事故及び評価に用いた数値について

1. 評価対象事故

発電所及び 号炉	1) 計器飛行方式民間航空機の落下事故		2) 有視界飛行方式民間航空機の落下事故	3) 自衛隊機又は米軍機の落下事故	
	①飛行場での離着陸時における落下事故	②航空路を巡航中の落下事故		①訓練空域内で訓練中及び訓練空域外を飛行中の落下事故	②基地－訓練空域間の往復時の落下事故
島根原子力発電所 2号炉	○注1	○注2	○	○注3 〔訓練空域外を飛行中の落下事故〕	×注4

○：対象，×：対象外

注1：滑走路方向から±60°の範囲に発電所が位置する空港があり、各空港の最大離着陸距離が、発電所から各空港までの距離より大きいため、評価対象とした。(別紙1)

注2：発電所周辺に存在する航空路と発電所との距離が、それぞれの航空路の幅より短い場合は、評価対象とした。(別紙2)

注3：発電所上空には自衛隊機又は米軍機の訓練空域はない。(別紙3)

注4：発電所は基地－訓練空域間の往復想定範囲内に入らないため、評価対象外とした。(別紙3)

2. 評価に用いた数値

(1) 計器飛行方式民間航空機の落下事故

a. 飛行場での離着陸時における落下事故

$$P_{d,a} = f_{d,a} \cdot N_{d,a} \cdot A \cdot \Phi_{d,a}(r, \theta)$$

$P_{d,a}$: 対象施設への離着陸時の航空機落下確率 (回/年)

$N_{d,a}$: 当該飛行場での対象航空機の年間離着陸回数 (離着陸回/年)

A : 原子炉施設の標的面積 (落下時に原子炉施設が影響を受ける建物の面積) (km²)

$\Phi_{d,a}(r, \theta)$: 離着陸時の事故における落下地点確率分布関数 (1/km²)

$f_{d,a} = D_{d,a}/E_{d,a}$: 対象航空機の国内での離着陸時事故率 (回/離着陸回)

$D_{d,a}$: 国内での離着陸時事故件数 (回)

$E_{d,a}$: 国内での離着陸回数 (離着陸回)

パラメータ \ 号 炉	2号炉	
飛行場	出雲空港	米子空港
発電所からの距離	約 17km	約 22km
滑走路方向に対する角度	約 26°	約 42°
最大離着陸距離 ^{注1}	約 28km (約 15NM)	約 43km (約 23NM)
$N_{d,a}$ ^{注2}	13, 672	6, 156
A ^{注3}	0. 02459	
$\Phi_{d,a}(r, \theta)$	$7. 02 \times 10^{-4}$	$2. 63 \times 10^{-4}$
$f_{d,a}$ ^{注4}	$2/37, 233, 228 = 5. 37 \times 10^{-8}$	
$P_{d,a}$	$1. 49 \times 10^{-8}$	

注1 : A I P J A P A Nのアプローチチャートより求めた。(別紙1)

注2 : 「令和元年(平成31年)空港管理状況調書」(国土交通省)にある飛行場別着陸回数を離陸回数とし、その和を飛行場別離着陸回数とした。

注3 : 離着陸時の標的面積は、別紙4のとおり。

注4 : 離着陸時の事故件数は、「航空機落下事故に関するデータ(平成11~30年)」(令和3年2月 原子力規制庁)による。

離着陸回数は、「航空機落下事故に関するデータ(平成11~30年)」(令和3年2月 原子力規制庁)による。(別紙5)

b. 航空路を巡航中の落下事故

$$P_c = \frac{f_c \cdot N_c \cdot A}{W}$$

P_c : 対象施設への巡航中の航空機落下確率 (回/年)

N_c : 評価対象とする航空路等の年間飛行回数 (飛行回/年)

A : 原子炉施設への標的面積 (km²)

W : 航空路幅 (km)

$f_c = G_c / H_c$: 単位飛行距離当たりの巡航中の落下事故率 (回 / (飛行回・km))

G_c : 巡航中事故件数 (回)

H_c : 延べ飛行距離 (飛行回・km)

号 炉	2 号炉	
パラメータ		
対象航空路 ^{注1}	V29	Z16, Y14, Y45, Y22, Y18, Y38, Y361, Y39, Y287, Y206, Y597, Y332
N_c ^{注2}	365 (H30 年データ)	186, 880 (H30 年データ)
A ^{注3}	0. 01917	
W ^{注4}	14	18. 52
f_c ^{注5}	0. 5 / 11, 570, 450, 753 = 4. 32 × 10 ⁻¹¹	
P_c	8. 39 × 10 ⁻⁹	

注1 : A I P J A P A Nにより確認 (別紙2)。

注2 : 国土交通省航空局への問合せ結果 (ピークダイの値) を 365 倍した値 (別紙6)。

注3 : 標的面積は, 別紙4のとおり。

注4 : 航空路については, 「航空路の指定に関する告示」を参照した。RNAV航路については, 「飛行方式設定基準」に基づく航法精度を航空路の幅とみなして用いた。
(1NM=1. 852km として換算)

注5 : 巡航中の事故件数は, 「航空機落下事故に関するデータ (平成 11~30 年)」(令和 3 年 2 月 原子力規制庁) によるが, 件数が 0 件のため, 保守的に 0. 5 件とした。
延べ飛行距離は, 「航空機落下事故に関するデータ (平成 11~30 年)」(令和 3 年 2 月 原子力規制庁) による。(別紙5)

(2) 有視界飛行方式民間航空機の落下事故

$$P_v = \frac{f_v}{S_v} (A \cdot \alpha)$$

P_v : 対象施設への航空機落下確率 (回/年)

f_v : 単位年当たりの落下事故率 (回/年)

S_v : 全国土面積 (km²)

A : 原子炉施設の標的面積 (km²)

α : 対象航空機の種類による係数

パラメータ値	号 炉
	2号炉
f_v ^{注1}	大型固定翼機 0.5/20=0.025 小型固定翼機 24/20=1.200 大型回転翼機 2/20=0.100 小型回転翼機 18/20=0.900
S_v ^{注2}	372,969
A ^{注3}	0.01917
α ^{注4}	大型固定翼機, 大型回転翼機 : 1 小型固定翼機, 小型回転翼機 : 0.1
P_v	1.73×10^{-8}

注1 : 有視界飛行方式民間航空機の事故件数は、「航空機落下事故に関するデータ (平成 11~30 年)」(令和3年2月 原子力規制庁)による。なお、大型固定翼機の事故件数は、0件であるため、保守的に0.5件とした。

注2 : 「航空機落下事故に関するデータ (平成 11~30 年)」(令和3年2月 原子力規制庁)の値を用いた。

注3 : 標的面積は、別紙4のとおり。

注4 : 「実用発電用原子炉施設への航空機落下確率の評価基準について」の値を用いた。

(3) 自衛隊機又は米軍機の落下事故（訓練空域外を飛行中の落下事故）

$$P_{so} = \frac{f_{so}}{S_o} \cdot A$$

P_{so} : 訓練空域外での対象施設への航空機落下確率（回／年）

f_{so} : 単位年当たりの訓練空域外落下事故率（回／年）

S_o : 全国土面積から全国の陸上の訓練空域の面積を除いた面積（km²）

A : 原子炉施設の標的面積（km²）

パラメータ値	号 炉	2号炉
f_{so} 注1		自衛隊機 10/20=0.500 米軍機 4/20=0.200
S_o 注2		自衛隊機 294,881 米軍機 372,472
A 注3		0.01917
P_{so}		4.28×10^{-8}

注1：自衛隊機及び米軍機の事故件数は、「航空機落下事故に関するデータ（平成 11～30 年）」（令和 3 年 2 月 原子力規制庁）による。

ただし、平成 30 年 2 月 5 日に目達原駐屯地から南に約 4km で発生した AH-64D 航空事故について、「航空機落下事故に関するデータ（平成 11～30 年）」（令和 3 年 2 月 原子力規制庁）では「基地－訓練空域間往復時」の落下事故として選定されているが、当該事故は定期整備後の整備試験飛行空域との往復時に発生した事故であるため、「訓練空域外を飛行中」の落下事故としてカウントした。

注2：「航空機落下事故に関するデータ（平成 11～30 年）」（令和 3 年 2 月 原子力規制庁）の値を用いた。

注3：標的面積は、別紙 4 のとおり。

3. 落下確率値の合計値

(1) 島根原子力発電所

号炉		2号炉
1) 計器飛行方式 民間航空機の 落下事故	①飛行場での離着陸時における 落下事故	1.49×10^{-8}
	②航空路を巡航中の落下事故	8.39×10^{-9}
2) 有視界飛行方式民間航空機の落下事故		1.73×10^{-8}
3) 自衛隊機又は 米軍機の落下事故	①訓練空域内で訓練中及び 訓練空域外を飛行中の落下事故	4.28×10^{-8}
	②基地－訓練空域間往復時の 落下事故	—注1
合計		約 8.4×10^{-8}

注1：－は対象外

以 上

島根原子力発電所付近の空港と発電所との距離について

発電所名	空港名	発電所との距離 ^{注1}	空港と空港の最大離着陸地点までの距離 ^{注2}	判定	備考
島根 原子力発電所	出雲空港	約 17km	約 28km (約 15NM)	対象	別紙 1 - 1
	米子空港	約 22km	約 43km (約 23NM)	対象	別紙 1 - 2

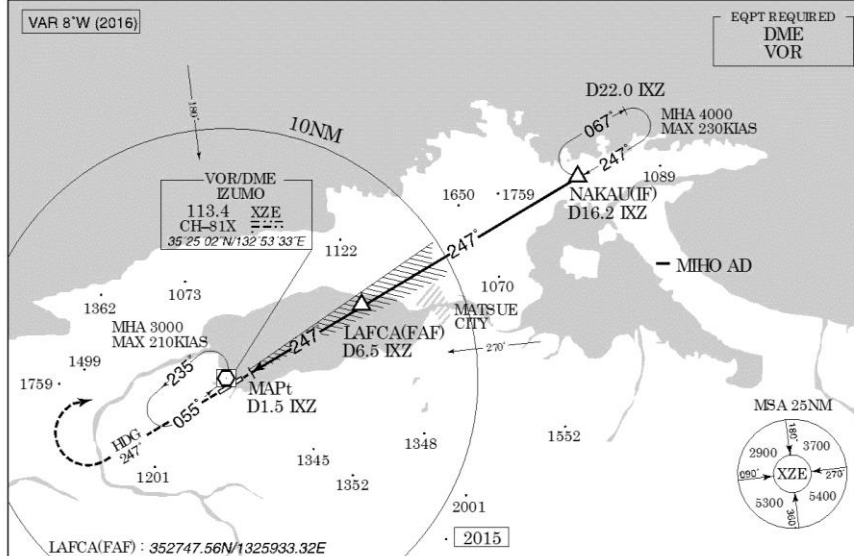
注 1 : 施設と空港の経度, 緯度より計測した。

注 2 : 航空路誌 (A I P) を参照した。

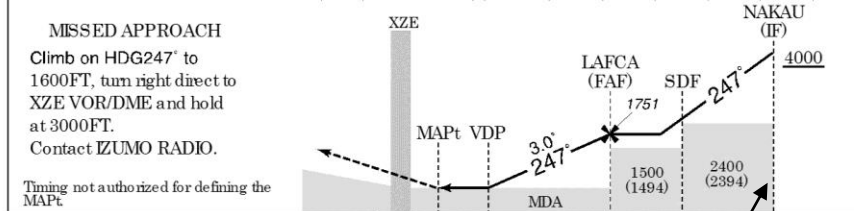
INSTRUMENT APPROACH CHART

RJOC / IZUMO LOC Z RWY25

MIHO APP 120.1 - 125.4 258.2 - 317.8	LOC 111.7 IXZ LOC-DME CH-54X	IZUMO RADIO 122.7 - 126.2	RADAR AVBL
--	------------------------------------	------------------------------	------------



	NM to IXZ	MAPt	2	3	4	5	6	FAF
ALT (3.0° APCH Path)	-	317	635	954	1272	1591	1751	



DME to IXZ	1.2	1.5	1.9	6.5	10.1	16.2
NM to THR	0	0.3	0.6	5.3	9.0	13.0

Missed APCH climb gradient MNM 5.0%

MINIMA		THR elev. 15	AD elev. 6	
CAT	MDA(H)	CMV	CIRCLING	
			MDA(H)	VIS
			390 (384)	1600
			460 (454)	
B	270 (264)	800	560 (554)	2400
C				
D		1200	630 (624)	3200

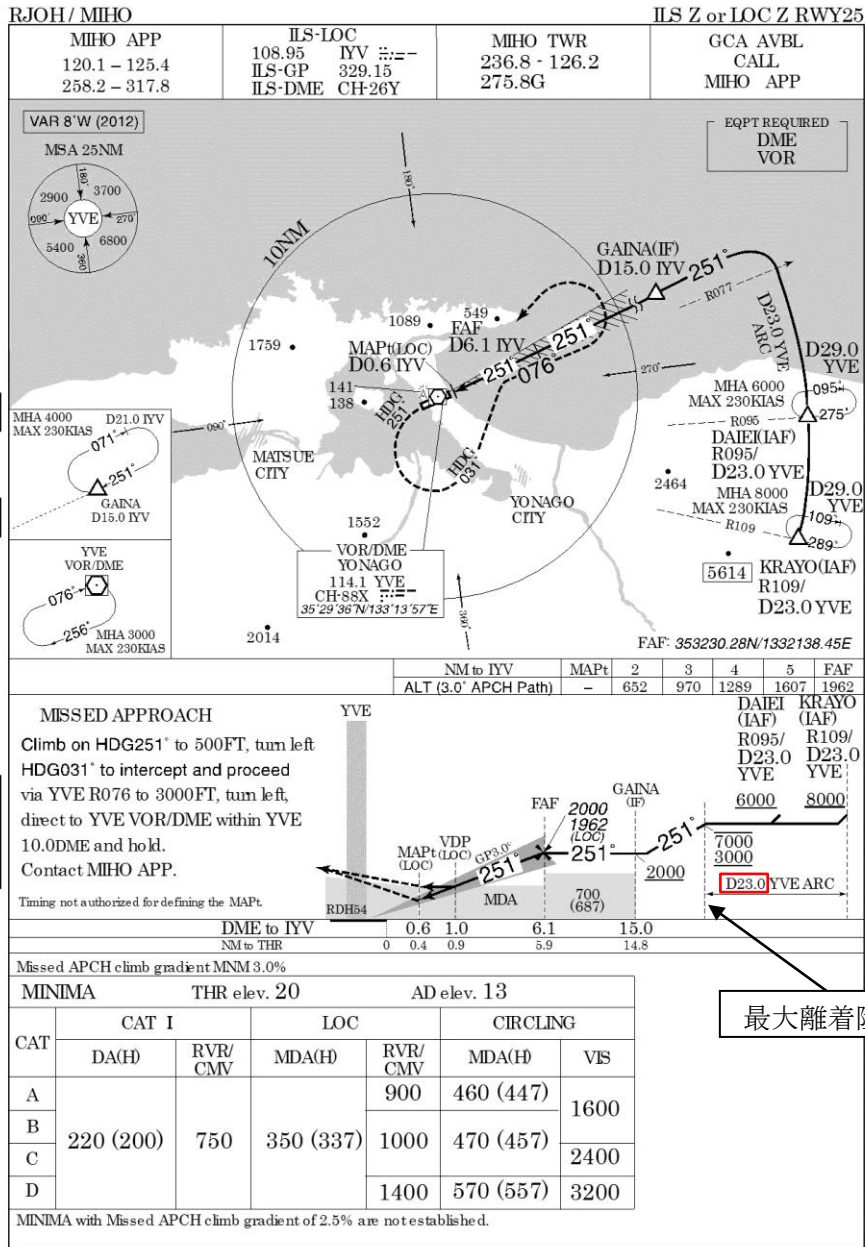
最大離着陸地点

Circling to NORTH side of RWY only.
MINIMA with Missed APCH climb gradient of 2.5% are not established.

「AIP JAPAN」より抜粋

最大離着陸地点 (出雲空港)

INSTRUMENT APPROACH CHART



「AIP JAPAN」より抜粋

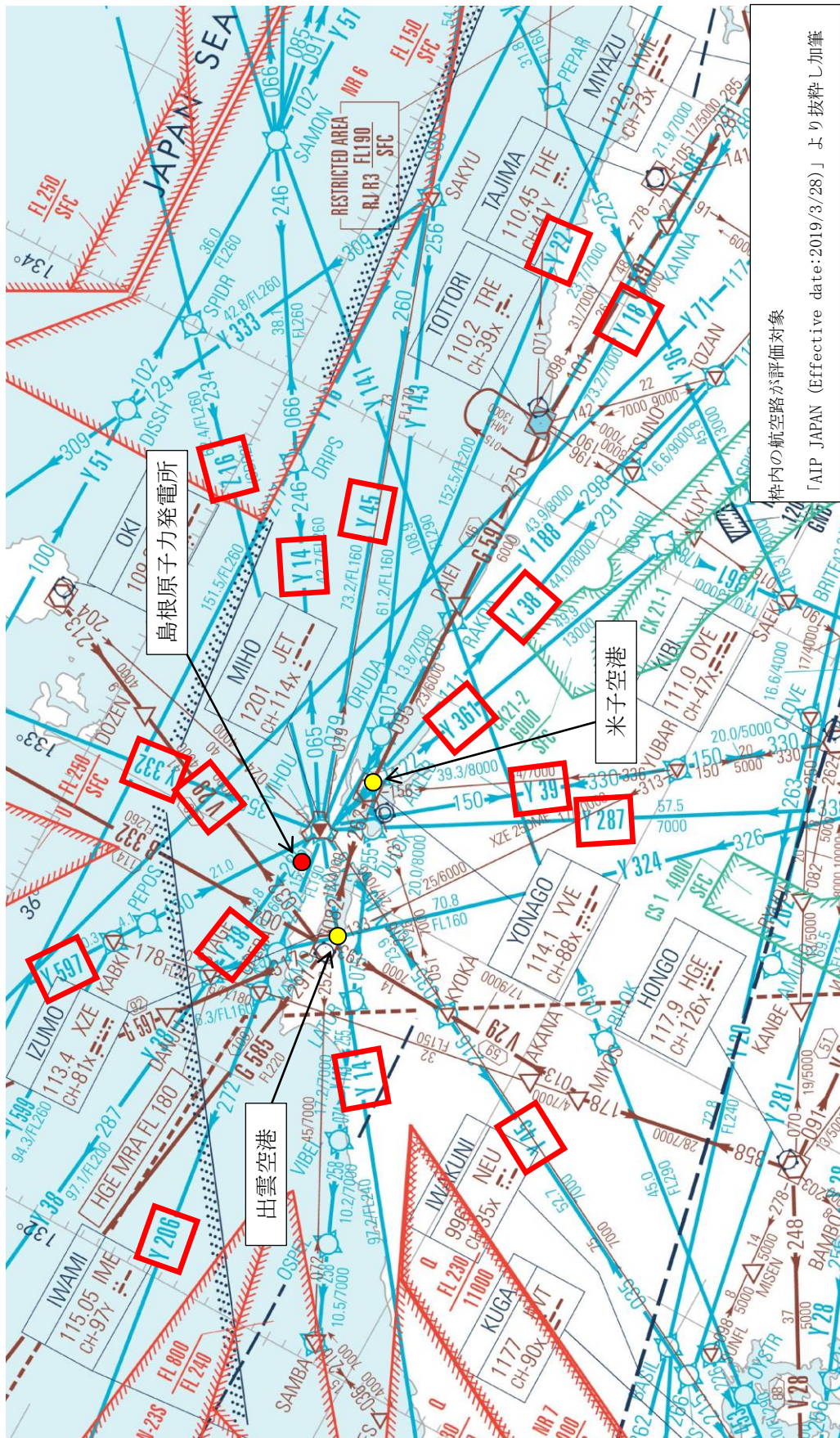
最大離着陸地点 (米子空港)

島根原子力発電所周辺の航空路と各航空路の幅について

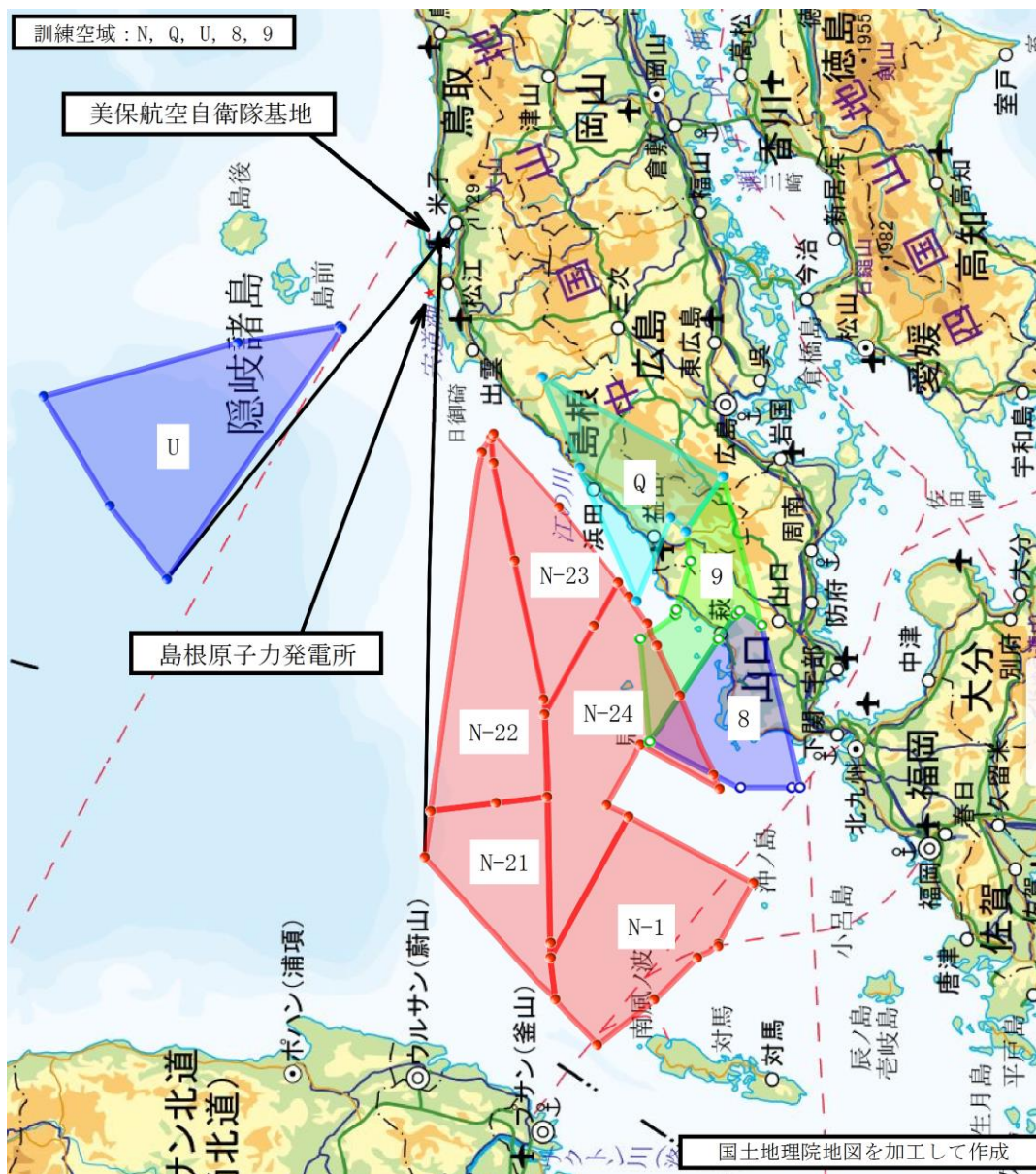
号炉	周辺航空路名称	航空路の中心線と発電所間の距離 ^{注1}	片側の航空路幅 ^{注2}	判定	備考
2号炉	航空路 V29 (IZUMO(XZE)-DOZEN)	約3.1km	7km	対象	別紙 2-1
	RNAV経路 Z16 (MIHO(JET)-SPIDR)	約8.7km	約9.3km	対象	別紙 2-1
	RNAV経路 Y14 (MIHO(JET)-DRIPS)	約8.7km	約9.3km	対象	別紙 2-1
	RNAV経路 Y14 (MIHO(JET)-HALNA)	約5.9km	約9.3km	対象	別紙 2-1
	RNAV経路 Y45 (MIHO(JET)-SAKYU)	約8.7km	約9.3km	対象	別紙 2-1
	RNAV経路 Y45 (MIHO(JET)-KYOKA)	約8.0km	約9.3km	対象	別紙 2-1
	RNAV経路 Y22 (MIHO(JET)-TRUGA)	約8.7km	約9.3km	対象	別紙 2-1
	RNAV経路 Y18 (MIHO(JET)-RAKDA)	約8.7km	約9.3km	対象	別紙 2-1
	RNAV経路 Y38 (MIHO(JET)-TSUNO)	約8.7km	約9.3km	対象	別紙 2-1
	RNAV経路 Y38 (MIHO(JET)-STAGE)	約0.53km	約9.3km	対象	別紙 2-1
	RNAV経路 Y361 (MIHO(JET)-TONBI)	約8.7km	約9.3km	対象	別紙 2-1
	RNAV経路 Y39 (MIHO(JET)-YUBAR)	約8.7km	約9.3km	対象	別紙 2-1
	RNAV経路 Y287 (MIHO(JET)-SOUJA)	約8.7km	約9.3km	対象	別紙 2-1
	RNAV経路 Y206 (MIHO(JET)-YAKMO)	約1.7km	約9.3km	対象	別紙 2-1
	RNAV経路 Y597 (MIHO(JET)-PEPOS)	約3.9km	約9.3km	対象	別紙 2-1
RNAV経路 Y332 (MIHO(JET)-KAPPA)	約8.4km	約9.3km	対象	別紙 2-1	

注1：施設と空港の経度、緯度より計測した。

注2：航空路については、「航空路の指定に関する告示」を参照した。RNAV航路については、「飛行方式設定基準」に基づく航法精度を航空路の幅とみなして用いた。
(1NM=1.852kmとして換算)



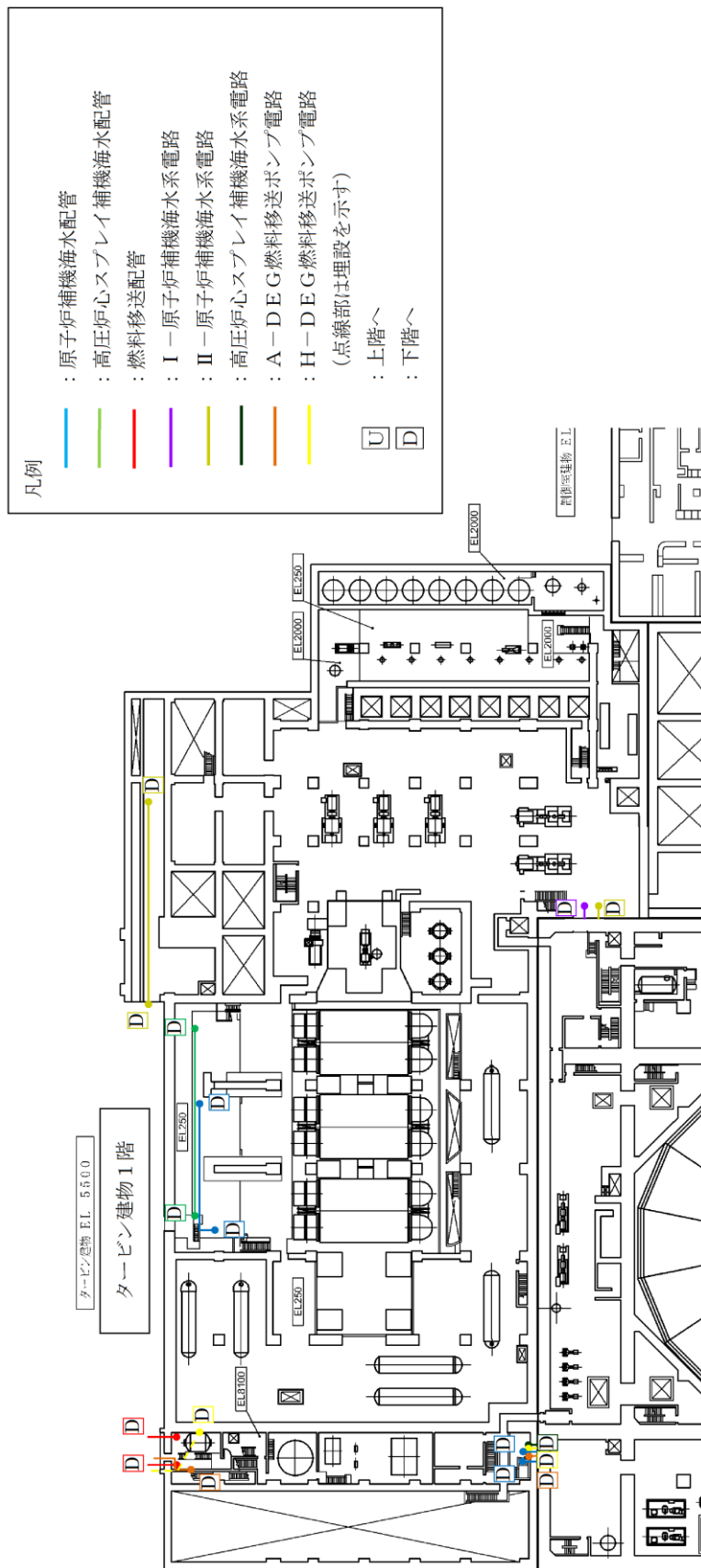
発電所周辺の航空図



島根原子力発電所，美保航空自衛隊基地と訓練空域との位置関係
 (「A I P J A P A N (Effective date:2019/7/18)」における
 訓練空域の座標に基づき作成)

航空機落下確率評価に係る標的面積（島根原子力発電所）

2号炉	面積 (km ²)		炉心、使用済燃料プール 及び原子炉の安全停止（炉心 冷却も含む。）に必要な設備	備 考
	水平面積	投影面積		
原子炉建物	0.006258	0.022304 ※1	<ul style="list-style-type: none"> ・炉心 ・燃料プール ・主要な安全系機器 	※1： 3つの建物 を包含する1 つの建物とし て投影面積を 算出
タービン建物	0.007799		<ul style="list-style-type: none"> ・原子炉補機海水系（配管， 電路） ・高圧炉心スプレー補機海水 系（配管，電路） ・A，HPCS-非常用デー ーゼル発電機燃料移送ポン プ（配管，電路） （別紙4-1参照） 	
廃棄物処理建物	0.003015		<ul style="list-style-type: none"> ・補助盤室 ・バッテリー室 ・計装用電気室 ・中央制御室換気系 	
制御室建物 (共用)※2	0.000756	0.000945	<ul style="list-style-type: none"> ・中央制御室 	※2： 1号炉，2 号炉合計
取水槽	0.001337	0.001337 ※3	<ul style="list-style-type: none"> ・原子炉補機海水系（ポン プ，配管，ストレーナ） ・高圧炉心スプレー補機海水 系（ポンプ，配管，ストレ ーナ） 	※3： 地上に対象 施設が無いた め投影面積は 水平面積と同 じ
合 計 (標的面積)	0.01917	0.02459		



(タービン建物 1階)

タービン建物に施設される原子炉の安全停止（炉心冷却も含む。）に必要な設備の配置

国内での離着陸回数及び延べ飛行距離

1. 国内での離着陸回数

国内での離着陸回数のデータは、表1のとおり「航空機落下事故に関するデータ（平成11～30年）」（令和3年2月 原子力規制庁）の民間航空機（大型固定翼機、計器飛行方式）の離着陸回数の値とする。

表1 離着陸回数

	国内線（回）	国際線（回）	合計（回）
平成11年	1,189,856	252,902	1,442,758
平成12年	1,321,910	260,816	1,582,726
平成13年	1,343,192	261,576	1,604,768
平成14年	1,367,468	279,976	1,647,444
平成15年	1,399,700	275,410	1,675,110
平成16年	1,397,124	313,204	1,710,328
平成17年	1,418,292	333,094	1,751,386
平成18年	1,481,264	341,074	1,822,338
平成19年	1,483,448	355,416	1,838,864
平成20年	1,467,684	358,134	1,825,818
平成21年	1,432,724	336,198	1,768,922
平成22年	1,432,748	348,972	1,781,720
平成23年	1,431,040	354,322	1,785,362
平成24年	1,539,914	388,538	1,928,452
平成25年	1,643,536	395,086	2,038,622
平成26年	1,686,160	428,202	2,114,362
平成27年	1,689,272	477,100	2,166,372
平成28年	1,679,378	533,560	2,212,938
平成29年	1,691,244	564,744	2,255,988
平成30年	1,690,008	588,942	2,278,950
合計	29,785,962	7,447,266	37,233,228

2. 延べ飛行距離

延べ飛行距離のデータは、表2のとおり「航空機落下事故に関するデータ（平成11～30年）」（令和3年2月 原子力規制庁）の民間航空機（大型固定翼機，計器飛行方式）の延べ飛行距離の値とする。

表2 延べ飛行距離

	国内線 (km)	国際線 (km)	合計 (km)
平成11年	459,941,610	3,000,000	462,941,610
平成12年	480,695,802	3,000,000	483,695,802
平成13年	489,782,465	3,000,000	492,782,465
平成14年	498,480,635	3,500,000	501,980,635
平成15年	519,275,755	3,500,000	522,775,755
平成16年	517,051,659	3,900,000	520,951,659
平成17年	527,104,292	3,700,000	530,804,292
平成18年	555,392,832	3,700,000	559,092,832
平成19年	559,616,583	3,800,000	563,416,583
平成20年	554,535,973	3,800,000	558,335,973
平成21年	544,494,742	3,600,000	548,094,742
平成22年	548,444,056	3,600,000	552,044,056
平成23年	554,156,367	3,400,000	557,556,367
平成24年	607,933,799	3,600,000	611,533,799
平成25年	656,587,038	3,700,000	660,287,038
平成26年	678,832,124	3,800,000	682,632,124
平成27年	681,945,100	3,900,000	685,845,100
平成28年	682,890,250	4,200,000	687,090,250
平成29年	689,723,341	4,400,000	694,123,341
平成30年	690,566,330	4,600,000	695,166,330
合計	11,497,450,753	73,000,000	11,570,450,753

評価対象となる航空路の飛行回数

(飛行回)

東京航空交通管制部 ピークデイ ^{注1}	平成30年上半期 (H30.6.6) 交通量	平成30年下半期 (H30.8.7) 交通量	評価に用いる 数値 ^{注2}
航空路 V29 (IZUMO(XZE)-DOZEN)	1	1	上半期合計：1便 下半期合計：1便 1×365日＝ 365便／年間
RNAV 経路 Z16 (MIHO(JET)-SPIDR)	2	4	上半期合計：469便 下半期合計：512便 512×365日＝ 186,880便／年間
RNAV 経路 Y14 (MIHO(JET)-DRIPS)	77	88	
RNAV 経路 Y14 (MIHO(JET)-HALNA)	76	75	
RNAV 経路 Y45 (MIHO(JET)-SAKYU)	43	52	
RNAV 経路 Y45 (MIHO(JET)-KYOKA)	35	45	
RNAV 経路 Y22 (MIHO(JET)-TRUGA)	7	7	
RNAV 経路 Y18 (MIHO(JET)-RAKDA)	20	16	
RNAV 経路 Y38 (MIHO(JET)-TSUNO)	10	13	
RNAV 経路 Y38 (MIHO(JET)-STAGE)	23	29	
RNAV 経路 Y361 (MIHO(JET)-TONBI)	75	73	
RNAV 経路 Y39 (MIHO(JET)-YUBAR)	3	3	
RNAV 経路 Y287 (MIHO(JET)-SOUJA)	0	0	
RNAV 経路 Y206 (MIHO(JET)-YAKMO)	32	41	
RNAV 経路 Y597 (MIHO(JET)-PEPOS)	66	66	
RNAV 経路 Y332 (MIHO(JET)-KAPPA)	0	0	

注1：国土交通省航空局に問合せ入手したデータ。ここで、ピークデイとは、東京航空交通管制部が全体として取り扱った交通量が半年間で最も多かった日のことであり、当該経路における交通量が半年間で最も多かった日とは必ずしも一致しない。

注2：航空路及びRNAV経路それぞれについて、上半期の合計値と下半期の合計値を比較し、大きいものを評価に用いた。

航空機落下確率評価に用いたデータの収集期間について

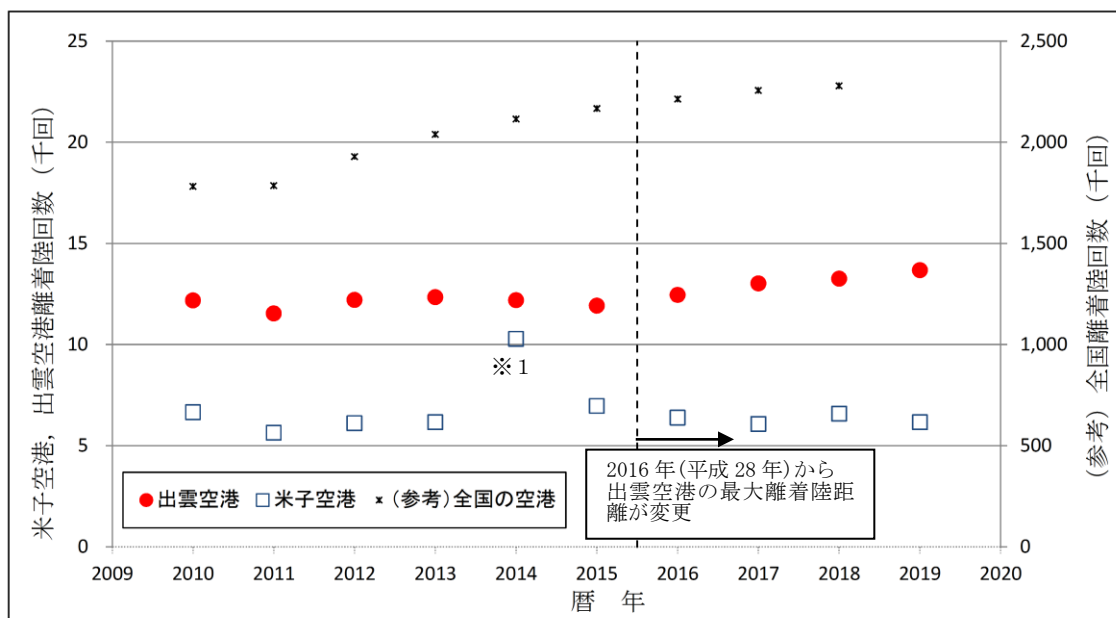
1. 当該飛行場での離着陸回数及び当該航空路等の飛行回数について

(1) 当該飛行場での離着陸回数について

当該飛行場での離着陸回数データは、調査対象を国土交通省HPに掲載されている空港管理状況調書としており、入手可能な最新データは2019年（令和元年）である。

評価に使用するデータとしては、①発電所周辺の航路状況として、2016年（平成28年）から航空路誌（AIP）の出雲空港のアプローチ・チャートが変更となったこと（最大離着陸距離が短くなり、離着陸時の事故における落下地点確率分布関数の値が大きくなったこと）から、2016年（平成28年）以降のデータとし、②出雲空港及び米子空港の離着陸回数は、図-1のとおり過去10年間で多少の増減はあるもののほぼ一定であることから、入手可能な範囲での最新データ（2019年（令和元年））とする。

発電所周辺の航路状況が変更となる以前も含めて落下事故の確率を評価した結果を表-1に示す。評価には当該飛行場の離着陸回数だけでなく最大離着陸距離が関係するため、出雲空港及び米子空港の合計値を比較する。評価結果より、入手可能な範囲での最新データ（2019年（令和元年））の評価値が最も厳しい結果となっており、評価で使用するデータは妥当であることを確認した。



※1：2014年（平成26年）の米子空港は、新たな航空会社が参入し、路線数が約2倍になり離着陸回数が急増したが、1年余りで撤退した。

図-1 出雲空港及び米子空港の離着陸回数の推移

（「航空機落下事故に関するデータ（平成11～30年）」（令和3年2月 原子力規制庁）及び「暦年・年度別空港管理状況調書（H22～R1）」（国土交通省）により作成）

表－1 飛行場での離着陸時における落下事故の確率評価結果

評価年	評価値※	最新評価年との比率	備考
2013年（平成25年）	6.19E-09	0.42	出雲空港の最大離陸距離変更前
2014年（平成26年）	7.58E-09	0.51	
2015年（平成27年）	6.33E-09	0.43	
2016年（平成28年）	1.38E-08	0.93	出雲空港の最大離陸距離変更後
2017年（平成29年）	1.42E-08	0.96	
2018年（平成30年）	1.46E-08	0.98	
2019年（令和元年）	1.49E-08	1.00	

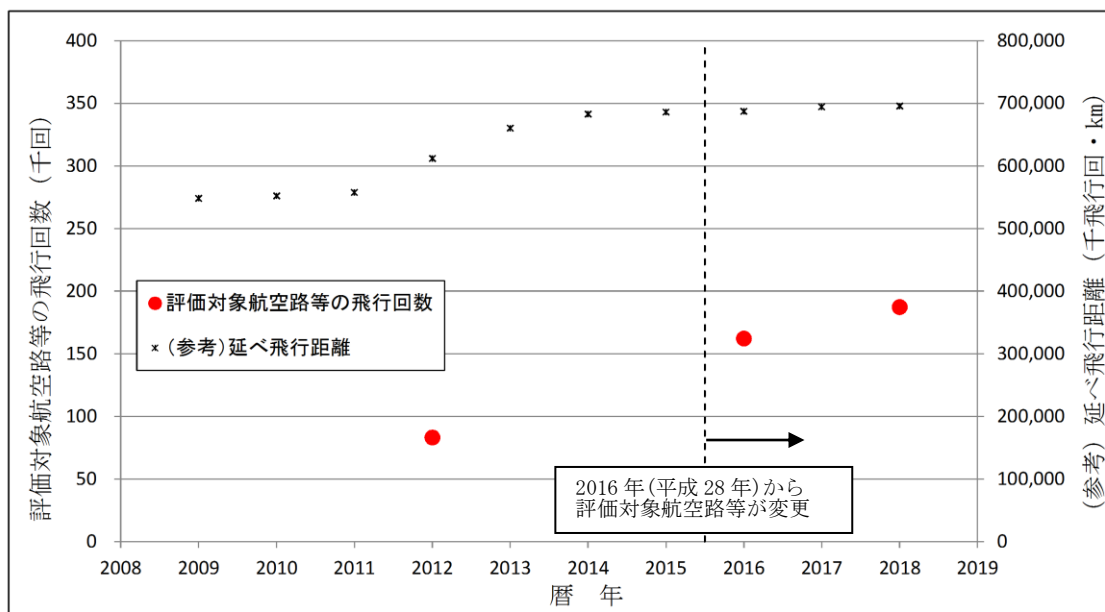
※：事故率については1999年（平成11年）1月～2018年（平成30年）12月のデータ

(2) 当該航空路等の飛行回数について

当該航空路等での飛行回数データは、国土交通省より入手したデータ（平成 24, 28, 30 年）を調査対象としており、入手可能な範囲での最新データは 2018 年（平成 30 年）である。

評価に使用するデータとしては、①発電所周辺の航路状況は、2016 年（平成 28 年）から航空路誌（A I P）の航空路等（エンルート・チャート）が変更となったこと（評価対象航空路等が増加したこと）から、2016 年（平成 28 年）又は 2018 年（平成 30 年）のデータとし、②発電所周辺の評価対象航空路等の飛行回数は、図－2 のとおり増加傾向であることから、入手可能な範囲での最新データ（2018 年（平成 30 年））とする。

発電所周辺の航路状況が変更となる以前も含めて落下事故の確率を評価した結果を表－2 に示す。評価結果より、入手可能な範囲での最新データ（2018 年（平成 30 年））の評価値が最も厳しい結果となっており、評価で使用するデータは妥当であることを確認した。



図－2 発電所周辺の評価対象航空路等の飛行回数の推移

(「航空機落下事故に関するデータ（平成 11～30 年）」（令和 3 年 2 月 原子力規制庁）及び国土交通省航空局から入手したデータにより作成)

表－2 航空路を巡航中の落下事故の確率評価結果

評価年	評価値※	最新評価年との比率	備考
2012年（平成24年）	4.47E-09	0.53	評価対象航空路等の変更前
2016年（平成28年）	7.27E-09	0.87	評価対象航空路等の変更後
2018年（平成30年）	8.39E-09	1.00	

※：事故率については1999年（平成11年）1月～2018年（平成30年）12月のデータ

電磁的障害影響評価について

(1) 概要

電磁的障害には、サージ・ノイズや電磁波の侵入があり、これらは低電圧の計測制御回路に対して影響を及ぼす恐れがある。

このため、計測制御回路を構成する安全保護系の制御盤及びケーブルは、日本産業規格（J I S）等に基づき、ラインフィルタや絶縁回路の設置により、サージ・ノイズの侵入を防止するとともに、鋼製筐体や金属シールド付ケーブルの適用により電磁波の侵入を防止する設計としている。

(2) 規格に基づく電磁的障害対策

a. J I Sに基づくサージ・ノイズ、電磁波の侵入防止設計

計測制御回路を構成する安全保護系の制御盤及びケーブルは、J I S C60364-4-44:2011（低圧電気設備-第 4-44 部：安全保護-妨害電圧及び電磁妨害に対する保護）で定められている、下記の設計基準に準拠した設備である。

- ・電磁的影響に敏感な電気機器に対してサージ保護装置又はフィルタを用いる。
- ・ケーブルの金属製被覆（シールド）はC B N（接地）に接続する。
- ・ほぼ大地電位に等しい電位の基準電位を機器用接地導体によって確保する。（鋼製筐体の接地）

b. J E Cに基づくサージ・ノイズ耐性

計測制御回路を構成する安全保護系の制御盤は、サージ・ノイズの侵入に対して、J E C-0103-2005（低圧制御回路試験電圧標準）で定められた、下記のテスト波形に耐える設計としている。（図1）

- ・電圧値：4 kV 程度，波形：1.2/50 μ s
（ピーク電圧までの立ち上がりに 1.2 μ s，その後 50%電圧までの降下に 50 μ s を要する電圧波形）

(3) サージ・ノイズ、電磁波に対する具体策

計測制御回路を構成する安全保護系の制御盤及びケーブルは、原則として以下の設計としている。（図2，3）

a. サージ・ノイズ対策

(a) 電源回路

制御盤へ入線する電源受電部にサージ・ノイズ対策回路としてラインフ

フィルタを設置し、外部からのサージ・ノイズの侵入を防止する設計としている。

(b) 信号入出力回路

外部からの信号入出力部に、サージ・ノイズ対策回路としてラインフィルタや絶縁回路を設置し、外部からのサージ・ノイズの侵入を防止する設計としている。

b. 電磁波対策

(a) 筐体

制御盤の制御部、演算部は鋼製の筐体に格納し、筐体は接地することで電磁波の侵入を防止する設計としている。

(b) ケーブル

ケーブルは必要により金属シールド付ケーブルを使用し、金属シールドは接地して電磁波の侵入を防止する設計としている。

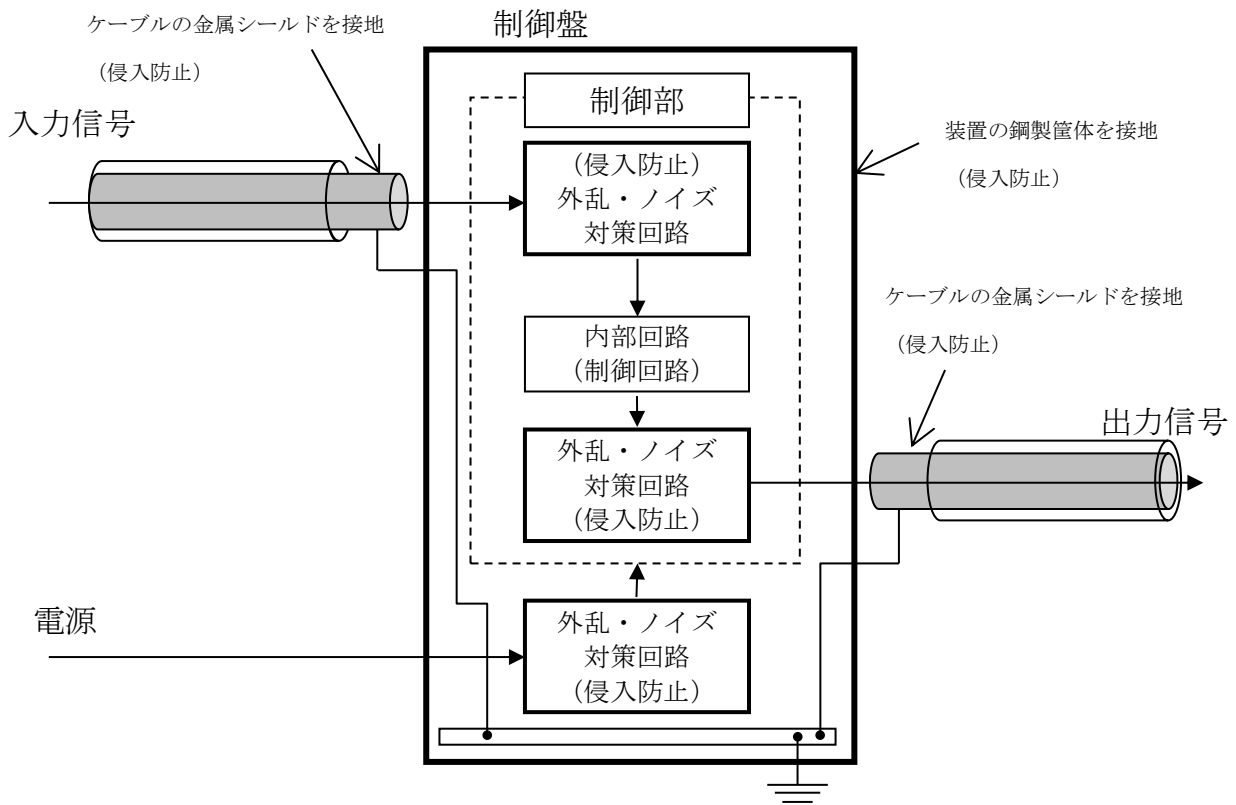
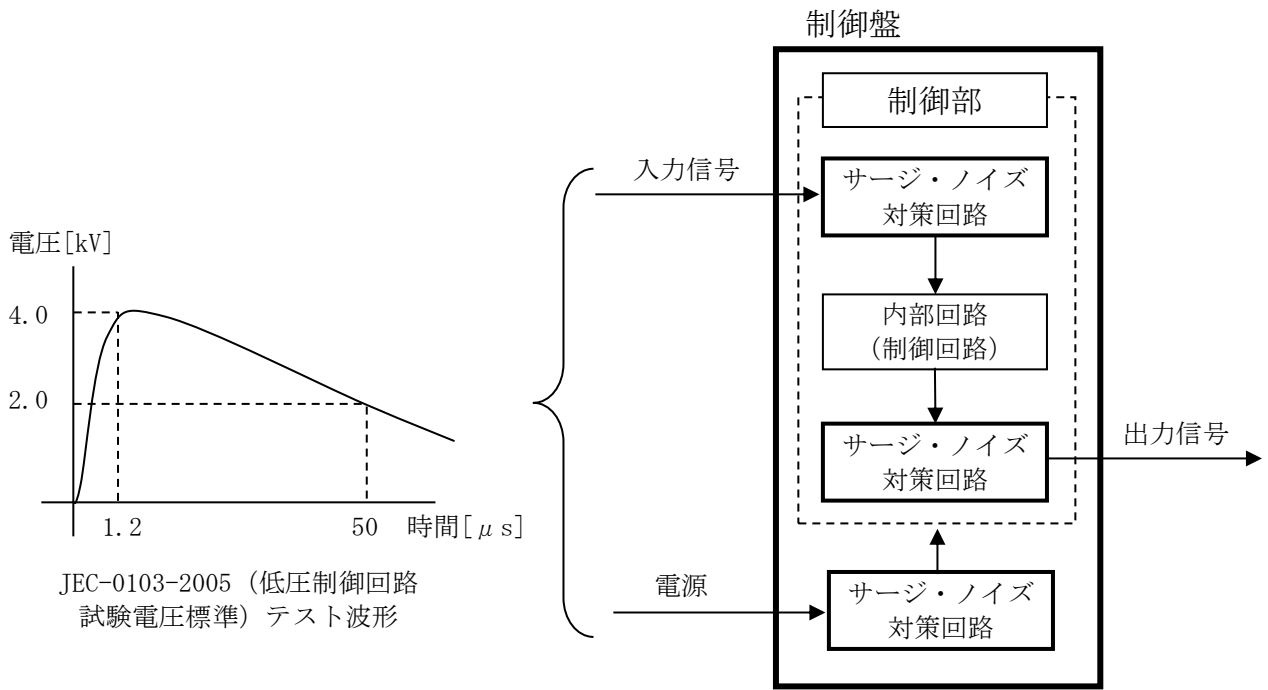
(4) 電磁波等の発生源に対する対策

サージ・ノイズや電磁波に対して、安全保護系の制御盤は侵入を防止する設計としているが、さらに中央制御室や補助盤室では無線機器の使用を制限している。

また、高圧動力ケーブルは金属シールド付とするとともに、計装ケーブルとは別の鋼製ケーブル・トレイに布設することで、高圧動力回路に地絡等が生じた場合に計装回路への電磁的影響を及ぼさない設計としている。(図4)

(5) 安全保護系の制御盤の耐ノイズ、耐サージ及び耐電圧性能

安全保護系の制御盤の耐ノイズ、耐サージ及び耐電圧性能は、ノイズ、サージの種別ごとに規格に基づいた耐力を持たせる設計とし、それぞれ型式試験により確認している。



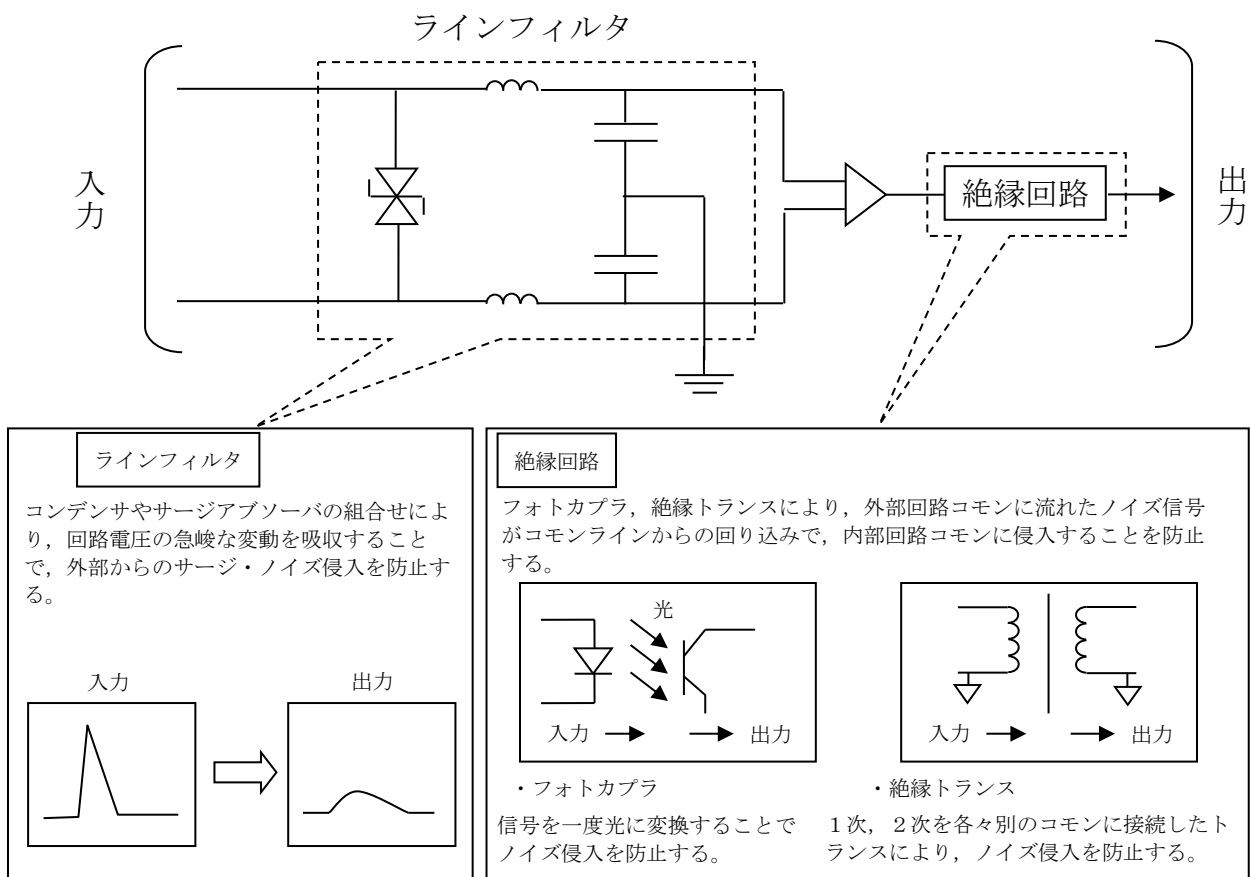


図3 外乱・ノイズ対策の概要

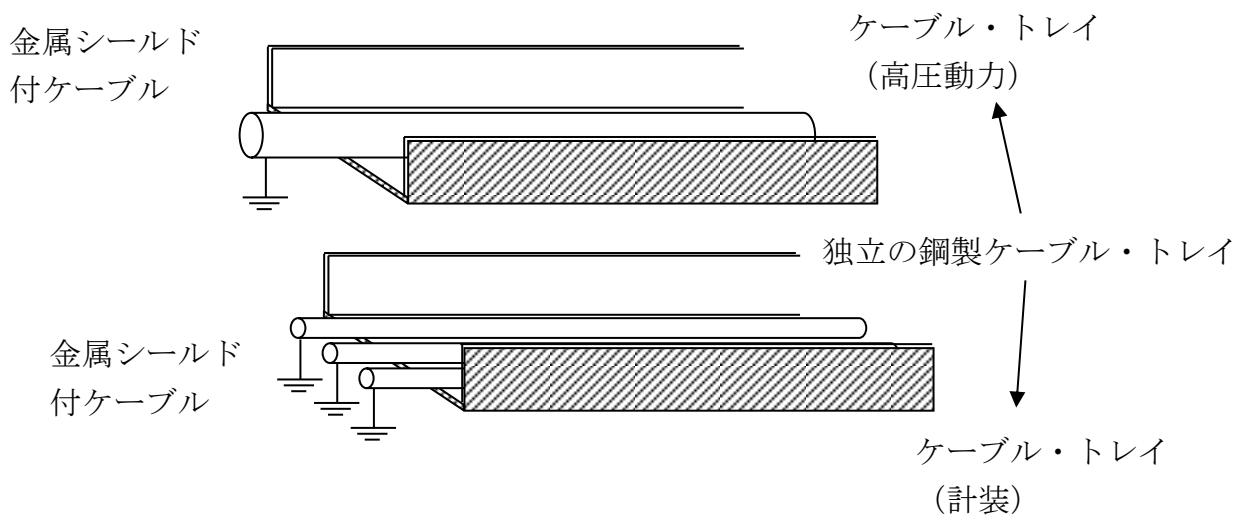


図4 電磁波等の発生源に対する対策の概要

主荷重と組み合わせる場合の積雪荷重の考え方について

1. 荷重の組合せの考え方

地震、津波及び火山と積雪は相関性が低い事象の組合せであるため、重畳を考慮する際は、Turkstra の経験則を適用する。Turkstra の経験則の考え方は、建築基準法や、土木学会「性能設計における土木構造物に対する作用の指針」、国土交通省「土木・建築にかかる設計の基本」、ANSI (米国国家規格協会) 等で採用されている。Turkstra の経験則は、基準期間中の最大値はある荷重（主荷重）の最大値とその他の荷重（従荷重）の任意時刻における値（平均値）との和として荷重の組合せを考慮する。

地震、津波及び火山の影響と積雪の重ね合わせにおいて、地震、津波及び火山の影響の荷重条件は積雪の荷重条件より厳しく、発生した際の荷重が比較的大きいことから主荷重となる。したがって、地震、津波及び火山の影響との重ね合わせにおいては、積雪を従荷重として評価を実施する。

2. 従荷重として組み合わせる積雪荷重の設定方法

主荷重である地震、津波及び火山の影響の荷重に対して組み合わせる積雪荷重の平均値について関連する規格・基準等を踏まえて、以下のとおり検討を行った。

(1) 建築基準法の考え方を準用して平均値を求めた場合

建築基準法では、別紙1のとおり多雪区域^{*1}において主荷重である地震・暴風と組み合わせる場合の平均的な積雪量として、短期積雪荷重の0.35倍の積雪量を考慮することとしている。島根原子力発電所周辺は多雪区域ではないが、短期積雪荷重の0.35倍の積雪量を考慮すると、算出される平均的な積雪量は35.0cm（設計基準積雪量100cm×0.35）である。

(2) 観測記録により年最大積雪深の平均値を求めた場合

従荷重として想定する積雪荷重について、平均的な積雪荷重の一般的な設定方法として、最寄りの気象官署における月最深積雪の年最大の平均値を求める方法がある。敷地に最も近い気象官署である松江地方気象台（松江市）における月最深積雪の年最大の平均値は気象観測データ（観測期間：1941年～2018年）より24.9cmである。

検討の結果、算出される平均的な積雪量は、建築基準法の考え方を準用して平均値を求めた場合（35.0cm）が最も大きな値となる。

以上の検討より、島根原子力発電所における主荷重と組み合わせる場合の積雪荷重の積雪量は、設計基準積雪量100cmに係数0.35を考慮した積雪量(35.0cm)を採用する。

- ※1 垂直積雪量が1mを超える場合又は1年ごとの積雪の継続時間が30日を超える場合で、管轄の特定行政庁が規則で指定した区域（建築基準法より）

建築基準法における自然現象の組合せによる荷重の考え方

「建築物荷重指針・同解説(2015)」によると、建築基準法における組合せは、基本的には Turkstra の経験則^{*1}と同様の考え方であり、同経験則に従えば、考慮すべきは主たる荷重が最大を取る時点の荷重の組合せであり、従たる荷重の値としては、その確率過程的な意味での平均的な値を採用することができるとしている。

組合せは、一般には短期においてのみであり、固定荷重と積載荷重に組み合わせる自然現象による荷重は単独の「積雪」、「風」及び「地震」である。

また、それらを組み合わせることはない。建築基準法における荷重の考え方を表 1 に示す。

表 1 建築基準法施行令からの抜粋

力の種類	荷重及び外力について 想定する状態	一般の場合	第 86 条第 2 項ただし書の規定により特定行政庁が指定する多雪区域における場合
長期に生ずる力	常時	G + P	G + P
	積雪時		G + P + 0.7 S
短期に生ずる力	積雪時	G + P + S	G + P + S
	暴風時	G + P + W	G + P + 0.35 S + W
	地震時	G + P + K	G + P + 0.35 S + K

ここで、
 G : 第 84 条に規定する固定荷重によって生ずる力
 P : 第 85 条に規定する積載荷重によって生ずる力
 S : 第 86 条に規定する積雪荷重によって生ずる力
 W : 第 87 条に規定する風圧力によって生ずる力
 K : 第 88 条に規定する地震力によって生ずる力

島根原子力発電所は該当しないが、建築基準法では、その地方における垂直積雪量が 1 m を超える場合又は 1 年ごとの積雪の継続時間が 30 日を超える場合は、管轄の特定行政庁が規定でその地方を多雪区域に指定するとともに、その地方における積雪荷重を規定している。一方、島根原子力発電所が存在する多雪区域指定のない地域においては、暴風時及び地震時の積雪荷重に関する組合せを考慮する必要はないとされている。

建築物の構造計算に当たって考慮すべき積雪荷重として、次の 4 つの状態が設定されている。^{*2}

① 短期に発生する積雪状態

この状態に対する積雪荷重は、短期積雪荷重と呼ばれており、冬季の最大積雪としておおむね3日程度の継続期間を想定した50年再現期待値として設定される値である。

$$S = d \cdot \rho$$

ここで、

S：短期積雪荷重 (N/m²)

d：垂直積雪量 (cm)

ρ：積雪の単位荷重^{※3} (N/cm/m²)

② 長期に発生する積雪状態

この状態に対する積雪荷重は、長期積雪荷重と呼ばれ、おおむね3か月程度の継続期間を想定したものである。この荷重は多雪区域における建築物の構造計算を行うときにのみ用いられる荷重であり、その値は短期積雪荷重の0.7倍である。

③ 冬季の平均的な積雪状態

この状態は、多雪区域において積雪時に強い季節風等の暴風又は地震に襲われたときに想定するものである。この場合の荷重・外力を「主の荷重」と「従の荷重」に区分すると、風圧力又は地震力を「主の荷重」、積雪荷重を「従の荷重」とみなすことができる。「従の荷重」として想定する積雪はその地方における冬季の平均的な積雪で、①項の短期積雪荷重の0.35倍である。

④ 極めて稀に発生する積雪状態

この状態に対する積雪荷重は、構築物が想定すべき最大級の荷重として、①項の短期積雪荷重の1.4倍である。

※1 基準期間中の最大値はある荷重（主荷重）の最大値とその他の荷重（従荷重）の任意時刻における値との和によって近似的に評価できるとするもの

※2 「2007年版 建築物の構造関係技術基準解説書」

※3 積雪量1cm当たり20N/m²（建築基準法より）

船舶の衝突影響評価について

1. 基本方針

最も距離の近い航路でも島根原子力発電所より約6kmの離隔距離があり、航路を通行する船舶の衝突により、安全施設が安全機能を損なうことはない。

小型船舶が発電所近傍で漂流した場合でも、敷地前面の防波堤及び東防波堤（以下、「防波堤等」という。）により港湾内への侵入口は狭められていることから、侵入する可能性は低減されている（図1参照）。また、高潮の再現期間100年に対する期待値EL+1.36mに対して、防波堤はEL+5.5m、東防波堤はEL+1.8mの高さがあることから、小型船舶は防波堤等を乗り越えにくく、港湾内に侵入する可能性は低減されている（図2、図3参照）。仮に取水口側に侵入した場合でも、取水口の上端高さはEL-9.5mであり深層取水することにより、取水機能が損なわれるような閉塞は生じない設計とする。

船舶の座礁により重油流出事故が発生した場合に、深層から取水することにより、原子炉補機冷却系及び高圧炉心スプレイ補機海水系の取水性に影響が及ばない設計とする。また、必要に応じてオイルフェンスを設置する措置を講じる。

なお、津波発生時の漂流船舶による影響については、第五条（津波による損傷の防止）において取り扱う。

2. 敷地前面の航路について

島根原子力発電所周辺海域の航路としては、北東方向約6kmに加賀港から潜戸までの観光遊覧船が運航している。また、東北東方向約21kmに七類港から隠岐諸島までの高速船及びフェリーが運航している。発電所はこれらの航路の進行上にはなく、航路までの距離が離れていることから船舶の進入はない。

（図4、図5参照）

3. 小型船舶等の衝突による影響

航路外の船舶として、発電所周辺の船舶の影響評価を実施する。評価対象の船舶としては、第五条（津波による損傷の防止）において抽出した船舶とする。

第五条（津波による損傷の防止）では、漂流物の影響評価において、島根原子力発電所の周辺の漂流物となる可能性のある施設・設備等の抽出を行っており、構内（港湾内）の船舶として、燃料等輸送船、作業船、貨物船等、漁船を、構外（港湾外）の船舶として漁船、プレジャーボート、巡視船、引き船、タンカー、貨物船、帆船、作業船を抽出している。

構内（港湾内）の船舶については、異常気象・海象時、荒天が予測される場合には、必要に応じて、入港の中止・離岸等の措置を取ることとしていることから、漂流船舶とはならないと評価する。

構外（港湾外）の船舶のうち、巡視船、引き船、タンカー、貨物船、帆船については、発電所から3.5km以遠を航行していることから、漂流船舶とはならないと評価する。

構外（港湾外）の船舶のうち漁船、プレジャーボート、作業船については、荒天等により漂流に至るような場合であっても、投錨等の対応を取ることが可能と考えられる。また、取水口前面には防波堤等があることから、小型船舶が漂流し、構内（港湾内）に侵入する可能性は極めて低い。仮に取水口側に侵入した場合でも、取水口の上端高さEL-12.5～-9.5mに対して、朔望平均干潮位（L.W.L）EL-0.02mに小型船舶の喫水約1.5mを考慮しても船舶の下端はEL-3m程度であることから、取水路の閉塞はない（図1、図6、図7参照）。

仮に防波堤が損傷した場合でも、防波堤と2号炉の取水口との間には距離があること等から取水への影響はない。また、小型船舶が防波堤に衝突し沈没した場合においても、取水口呑口の断面寸法並びに非常用海水冷却系に必要な通水量及び小型船舶の寸法から、取水への影響はない。（別紙1参照）

4. 重油の流出による影響

燃料輸送船等が座礁し、運搬している重油等が流出するような場合についても、深層から取水していることから、取水機能に影響はない。また、必要に応じて、オイルフェンスを設置する措置を講じることができる。

なお、外部火災影響評価では、以下のとおりとしている。

重油運搬船の受け入れ時等に、輪谷湾（海上）に油が流出した場合には、公設消防に連絡するとともに、オイルフェンス設置による拡散防止等の油流出災害の拡大防止措置を講じている。

また、深層取水していることから発電用原子炉施設（海水ポンプ）への影響はない。

なお、重油運搬船の受け入れ時には、作業開始前にオイルフェンスを設置する運用を行っているため、重油流出時において緊急でオイルフェンスを設置する必要はない。

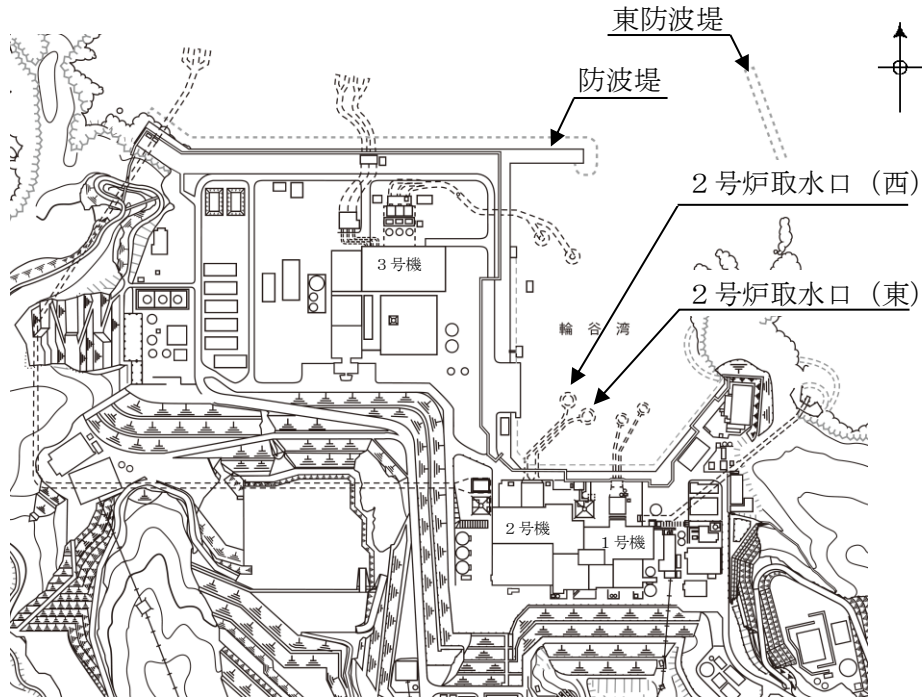


図1 取水口及び防波堤等の位置

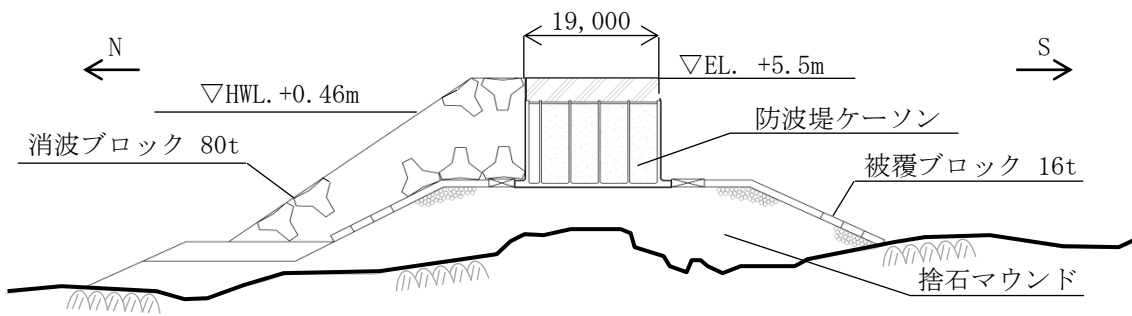


図2 防波堤（消波ブロック被覆堤）標準部

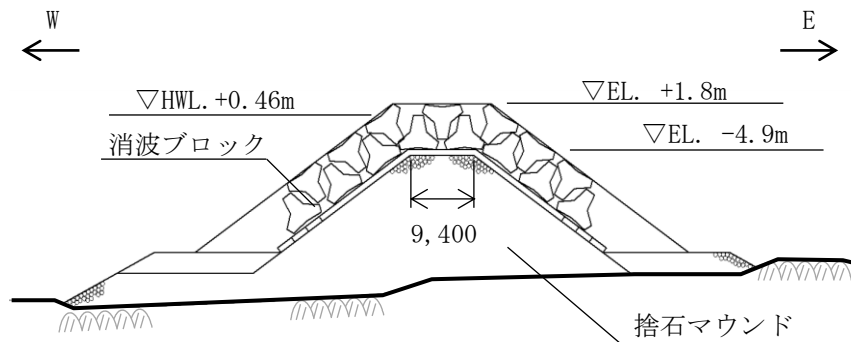


図3 東防波堤（消波ブロック傾斜堤）標準部

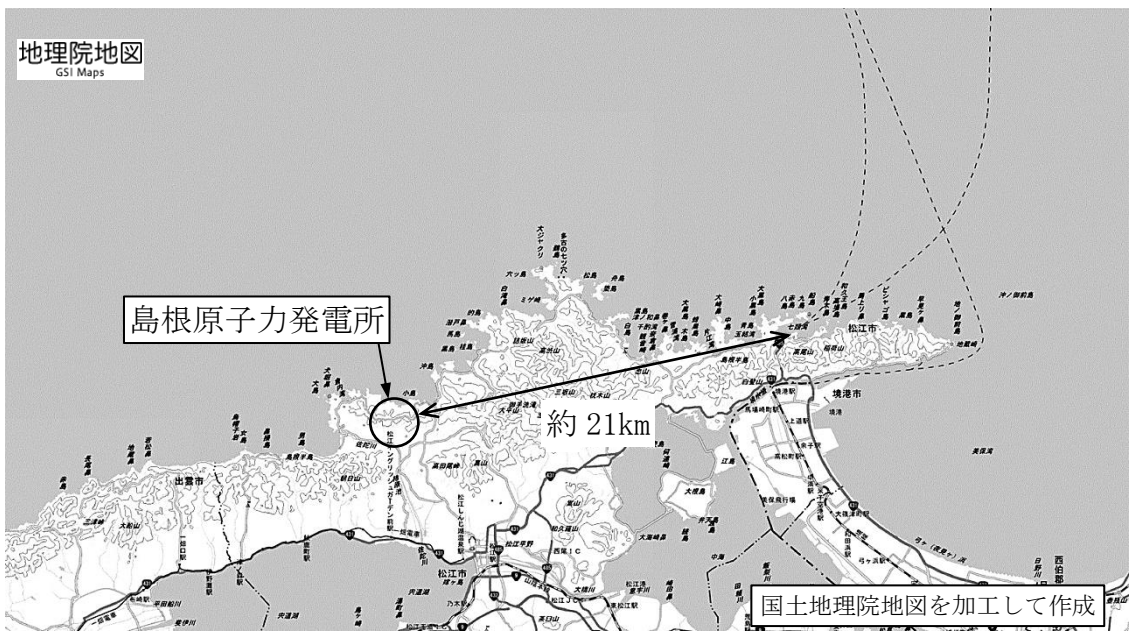


図4 発電所周辺の主要航路図

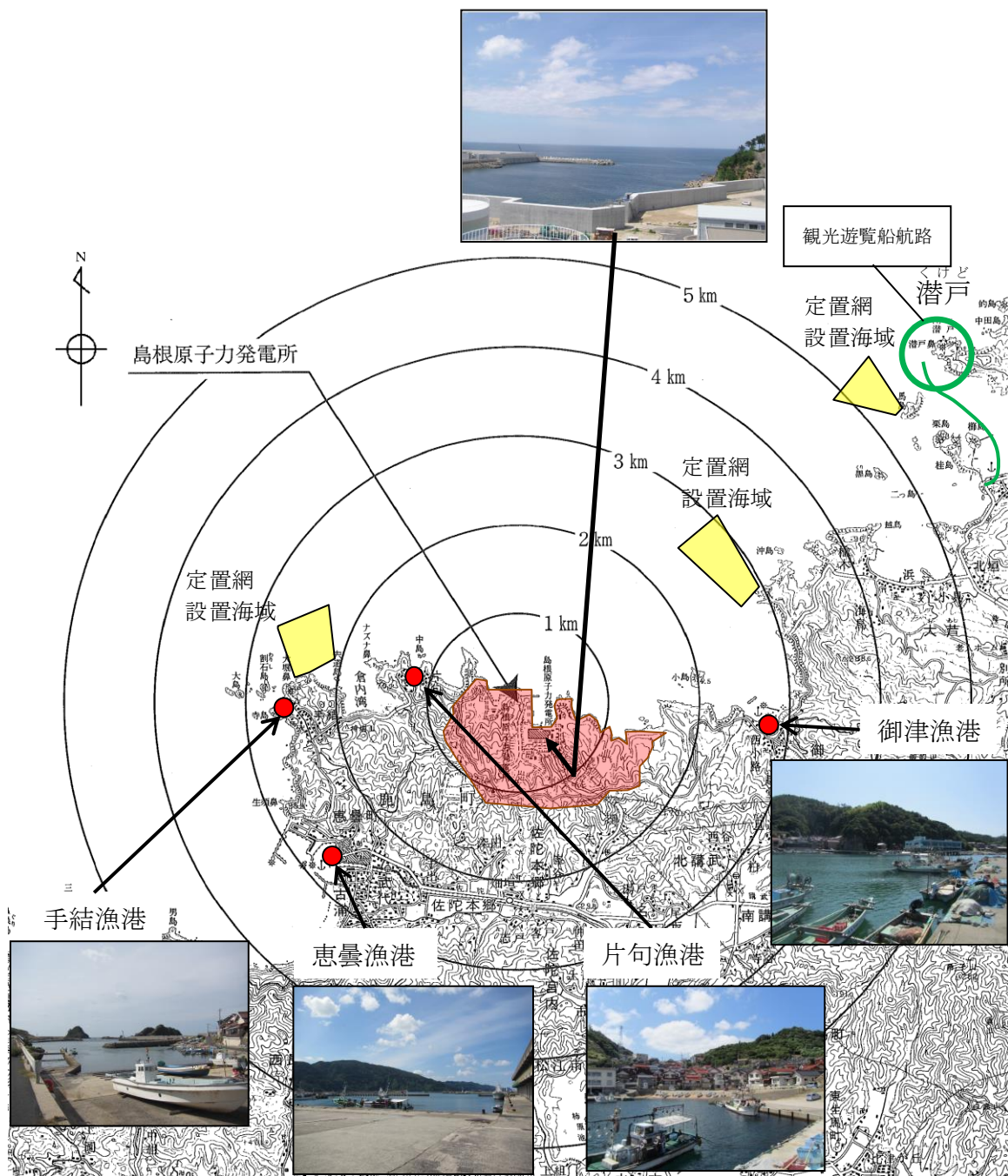


図5 発電所周辺の航路及び漁港等の位置

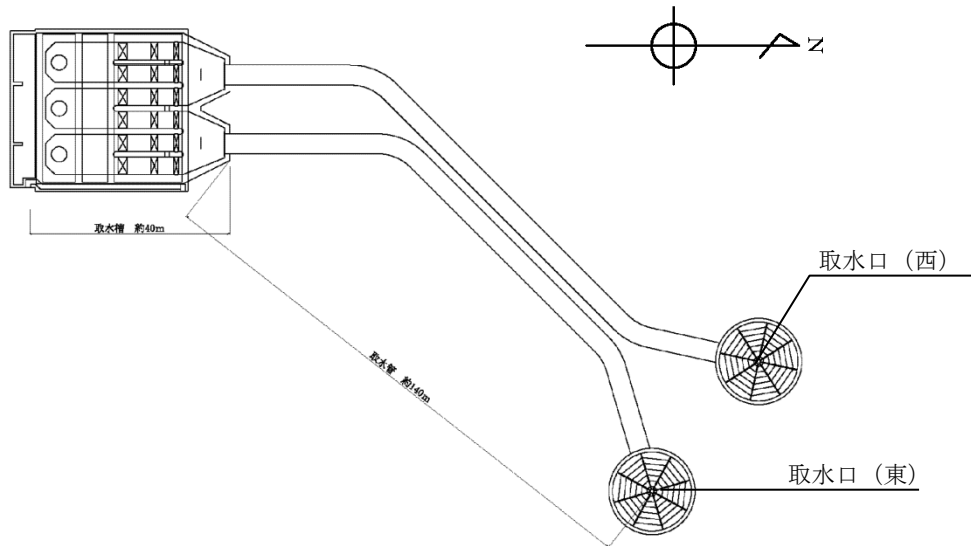


図6 取水口～取水ピット平面図

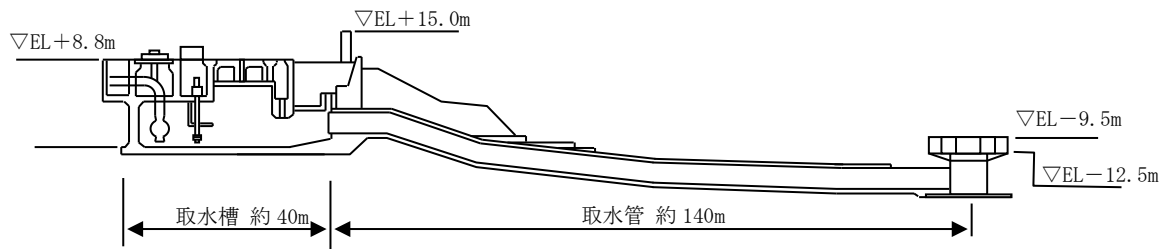


図7 取水口～取水ピット断面図

防波堤等による取水口への影響評価について

仮に防波堤が損傷した場合又は小型船舶が強風等の影響を受け防波堤に衝突し沈没した場合の取水口への影響について、以下のとおり評価した。

1. 防波堤が損傷した場合について

防波堤と2号炉の取水口との間には最短で約340mの距離があり、防波堤の主たる構成要素である防波堤ケーソン、消波ブロック、被覆ブロック及び基礎捨石は海水の比重より大きいことから、損傷した防波堤が、漂流によって2号炉の取水口に到達することはない。

なお、50kg～500kg程度の基礎捨石については、被覆ブロック等の下層に敷かれていること、2号炉の取水口との間に距離があること、港湾内に沈んだ場合においても海底面から取水口呑口下端まで5.5mの高さがあることを考えると、滑動、転動し、取水口に到達する可能性は小さいと考えられ、仮に到達するものがあつた場合でも、図1-1に示した取水口呑口の断面寸法と非常用海水冷却系に必要な通水量を考慮すると、非常用海水冷却系に必要な取水口及び取水路の通水性に影響を及ぼさないと考えられる。

以上より、防波堤が損傷した場合において、非常用海水冷却系に必要な2号炉の取水口及び取水路の通水性に影響を及ぼすことはないものと評価する。

2. 小型船舶が防波堤に衝突し沈没した場合について

万一、取水口呑口上部で沈降した場合においても、以下に示す取水口呑口の断面寸法並びに非常用海水冷却系に必要な通水量及び小型船舶の寸法^{※1}から、その接近により取水口が閉塞し、非常用海水冷却系に必要な取水口及び取水路の通水性に影響を及ぼさないと考えられる。

※1 小型船舶の寸法は、発電所沿岸で操業する漁船（最大約10t程度）の大きさを考慮し、約10tの作業船寸法とした。

〈作業船の取水路通水性に与える影響に関わる諸元〉

○取水口呑口断面寸法(図1-1)

・高さ：3.0m

・幅：17m

○非常用海水冷却系必要通水量

・通常時（循環水系）の5%未満^{※2}

※2 循環水系の定格流量約3370m³/分に対して非常用海水冷却系の定格流量は150m³/分(ポンプ全台運転)

○作業船寸法(総トン数約10tの作業船代表例)

- ・長さ：約10m
- ・幅：約4m
- ・喫水：約1.5m

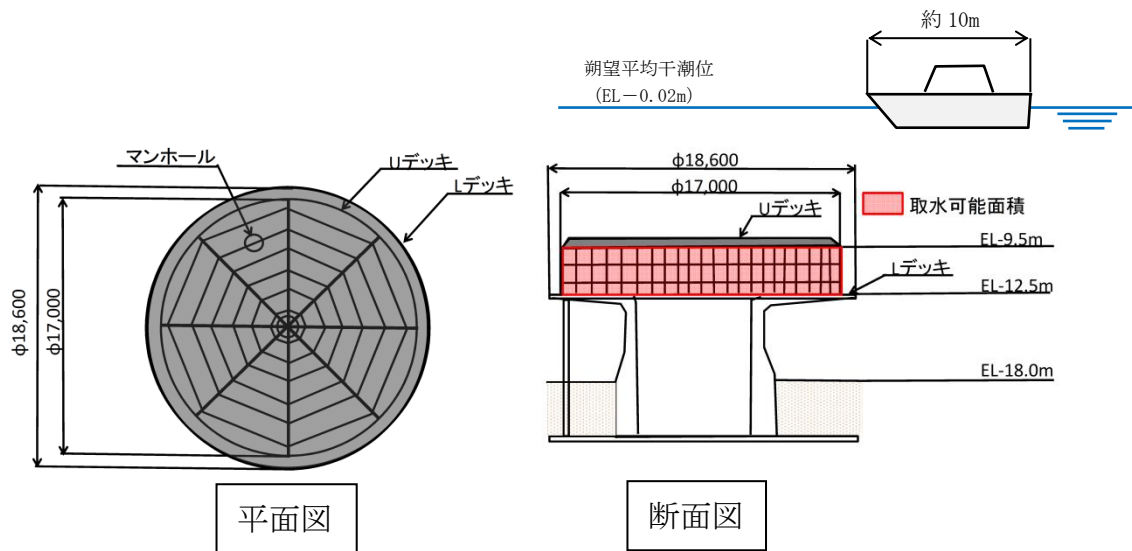


図1-1 取水口呑口概要図

以上より、小型船舶が防波堤に衝突し沈没した場合において、非常用海水冷却系に必要な2号炉の取水口及び取水路の通水性に影響を及ぼすことはないものと評価する。

耐津波設計における余震荷重と津波荷重の組合せについて

1. 規制基準における要求事項等

- ・サイトの地学的背景を踏まえ、余震の発生の可能性を検討すること。
- ・余震発生の可能性に応じて余震による荷重と入力津波による荷重との組合せを考慮すること。

2. 検討方針

余震による荷重については、本震発生後の余震及び誘発地震を検討し、耐津波設計において津波荷重と組合せる適切な余震荷重を設定する。なお、本検討においては、本震の震源域において発生する地震を余震とし、本震の震源域の外で発生する地震を誘発地震として整理し、図1の流れで検討を実施した。

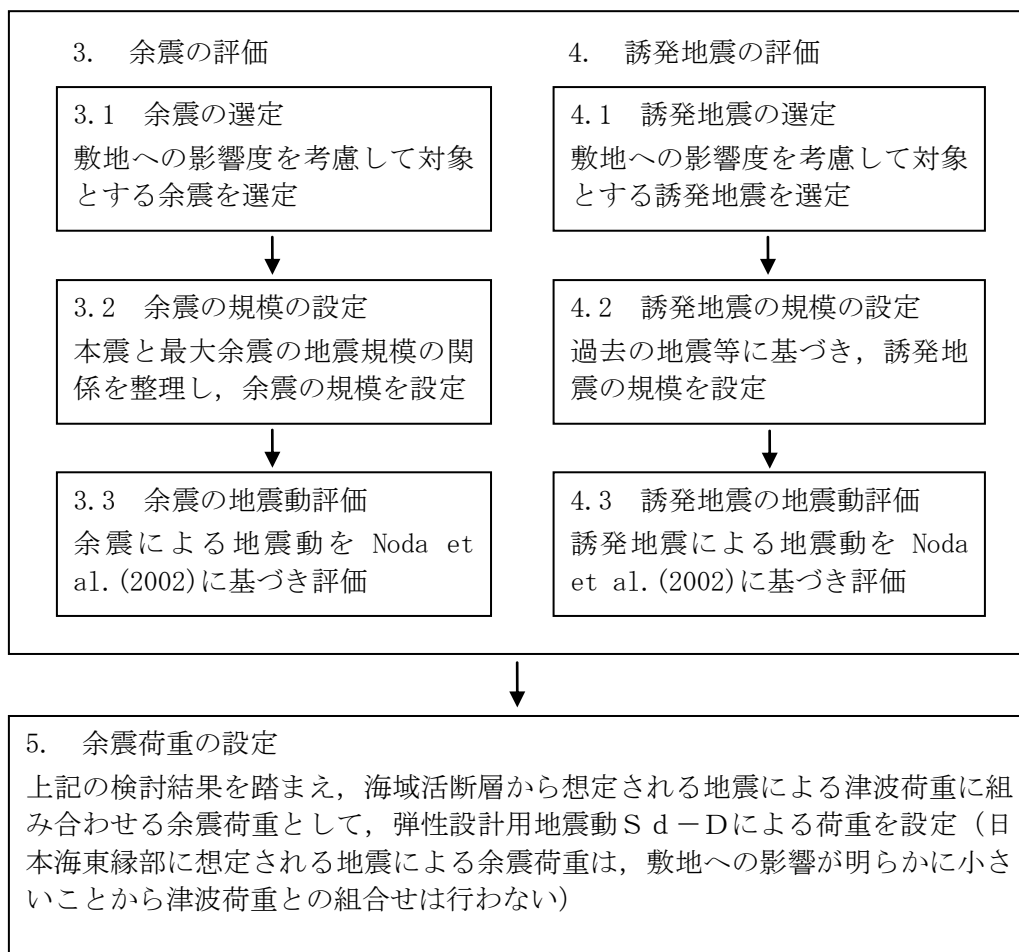


図1 余震荷重の検討フロー

3. 余震の評価

3.1 余震の選定

基準津波の波源の活動に伴い発生する可能性がある余震による地震動を評価するにあたり、敷地への影響度を考慮して対象とする余震を選定する。島根原子力発電所における基準津波は、図2に示す「日本海東縁部に想定される地震による基準津波1, 2, 3, 5及び6」及び「海域活断層から想定される地震による基準津波4」である。このうち、「日本海東縁部に想定される地震による基準津波1, 2, 3, 5及び6」の波源位置は、敷地から600km以上の距離にあり、その波源の活動に伴う余震については、敷地への影響が明らかに小さい。一方、「海域活断層から想定される地震による基準津波4」の波源位置は、敷地からの断層最短距離が約8kmと比較的近く、その波源の活動に伴う余震については、敷地への影響が考えられる。

以上のことから、「海域活断層から想定される地震による基準津波4」の波源の活動に伴う余震を選定する。

3.2 余震の規模の設定

余震の規模は、過去の地震データにおける本震規模と最大余震の規模の関係を整理することにより想定する。検討対象とした地震は、津波荷重と組み合わせる余震荷重を評価するという観点から、地震調査研究推進本部の地震データによる本震のマグニチュードが7.0以上とし、かつ、余震を考慮する基準津波4の波源の活動に伴い発生する津波の最大水位変化を生起する時間帯は、最大でも地震発生から約10分以内であることを考慮し、本震と最大余震との時間間隔が1時間程度以内の地震とした。対象とした地震の諸元及び震央分布を表1及び図3に示す。地震調査研究推進本部の地震データについて、本震のマグニチュード M_0 と最大余震のマグニチュード M_1 の関係から本震と余震のマグニチュードの差 D_1 は、図4のとおり、 $D_1 = M_0 - M_1 = 1.2$ として評価できる。余震の規模を想定する際は、データ数が少ないことから、保守的に標準偏差を考慮し $D_1 = 0.9$ として余震の規模を想定する。

3.3 余震の地震動評価

基準津波4の波源の活動に伴い発生する可能性がある余震による地震動を評価するにあたり、表2及び図5に示す波源の諸元及び震源モデルを設定し、上記の関係式に基づき余震の規模を設定した上で、Noda et al. (2002)により応答スペクトルを評価した。その評価結果と弾性設計用地震動 $S_d - D$ の応答スペクトルを比較して図6に示す。同図より、基準津波4の波源の活動に伴う余震の地震動評価結果は、弾性設計用地震動 $S_d - D$ を下回っている。

4. 誘発地震の評価

4.1 誘発地震の選定

基準津波の波源の活動に伴い発生する可能性がある誘発地震による地震動を評価するにあたり、敷地への影響度を考慮して対象とする誘発地震を選定する。

過去に発生した誘発地震について、2011年東北地方太平洋沖地震（M9.0）を対象に、余震活動の領域内の地震を除いた本震発生後24時間以内に発生したM6.5以上の内陸地殻内地震を確認すると、本震発生から約13時間後に長野県北部の地震（M6.7）が誘発地震として発生しており、それぞれの地震の震央位置は、図7に示すとおり約400km離れた位置関係になっている。

図8に示す国土地理院による2011年東北地方太平洋沖地震（M9.0）の発生後（2011年2月下旬～3月下旬）の地殻変動によると、誘発地震の長野県北部の地震（M6.7）の震央位置周辺に比べて、敷地周辺ではほとんど地殻変動は見られない。また、遠田（2011）において、2011年東北地方太平洋沖地震（M9.0）の発生後の応力変化を検討し、近畿地方の変化量は概ね0.1bar以下と小さく、地震活動に目立った変化は見られないことから、「近畿の活断層への影響はごくわずか」としており、近畿地方よりもさらに西方の敷地周辺の活断層への影響もごくわずかと考えられる。なお、日本海東縁部の地震の本震のマグニチュードが7.0以上の3地震（1964年新潟地震：本震M7.5 最大余震6.1, 1983年日本海中部地震：本震M7.7 最大余震6.1, 1993年北海道南西沖地震：本震M7.8 最大余震6.0）については、余震を含めたとしてもM6.5未満の地震しか発生していない。

基準津波のうち、「日本海東縁部に想定される地震による基準津波1, 2, 3, 5及び6」の波源は2011年東北地方太平洋沖地震（M9.0）より規模が小さく、その位置は図7に示すとおり敷地から600km以上の距離にあり、2011年東北地方太平洋沖地震とその誘発地震の位置関係よりも更に離れていることから、上記の地殻変動や応力変化を考慮すると、その波源の活動に伴う誘発地震が敷地周辺で発生することは考えられない。

一方、「海域活断層から想定される地震による基準津波4」の波源位置は、図7に示すとおり、敷地からの断層最短距離が約8kmと比較的近いことから、その波源の活動に伴う誘発地震が敷地周辺で発生することは考えられる。

以上のことから、「海域活断層から想定される地震による基準津波4」の波源の活動に伴う誘発地震を選定する。

4.2 誘発地震の規模の設定

2011年東北地方太平洋沖地震(M9.0)では誘発地震の長野県北部の地震(M6.7)が発生したのは本震発生から約13時間後である。誘発地震を考慮する基準津波4の継続時間のうち最大水位変化を生起する時間帯(最大でも地震発生から約10分以内)においてM6.8以上の誘発地震が発生することは考えにくい。保守的に基準地震動の評価において検討用地震に選定されなかった孤立した短い活断層による地震を対象とし、誘発地震の規模をM6.8に設定する。

4.3 誘発地震の地震動評価

基準津波4の波源の活動に伴う誘発地震について、表3及び図9に示す孤立した短い活断層による地震を対象にM6.8の震源モデルを設定し、Noda et al. (2002)により応答スペクトルを評価した。その評価結果と弾性設計用地震動S_d-Dの応答スペクトルを比較して図10に示す。同図より、基準津波4の波源の活動に伴う誘発地震の地震動評価結果は、弾性設計用地震動S_d-Dを下回っている。

5. 余震荷重の設定

以上の検討結果から、基準津波1, 2, 3, 5及び6の波源である「日本海東縁部に想定される地震」については、その余震及び誘発地震の敷地への影響が明らかに小さいことから、津波荷重に組み合わせる余震荷重を設定しない。また、基準津波4の波源である「海域活断層から想定される地震」については、その余震及び誘発地震の地震動評価結果を、全ての周期帯において弾性設計用地震動S_d-Dが十分に上回ることから、保守的にS_d-Dによる荷重を海域活断層から想定される地震による津波荷重に組み合わせる余震荷重として設定する。

【参考文献】

- Noda, S. • K. Yashiro • K. Takahashi • M. Takemura • S. Ohno • M. Tohdo • T. Watanabe (2002) : RESPONSE SPECTRA FOR DESIGN PURPOSE OF STIFF STRUCTURES ON ROCK SITES, OECD-NEA Workshop on the Relations Between Seismological DATA and Seismic Engineering, Oct.16-18 Istanbul, pp.399-408
- 地震調査研究推進本部 (2016) : 大地震後の地震活動の見通しに関する情報のあり方, 平成 28 年 8 月 19 日
- 国土地理院 (2011) : 平成 23 年 3 月の地殻変動について
- 遠田晋次 (2011) : 東北地方太平洋沖地震にともなう静的応力変化, <http://www1.rcep.dpri.kyoto-u.ac.jp/events/110311tohoku/toda/index.html>
- 活断層研究会編 (1991) : [新編] 日本の活断層分布図と資料, 東京大学出版会

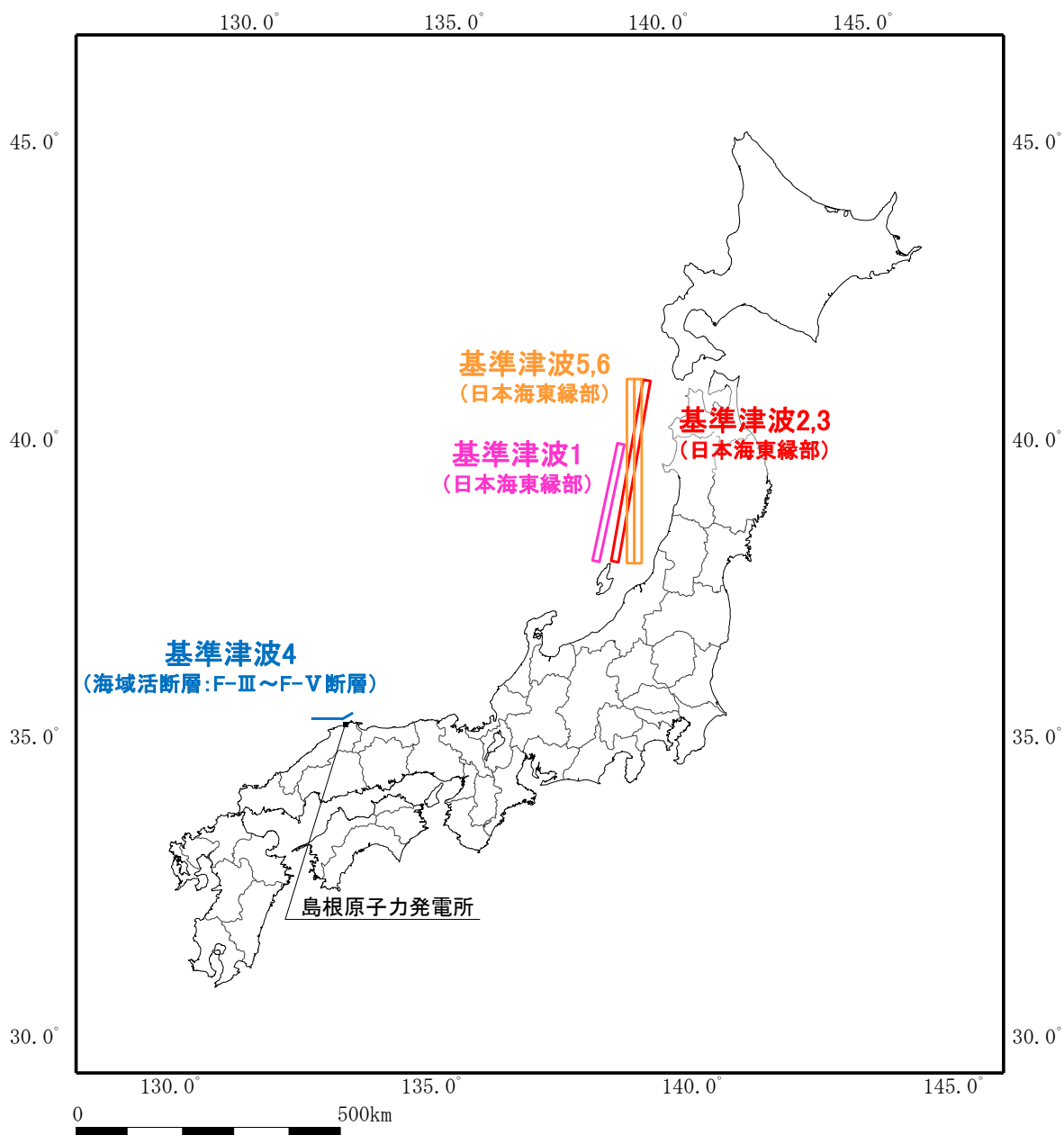


図2 島根原子力発電所と基準津波の波源

表1 過去の地震における本震と最大余震の関係 (M7.0 以上)

No.	発生年月日	震源	最大余震		
			本震 マグニチュード M0	マグニチュード M1	本震との 時間間隔
1	2003/9/26	十勝沖	8.0	7.1	1:18
2	2004/11/29	釧路沖	7.1	6.0	0:04
3	2006/11/15	千島列島東方	7.9	6.7 ^{※1}	1:12
4	2008/6/14	岩手宮城内陸地震	7.2	5.7	0:37
5	2008/9/11	十勝沖	7.1	5.7	0:12
6	2011/3/11	東北地方太平洋沖地震	9.0	7.6 ^{※1}	0:29
7	2012/12/7	三陸沖	7.3	6.6	0:13
8	2016/4/16	熊本地震	7.3	5.9	0:21

※1：気象庁による最新の震源情報を参照

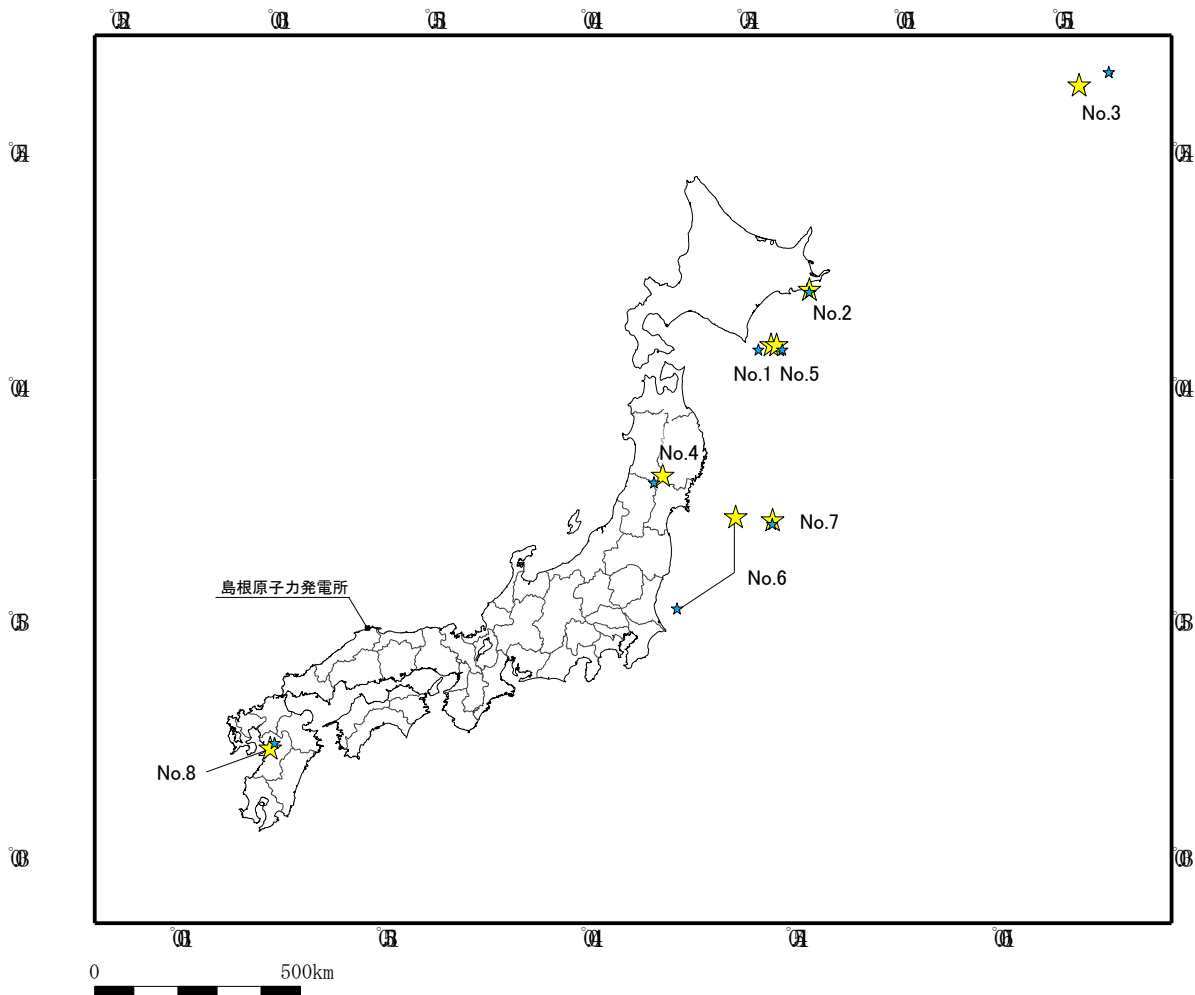


図3 余震の地震規模の評価に用いた地震の震央分布 [本震 (☆), 余震 (★)]

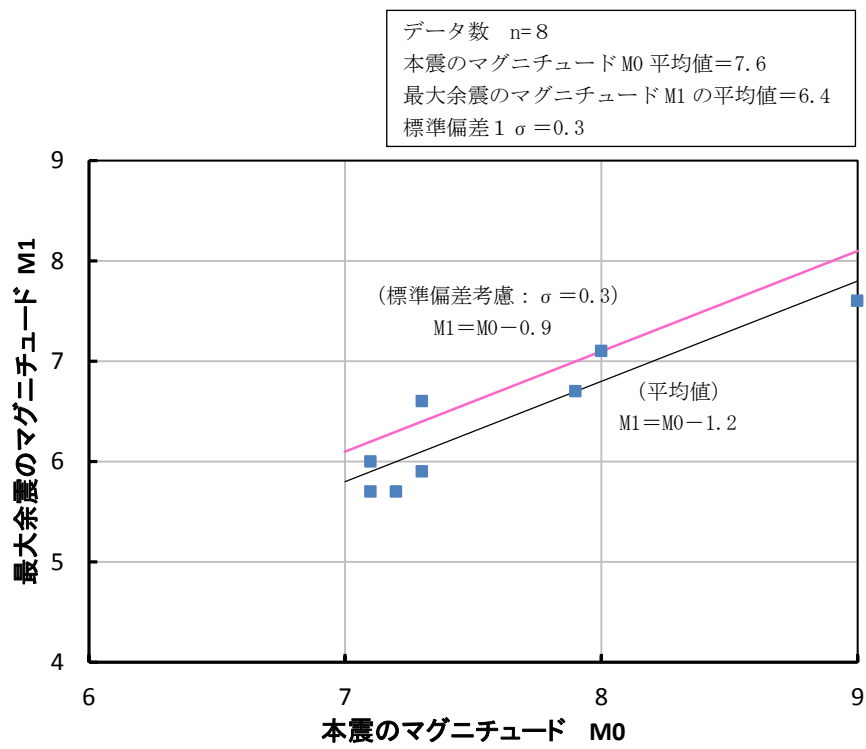


図4 本震と最大余震の地震規模の関係 (M7.0 以上)

表2 設定した余震の震源諸元

項目	設定値
本震のマグニチュード	7.6
余震のマグニチュード ^{※1}	6.7
等価震源距離 ^{※2} (km)	17.3

※1：本震と余震のマグニチュードの差D1を0.9として、余震のマグニチュードを評価
 ※2：図5に示す震源モデルに対し、Noda et al. (2002)に基づき等価震源距離を評価

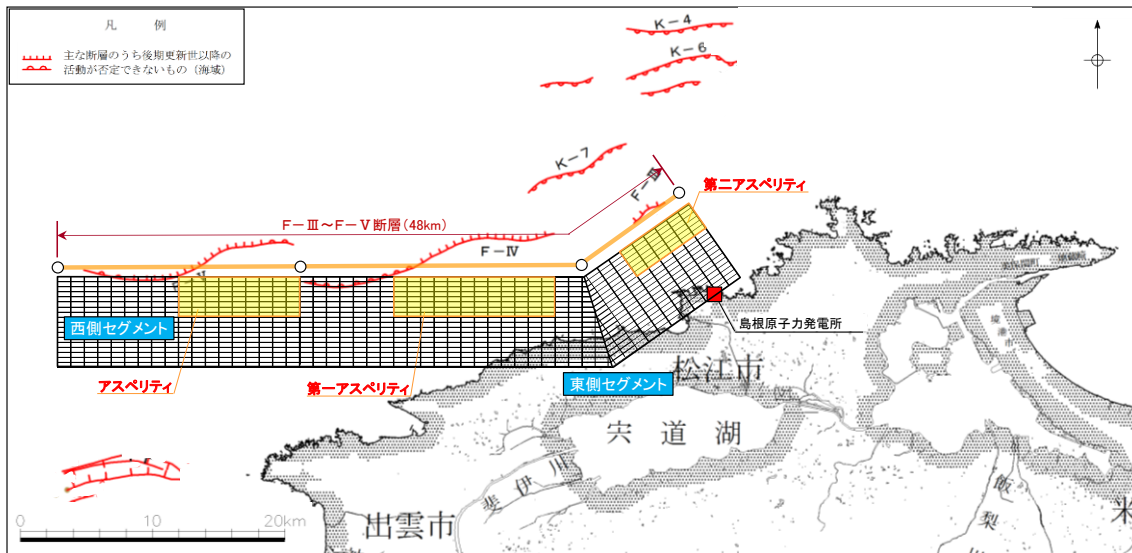


図5 基準津波4の波源に対する震源モデル

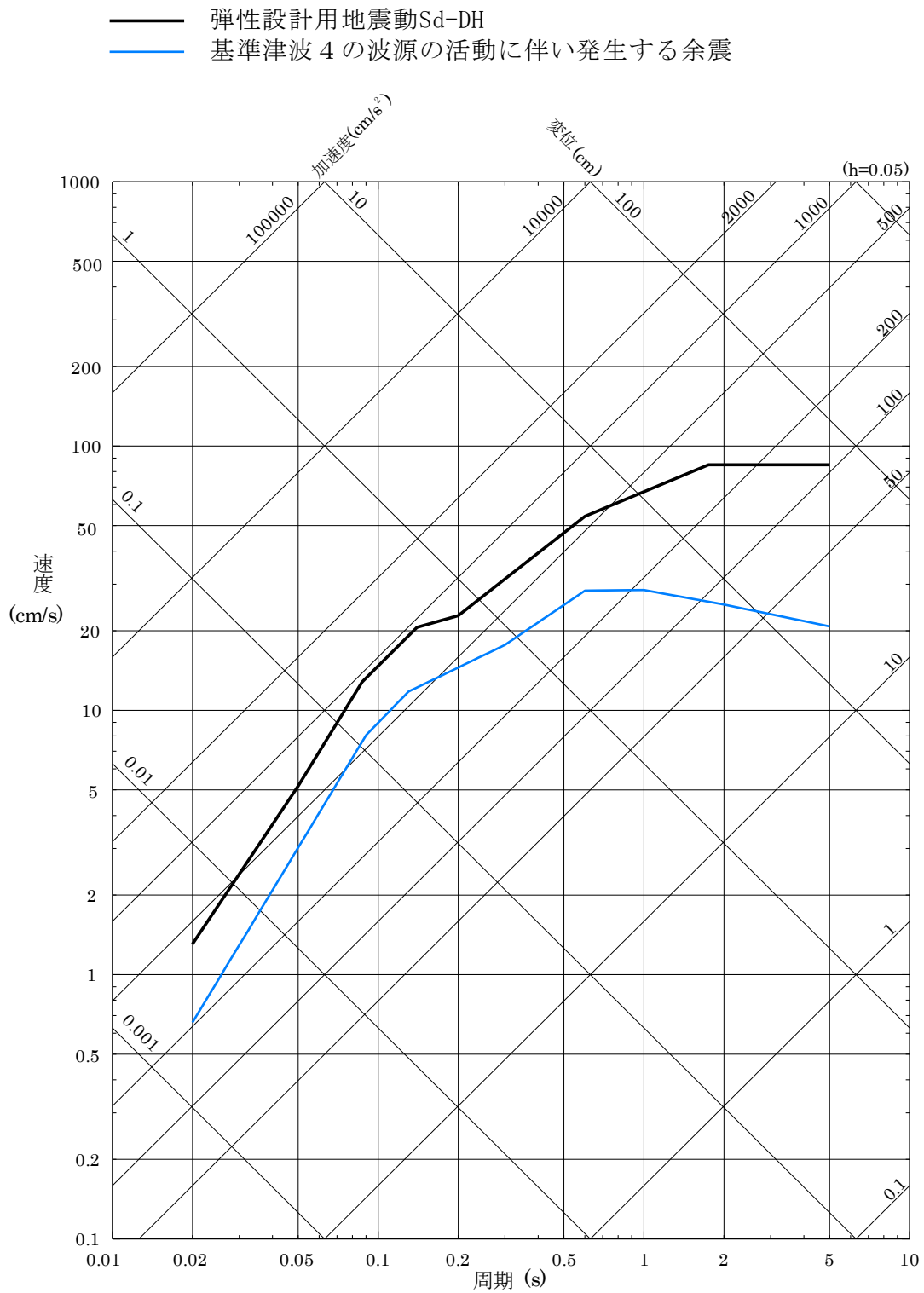


図6 (1) 基準津波4の波源の活動に伴い発生する余震と弾性設計用地震動Sd-Dの比較 (水平方向)

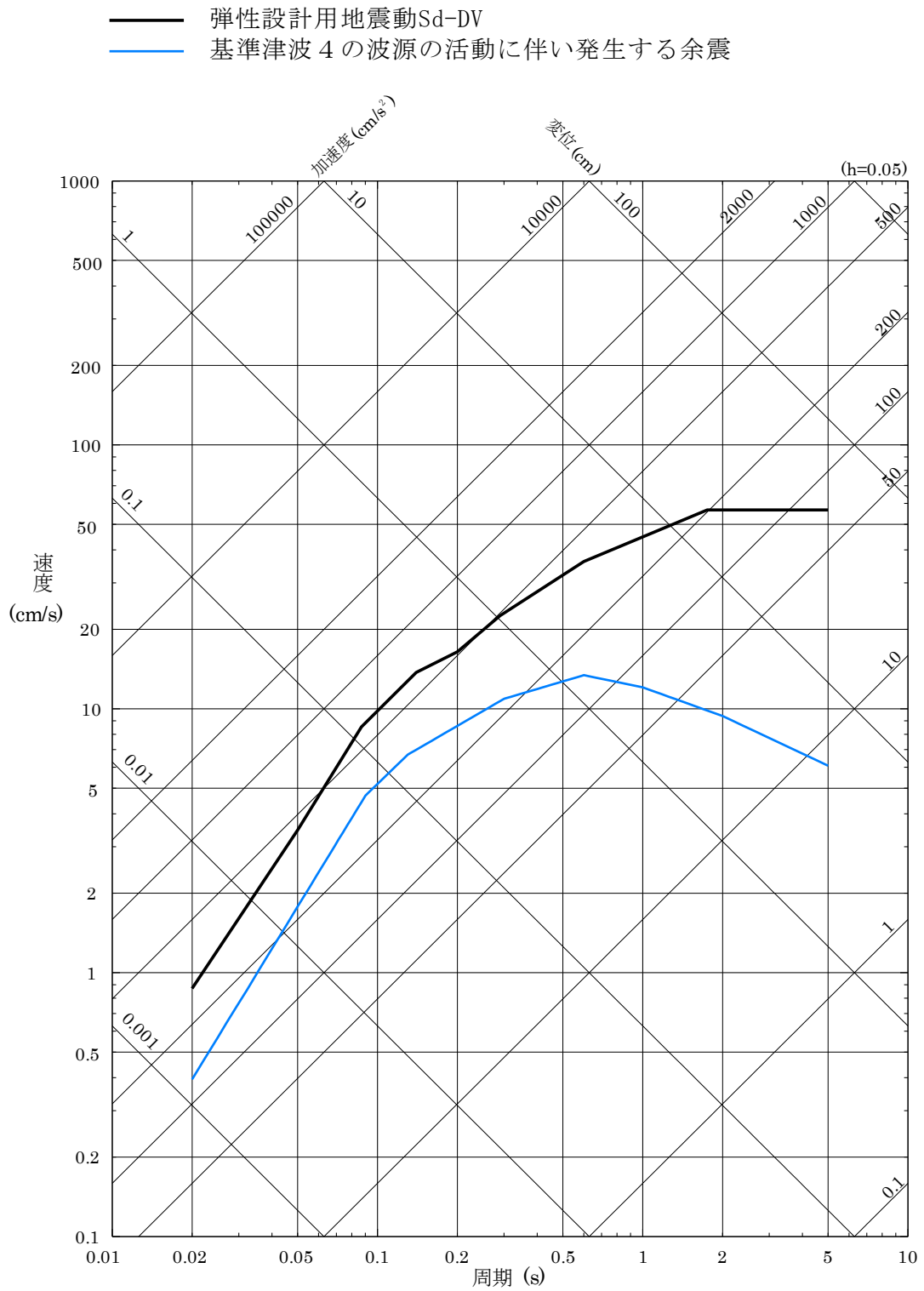


図6 (2) 基準津波4の波源の活動に伴い発生する余震と弾性設計用地震動Sd-DVの比較 (鉛直方向)

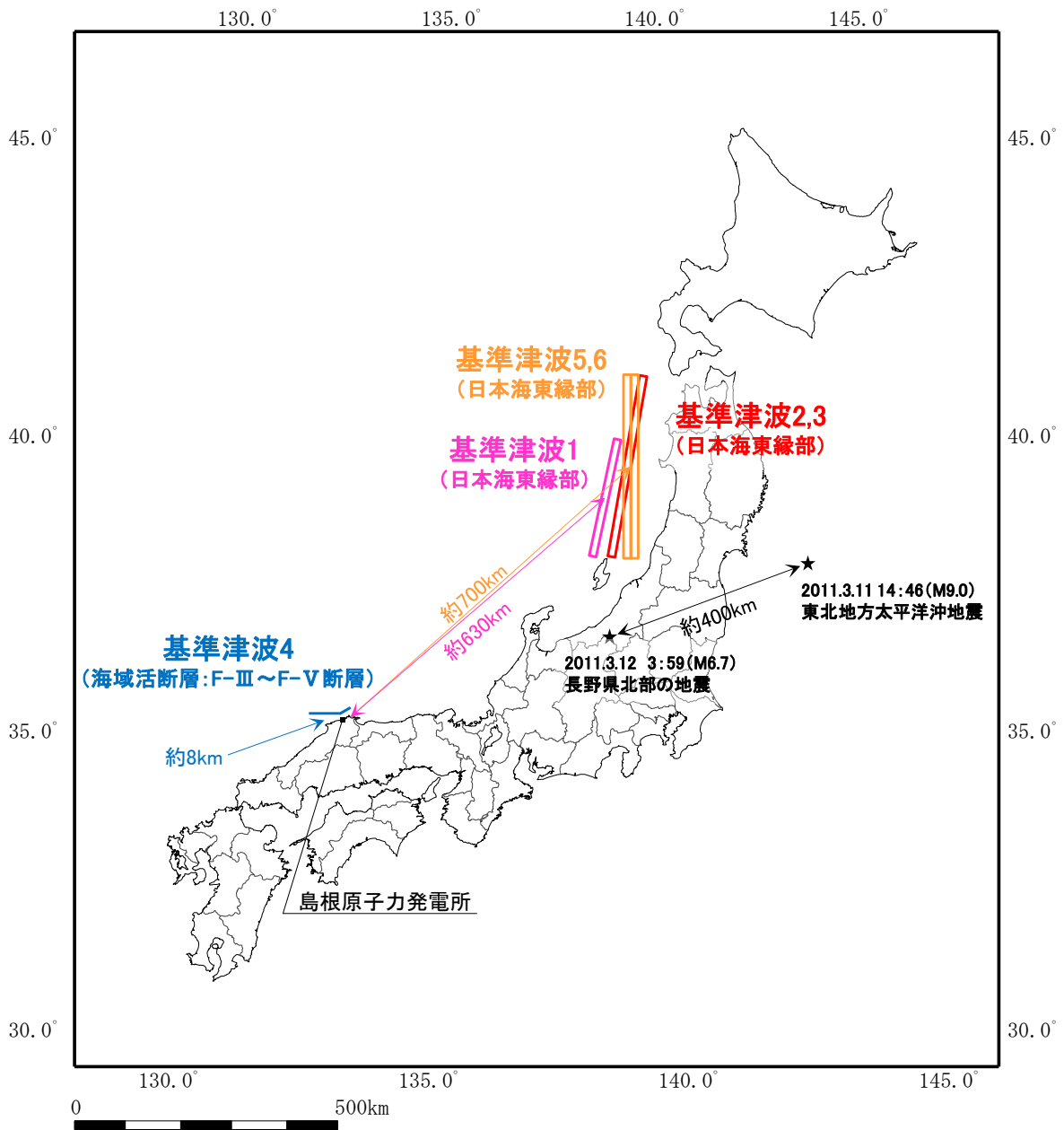
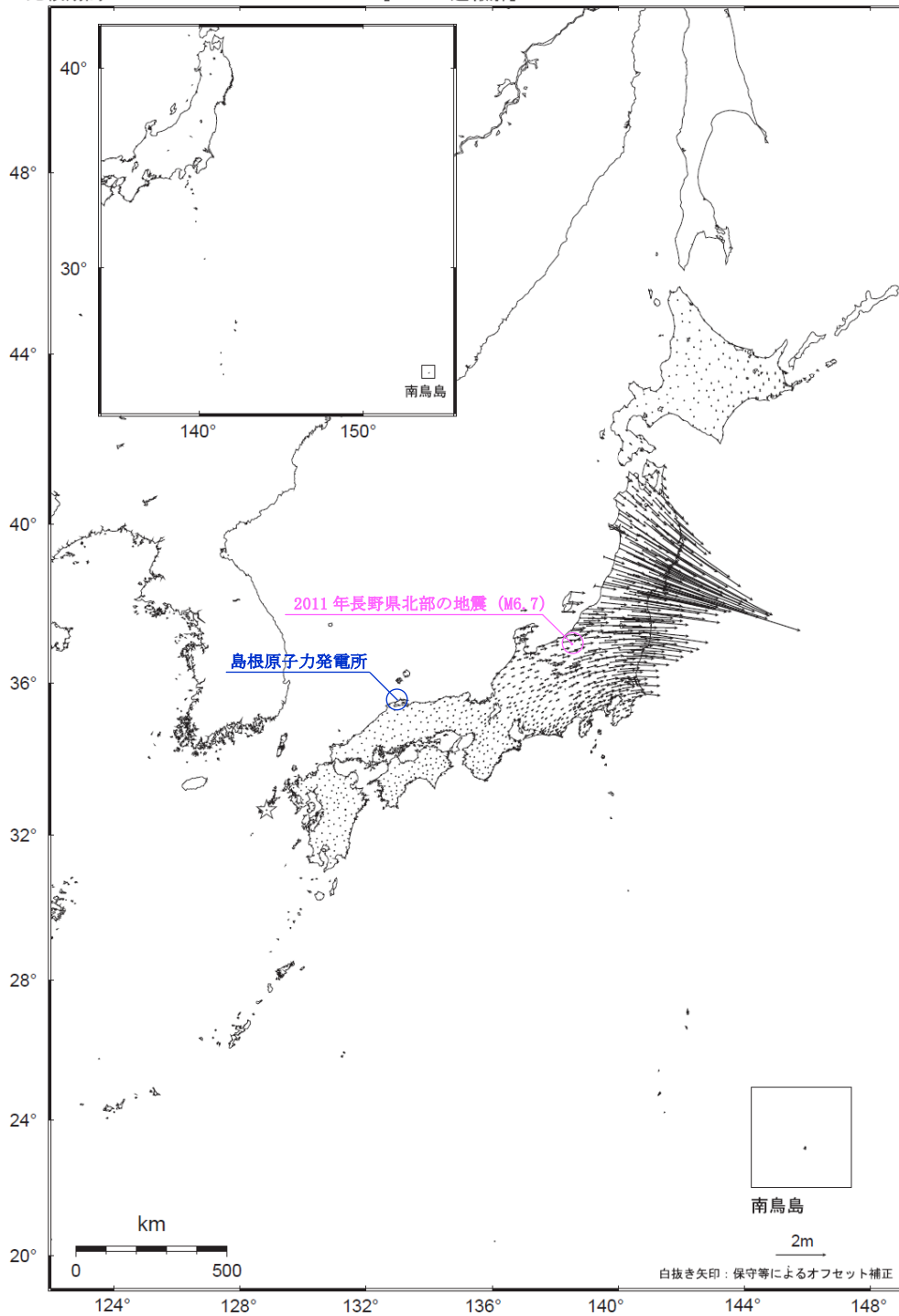


図7 2011年東北地方太平洋沖地震と2011年長野県北部の地震の震源位置及び島根原子力発電所と基準津波の波源の位置関係

全国の地殻変動（水平）－1ヶ月－

基準期間：2011.02.22～2011.02.28 [F3：最終解]

比較期間：2011.03.25～2011.03.31 [R3：速報解]



☆ 固定局：福江 (950462)

・3月11日に発生した東北地方太平洋沖地震に伴う地殻変動が見られます。

※東北地方太平洋沖地震に伴い、つくば1 (92110) が変動したため、2011/3/11以降のQ3、R3解析においては固定点を与論 (950495) へ変更している。

[国土地理院 (2011) に一部加筆]

図8 2011年2月下旬から2011年3月下旬の1ヶ月間の地殻変動

表3 設定した誘発地震の震源諸元

No.	断層名	マグニチュード M	等価震源距離 Xeq (km)
1	た と 田の戸断層	6.8	16.0
2	おおふなやまひがし 大船山東断層	6.8	16.1
3	ぶつきょうざんきた 仏経山北断層	6.8	26.2
4	ひがしまち しんたばた 東来待-新田畑断層	6.8	20.2
5	やない 柳井断層	6.8	18.3
6	みとやきた 三刀屋北断層	6.8	32.1
7	はんば いしはら 半場-石原断層	6.8	25.7
8	ふべ 布部断層	6.8	32.1
9	ひがしいんべ 東忌部断層	6.8	17.3
10	さんのうじ 山王寺断層	6.8	22.2
11	おおい 大井断層	6.8	16.0

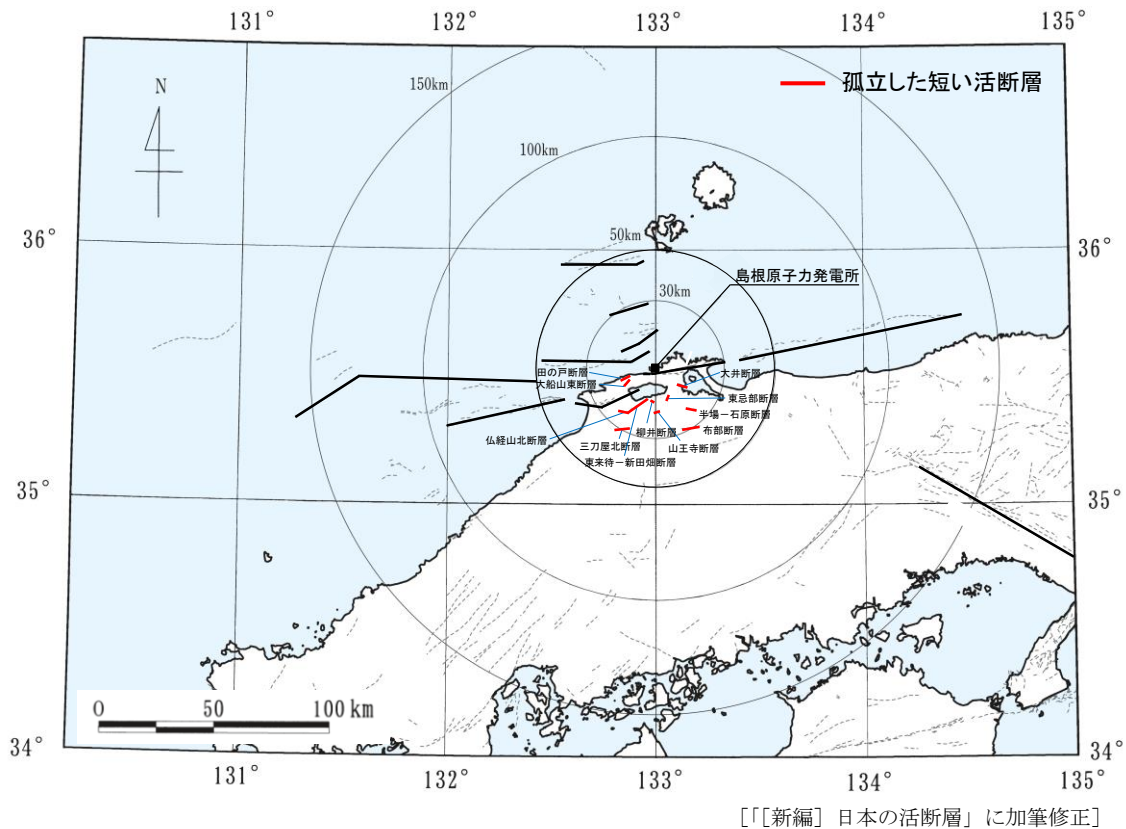


図9 誘発地震として考慮する孤立した短い活断層の分布

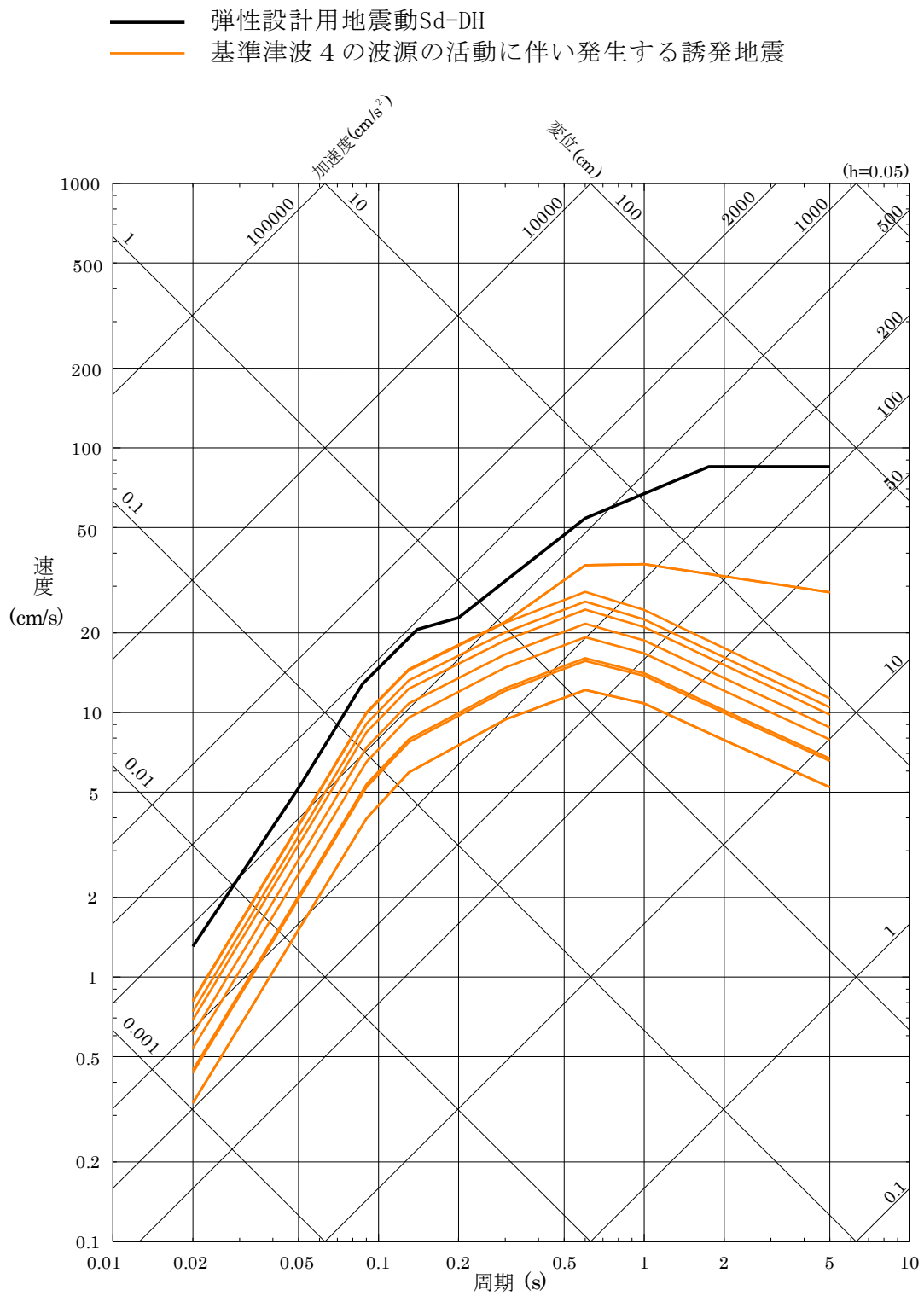


図 10 (1) 基準津波 4 の波源の活動に伴い発生する誘発地震と弾性設計用地震動 S d - D の比較 (水平方向)

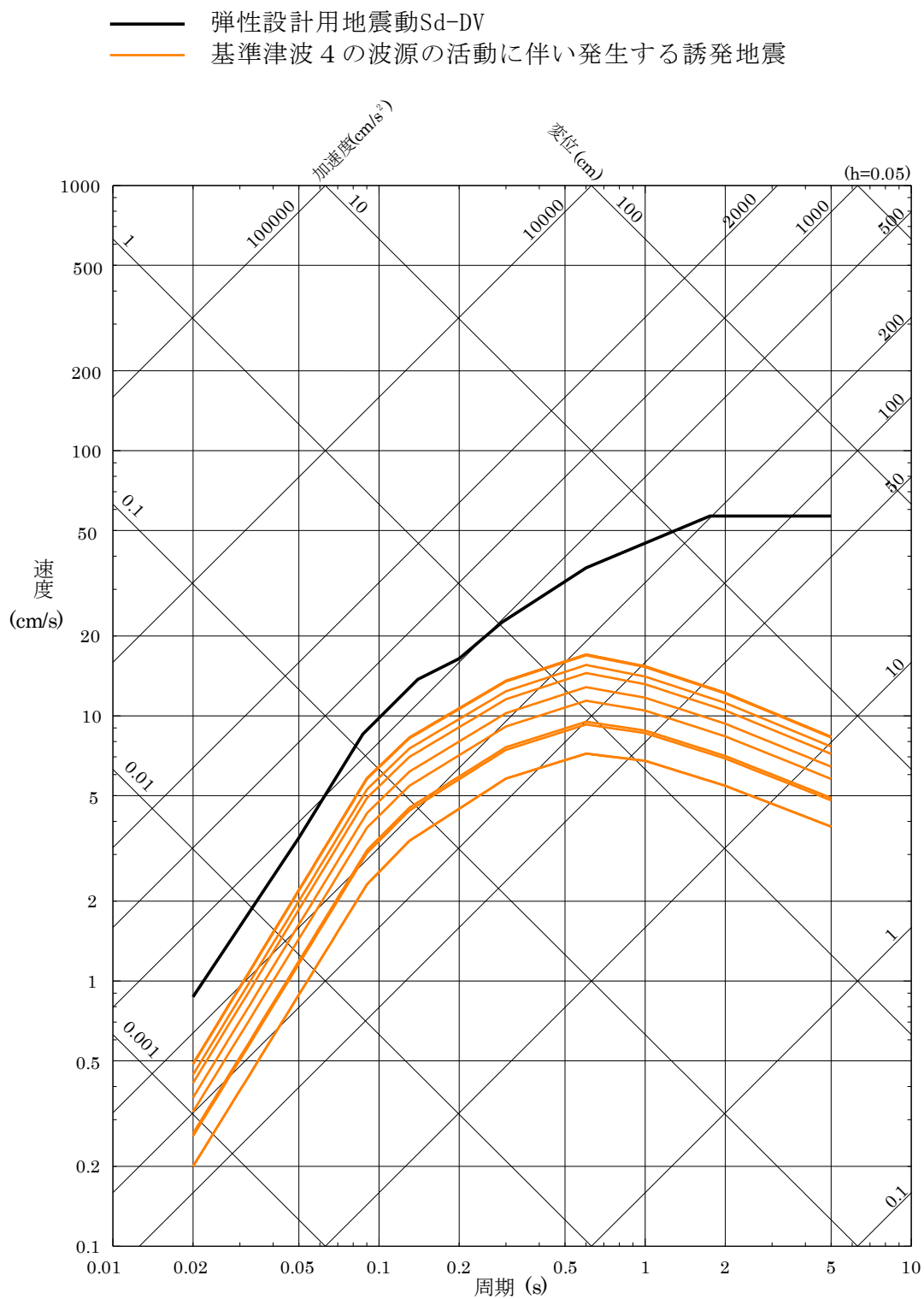


図 10 (2) 基準津波4の波源の活動に伴い発生する誘発地震と弾性設計用地震動 S d - D の比較 (鉛直方向)

発生頻度を踏まえた主荷重同士の組合せの考え方について

主荷重である各事象の最大荷重継続時間と発生頻度について下表に示す。

表1 主荷重の最大荷重継続時間と発生頻度

荷重の種類		最大荷重 継続時間 (年)	発生頻度 (/年)
地震 (基準地震動)		$10^{-5} \times 1$	$5 \times 10^{-4} \times 4$
津波 (基準津波)		$2.3 \times 10^{-4} \times 2$	$10^{-4} \sim 10^{-5} \times 5$
竜巻		$10^{-5} \times 1$	$1.6 \times 10^{-7} \times 5$
・地滑り ・土石流	衝突荷重	$10^{-5} \times 1$	$10^{-2} \times 6$
	堆積荷重	$1 / 12 \times 3$	
火山の影響		$1 / 12 \times 3$	$10^{-4} \sim 10^{-5} \times 7$

- ※1 $10^{-5} = 5$ 分 / (365 日 × 24 時間 × 60 分) として算出
- ※2 $2.3 \times 10^{-4} = 120$ 分 / (365 日 × 24 時間 × 60 分) として算出
(別紙1参照)
- ※3 地滑り・土石流の影響範囲は限定的であることから、作業時安全の確保を考慮しても、1ヶ月で土砂撤去が可能であるため、 $1/12 = 1$ ヶ月 / 12 ヶ月として算出
- ※4 J E A G 4601 に記載されている基準地震動 S_2 の発生確率を読み替えて適用
- ※5 ハザード評価結果
- ※6 「砂防基本計画策定指針(土石流・流木対策編)解説」(平成28年4月)において、土石流の計画規模は、100年超過確率の降雨量で評価するものとされている。また、発電所周辺の100年超過確率の24時間雨量は271mmであり、発電所敷地に最も近い気象官署である松江地方気象台(松江市)では24時間最大降水量306.9mm(1964年7月18日9時~19日9時)が観測されている。それに対し、当該土石流危険渓流においては、土石流が発生した形跡がないことから、土石流の発生頻度を 10^{-2} /年と設定している。
- ※7 約15,000年前の三瓶山噴火及び約130,000年前の大山噴火を考慮

主荷重の発生頻度及び最大荷重継続時間を踏まえ、地滑り・土石流（堆積荷重）と地震の組合せを考慮する。一方、例えば、地滑り・土石流（堆積荷重）の最大荷重継続時間内に津波が発生する頻度は、以下のとおり 8.4×10^{-8} /年であり十分小さい^{※8}ことから、地滑り・土石流（堆積荷重）と津波との組合せは考慮しない。他の主荷重同士の組合せについても、表1のとおりの発生頻度が十分小さいことから考慮しない。

（例：地滑り・土石流の最大荷重継続時間内に津波が発生する頻度）

地滑り・土石流の発生頻度		地滑り・土石流の最大荷重継続時間		基準津波の発生頻度
10^{-2} /年	×	1 /12年	×	10^{-4} /年
= 8.4×10^{-8} /年				

また、津波と地震の組合せについて、基準津波の最大荷重継続時間内に基準地震動以外の地震が発生する頻度は、基準津波の発生頻度及び最大荷重継続時間を踏まえると、仮に主荷重（基準地震動）以外の地震として、頻度が高く年に1回程度発生する地震動レベルの小さい地震を想定したとしても、基準津波の最大荷重継続時間内に基準地震動以外の地震が発生する頻度は、以下のとおり 2.3×10^{-8} /年であり十分小さい^{※8}ことから、基準津波と基準地震動以外の地震との組合せは考慮しない。

（基準津波の最大荷重継続時間内に基準地震動以外の地震が発生する頻度）

基準津波の発生頻度		基準津波の最大荷重継続時間		基準地震動以外の地震の発生頻度（想定）
10^{-4} /年	×	2.3×10^{-4} 年	×	1 /年
= 2.3×10^{-8} /年				

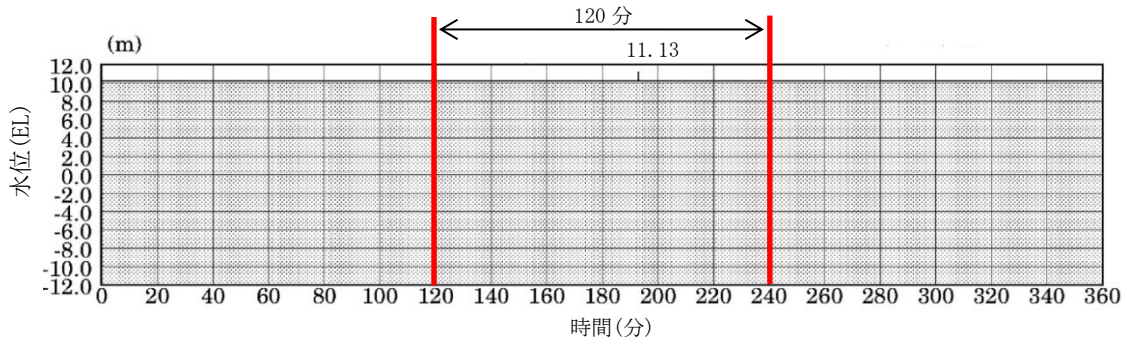
※8：J E A G 4601 において組み合わせるべき荷重としては、事象の発生確率、継続時間、地震動の発生確率を踏まえ、その確率が 10^{-7} /年以下となるものは組合せが不要と記載されている。

また、仮に地滑り・土石流による土砂を撤去することができず、荷重の継続時間が1ヶ月を超え、他事象との組合せを考慮した場合であっても、評価対象となる安全施設は安全評価上その機能に期待しないクラス3の設備のみであり、組合せにより安全機能への影響は変わらない。

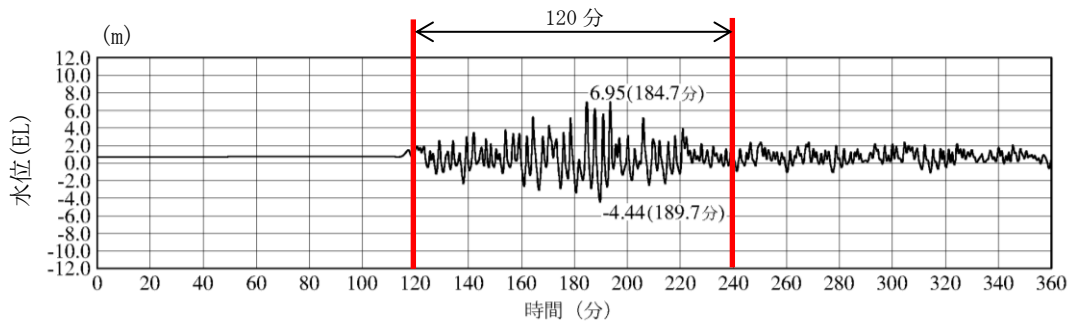
基準津波の最大荷重継続時間について

第 5 条（津波による損傷の防止）において確認している、各施設に対する入力津波の時刻歴波形を図 1 に示す。なお、「海域活断層から想定される地震による基準津波 4」は、「日本海東縁部に想定される地震による基準津波 1, 2, 3, 5 及び 6」と比べ、その津波の継続時間が短いことから、「日本海東縁部に想定される地震による基準津波 1, 2, 3, 5 及び 6」の時刻歴波形のうち、各施設に対して最も水位が高くなる入力津波の時刻歴波形を示している。

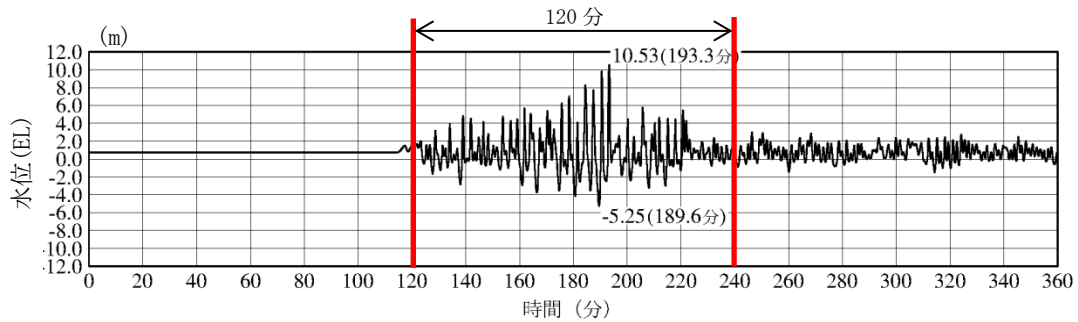
図 1 のとおり、入力津波が最大水位となるのは短時間であることから、津波による最大荷重継続時間も短時間となる。ただし、最大ではないものの比較的高い水位が発生していることから、高い水位が発生する範囲を余裕を持って包含する期間として、津波の最大荷重継続期間を 120 分と設定している。



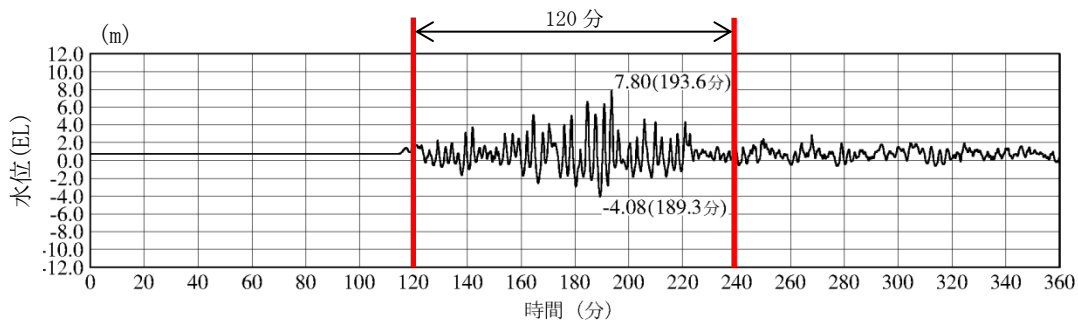
※最大水位上昇量 11.13m+朔望平均満潮位 0.58m+潮位のばらつき 0.14m≒EL+11.9m
 施設護岸又は防波壁 (入力津波 1, 防波堤無し)



1号炉取水槽 (入力津波 1, 防波堤無し)

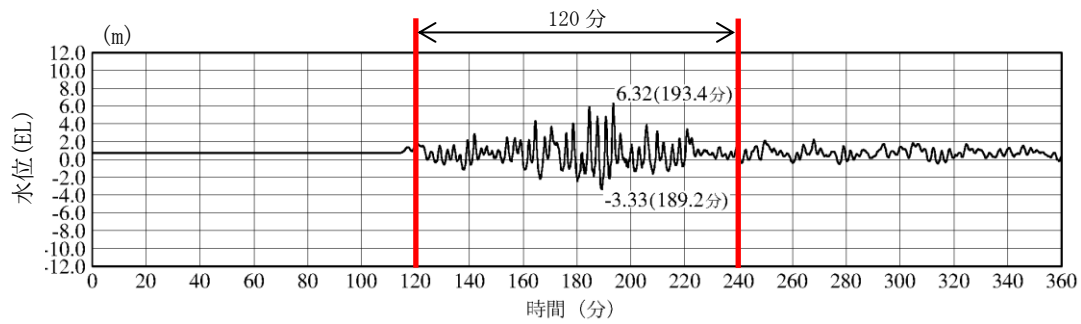


2号炉取水槽 (入力津波 1, 防波堤無し)

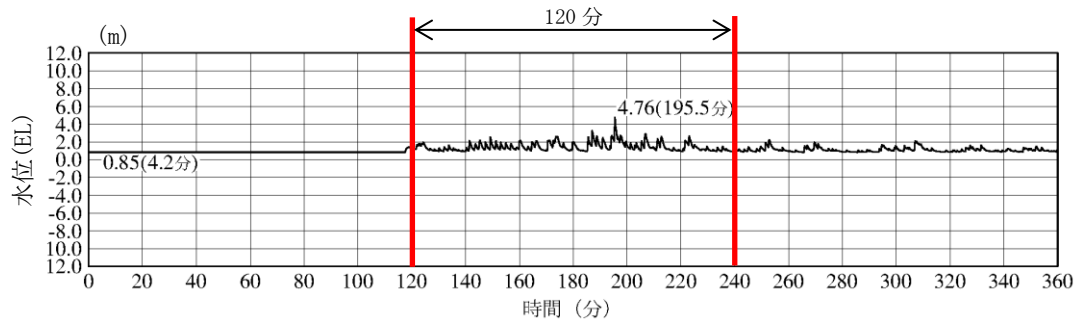


3号炉取水槽 (入力津波 1, 防波堤無し)

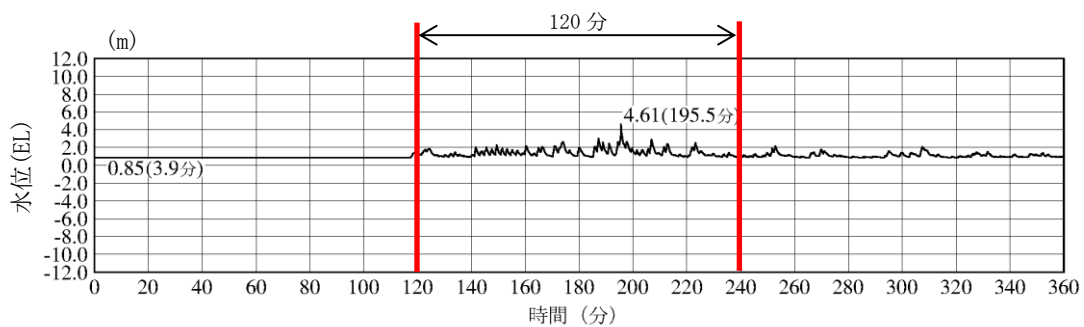
図1 入力津波の時刻歴波形 (日本海東縁部) (1 / 4)



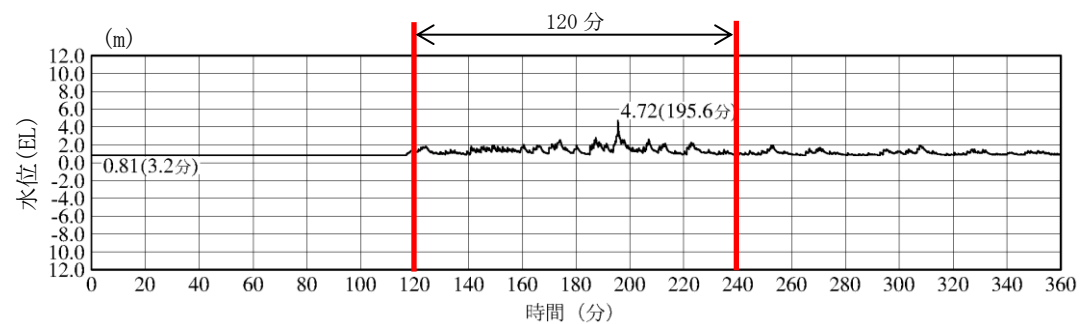
3号炉取水路点検口 (入力津波 1, 防波堤無し)



1号炉放水槽 (入力津波 1, 防波堤有り)

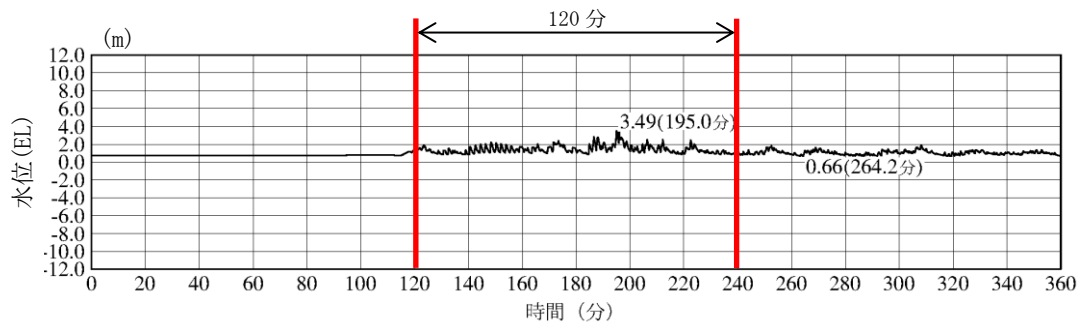


1号炉冷却水排水槽 (入力津波 1, 防波堤有り)

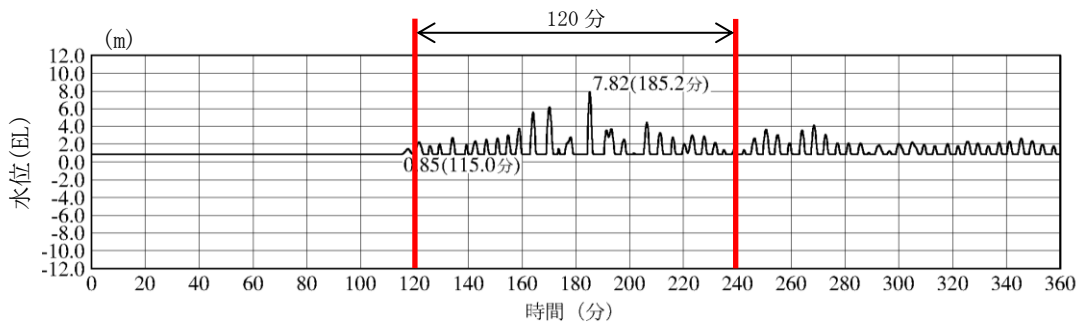


1号炉マンホール (入力津波 1, 防波堤有り)

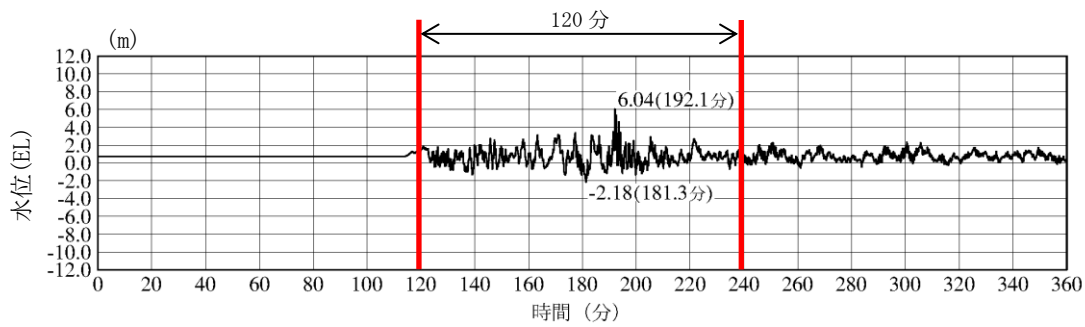
図1 入力津波の時刻歴波形 (日本海東縁部) (2 / 4)



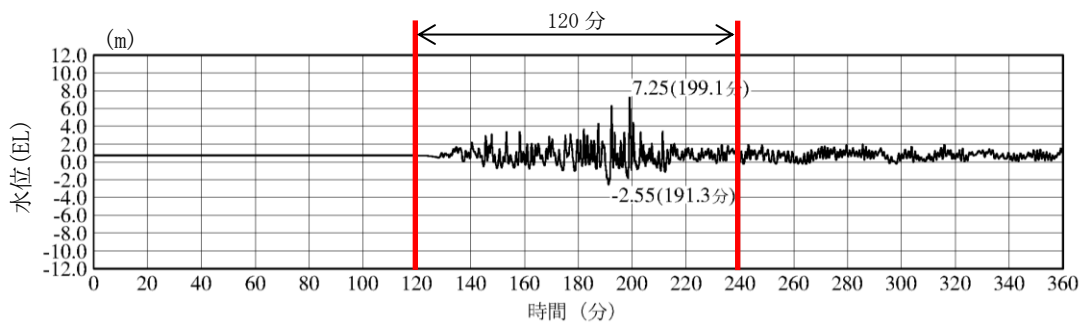
1号炉放水接合槽（入力津波1，防波堤有り）



2号炉放水槽（入力津波1，防波堤有り）

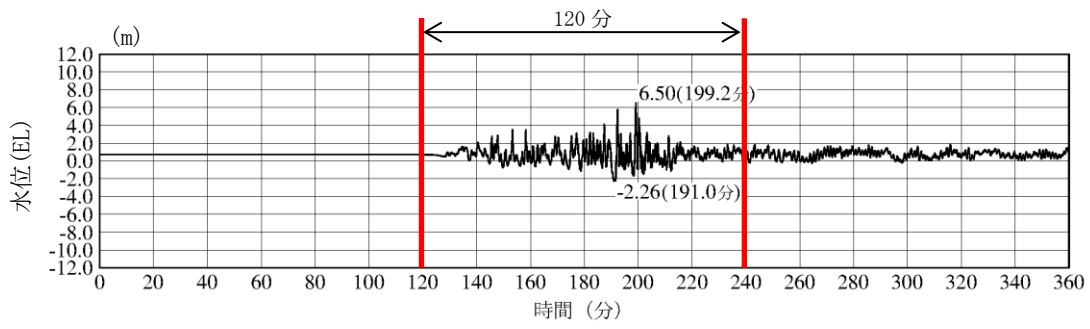


2号炉放水接合槽（入力津波1，防波堤無し）



3号炉放水槽（入力津波5，防波堤無し）

図1 入力津波の時刻歴波形（日本海東縁部）（3 / 4）



3号炉放水接合槽（入力津波5，防波堤無し）

図1 入力津波の時刻歴波形（日本海東縁部）（4 / 4）